

การออกแบบและการพัฒนาหัววัดรังสีเอกซ์ที่รีโมต์ตราไวโอเล็ตที่ใช้กระจกซิลิคอนโมลิบดีนัม

นางสาวกัลยา ธนาสินธ์

วิทยานิพนธ์นี้เป็นส่วนหนึ่งของการศึกษาตามหลักสูตรปริญญาวิทยาศาสตรมหาบัณฑิต

สาขาวิชามาตรวิทยา

คณะวิทยาศาสตร์ จุฬาลงกรณ์มหาวิทยาลัย

ปีการศึกษา 2554

ลิขสิทธิ์ของจุฬาลงกรณ์มหาวิทยาลัย

บทคัดย่อและแฟ้มข้อมูลฉบับเต็มของวิทยานิพนธ์ตั้งแต่ปีการศึกษา 2554 ที่ให้บริการในคลังปัญญาจุฬาฯ (CUIR)  
เป็นแฟ้มข้อมูลของนิสิตเจ้าของวิทยานิพนธ์ที่ส่งผ่านทางบัณฑิตวิทยาลัย

The abstract and full text of theses from the academic year 2011 in Chulalongkorn University Intellectual Repository(CUIR)  
are the thesis authors' files submitted through the Graduate School.

DESIGN AND DEVELOPMENT OF EUV DETECTOR  
USING SILICON MOLYBDENUM MIRROR

Miss Kanlaya Thanasin

A Thesis Submitted in Partial Fulfillment of the Requirements  
for the Degree of Master of Science Program in Metrological Science  
Faculty of Science  
Chulalongkorn University  
Academic Year 2011  
Copyright of Chulalongkorn University

หัวข้อวิทยานิพนธ์

การออกแบบและการพัฒนาหัววัดรังสีเอกซ์ทริม

อัลตราไวโอเล็ตที่ใช้กระจกซิลิคอนโมลิบดีนัม

โดย

นางสาวกัลยา ธนาสินธ์

ภาควิชา

มาตรวิทยา

อาจารย์ที่ปรึกษาวิทยานิพนธ์หลัก

ผู้ช่วยศาสตราจารย์ ดร.รัฐชาติ มงคลนาวิน

คณะวิทยาศาสตร์ จุฬาลงกรณ์มหาวิทยาลัย อนุมัติให้บัณฑิตวิทยาลัยนี้เป็นส่วนหนึ่ง  
ของการศึกษาตามหลักสูตรปริญญาวิทยาศาสตรบัณฑิต

..... คณบดีคณะวิทยาศาสตร์  
( ศาสตราจารย์ ดร. สุพจน์ หารหนองบัว )

คณะกรรมการสอบวิทยานิพนธ์

..... ประธานกรรมการ  
(ผู้ช่วยศาสตราจารย์ ดร. ต้นพงศ์ แก้วคงคา)

..... อาจารย์ที่ปรึกษาวิทยานิพนธ์หลัก  
(ผู้ช่วยศาสตราจารย์ ดร. รัฐชาติ มงคลนาวิน)

..... กรรมการ  
(ผู้ช่วยศาสตราจารย์ กิรณันต์ รัตนธรรมพันธ์)

..... กรรมการ (ภายนอกมหาวิทยาลัย)  
(รองศาสตราจารย์ ดร. อนันตสิน เตชะกำพุช)

กัลยา ธนาสินธ์: การออกแบบและการพัฒนาหัววัดรังสีเอกซ์ทริมอัลตราไวโอเล็ตที่ใช้กระจกซิลิคอนโมลิบดีนัม (DESIGN AND DEVELOPMENT OF EUV DETECTOR USING SILICON MOLYBDENUM MIRROR) อ.ที่ปรึกษาวิทยานิพนธ์หลัก: ผศ.ดร.รัฐชาติ มงคลนาวิน, 67 หน้า.

วิทยานิพนธ์อธิบายการพัฒนาอุปกรณ์เพื่อการตรวจวัดรังสีเอกซ์ทริมอัลตราไวโอเล็ต (Extreme Ultraviolet, EUV) การสร้างหัววัดรังสีเอกซ์ทริมอัลตราไวโอเล็ตมุ่งเน้นการตอบสนองที่รวดเร็ว ที่เจาะจงความยาวคลื่น 13.5นาโนเมตร ซึ่งหัววัดรังสีนี้พัฒนาโดยใช้หลักปรากฏการณ์โฟโตอิเล็กทริก (Photoelectric Effect) โลหะที่มีค่าฟังก์ชันงานที่เหมาะสมได้ถูกนำมาทดสอบเพื่อหาชนิดของโลหะที่มีการตอบสนองที่ดีที่สุด จากนั้นหัววัดรังสีได้ถูกนำไปสอบเทียบกับแสงเอกซ์ทริมอัลตราไวโอเล็ตที่ให้พลังงานในช่วงความยาวคลื่น 13.5นาโนเมตร ที่สถานีการทดลองเทคนิคทางด้านการตรวจสอบพื้นผิวของวัสดุ (Photoemission Spectroscopy, PES) ณ ศูนย์วิจัยแสงซินโครตรอนแห่งชาติ เพื่อหาประสิทธิภาพการวัดของหัววัดรังสีเอกซ์ทริมอัลตราไวโอเล็ตเพื่อเปรียบเทียบกับหัววัดรังสีชนิดโฟโตไดโอด SXUV HS5 Si/Zr ที่ได้มีการพัฒนามาแล้วและใช้อย่างแพร่หลาย โดยพบว่าหัววัดรังสีที่สร้างขึ้นจากโลหะเงินนั้นมีค่าฟังก์ชันงานที่ 4.73 อิเล็กตรอนโวลต์ มีประสิทธิภาพสูงสุด และเมื่อนำมาสร้างเป็นหัววัดรังสีแล้วสามารถวัดได้ครอบคลุมรังสีที่ช่วง 13.5 นาโนเมตร ได้ดีเทียบเท่ากับหัววัดรังสีชนิดโฟโตไดโอด SXUV HS5 Si/Zr เพื่อให้หัววัดรังสีมีประสิทธิภาพเพิ่มขึ้น สามารถนำหัววัดรังสีไปใช้ร่วมกับกระจกเคลือบฟิล์มบางซิลิคอนโมลิบดีนัม Si/Mo ได้ จากการทดสอบหาประสิทธิภาพของหัววัดรังสีเอกซ์ทริมอัลตราไวโอเล็ตที่ใช้โลหะเงินพบว่า ที่ช่วงความยาวคลื่น 12นาโนเมตร 13.5นาโนเมตร และ 15นาโนเมตร สามารถวัดประสิทธิภาพได้ 1.7% 2.47% และ 1.38% ตามลำดับ เมื่อเทียบกับหัววัดรังสีชนิดโฟโตไดโอด SXUV HS5 Si/Zr พบว่าที่ 13.5นาโนเมตร หัววัดมีประสิทธิภาพ 3.74% ทำให้สรุปได้ว่าหัววัดรังสีเอกซ์ทริมอัลตราไวโอเล็ตนี้สามารถนำไปใช้ประโยชน์ทางด้านการพัฒนาอุตสาหกรรมสารกึ่งตัวนำ และด้านการวัดรังสีช่วงความยาวคลื่นในช่วง 5-50นาโนเมตร ได้ดีเทียบเท่ากับหัววัดรังสีแบบโซลิดสเตต (Solid State) ที่มีการใช้อย่างแพร่หลาย

สาขาวิชา..... มาตราวิทยา..... ลายมือชื่อนิติ.....  
ปีการศึกษา..... 2554..... ลายมือชื่ออ.ที่ปรึกษาวิทยานิพนธ์หลัก.....

## 5172220023: MAJOR METROLOGICAL SCIENCE

KEYWORDS: PHOTOELECTRIC EFFECT/EXTREME ULTRAVIOLET/EUV DETECTOR.

KANLAYA THANASIN: DESIGN AND DEVELOPMENT OF EUV DETECTOR USING SILICON MOLYBDENUM MIRROR. ADVISOR: ASST.PROF. RATTACHAT MONGKOLNAVIN, Ph.D., 67 pp.

This thesis describes the development of Extreme Ultraviolet (EUV) radiation detector. The investigation prioritized on the performance of the detector especially its fast response to photon at wavelength of 13.5 nm thus the photoelectric effect principle is used to devise such a detector. Metals with suitable work function were investigated such that the metal with best response was identified. The detector performance was investigated at Siam Photon Laboratory Synchrotron Light Research Institute (Public Organization) where Photoemission Spectroscopy (PES) beam line can provide EUV radiation with known wavelength and intensity through angle-resolved photoemission spectroscopy. The efficiencies of the detector were measured in comparison to a commercialized diode detector SXUV HS5 Si/Zr which has a detectable window around 13.5 nm. It was found that silver (Ag) was the best material to make such a detector where the work function is 4.73 eV. When the detector was used to measure the radiation with wavelength of 13.5 nm, it was shown that the detector can perform as well as the SXUV HS5 Si/Zr. In order to increase the detection efficiency, the detector can be used in cooperation with silicon molybdenum mirror (Si/Mo) for better wavelength selectivity. The efficiencies of the detector used silver metal detecting photons of 12 nm, 13.5 nm and 15 nm were 1.7%, 2.47% and 1.38% respectively. In comparison with SXUV HS5 Si/Zr, the efficiency at 13.5 nm was 3.74%. It can be concluded that the proposed EUV detector has a potential to be further used in semiconductor industry development as well as measurement of EUV radiation (5-50 nm) in other applications that are comparable with other widely used solid state radiation detectors.

Field of Study: Metrological Science Student's Signature: .....

Academic Year: .....2011..... Advisor's Signature: .....

## กิตติกรรมประกาศ

วิทยานิพนธ์นี้ได้สำเร็จลุล่วงไปได้ด้วยความช่วยเหลืออย่างดียิ่งของผู้ช่วยศาสตราจารย์ ดร.รัฐชาติ มงคลนาวิน อาจารย์ที่ปรึกษาวิทยานิพนธ์ ซึ่งได้กรุณาให้ความรู้คำแนะนำและตรวจแก้ไขข้อเขียนวิทยานิพนธ์นี้ให้สมบูรณ์ยิ่งขึ้น

ข้าพเจ้าขอขอบพระคุณท่านคณะกรรมการสอบวิทยานิพนธ์ ผู้ช่วยศาสตราจารย์ ดร.ต้นพงศ์ แก้วคงคา ผู้ช่วยศาสตราจารย์ กิรณันต์ รัตนธรรมพันธ์ อาจารย์ประจำภาควิชาฟิสิกส์ คณะวิทยาศาสตร์ จุฬาลงกรณ์มหาวิทยาลัย และรองศาสตราจารย์ ดร.อนันตสิน เตชะกำพุช ผู้ทรงคุณวุฒิจากภายนอก

ข้าพขอขอบพระคุณแหล่งเงินทุนสนับสนุนวิทยานิพนธ์จากทุนอุดหนุนวิทยานิพนธ์สำหรับนิสิตจากบัณฑิตวิทยาลัย จุฬาลงกรณ์มหาวิทยาลัย

นอกจากนี้ข้าพเจ้าใคร่ขอขอบพระคุณ Professor Dr. C.S. Wong อาจารย์ประจำภาควิชาฟิสิกส์ มหาวิทยาลัย มาลายา ประเทศมาเลเซีย ที่กรุณาให้คำปรึกษาบางประการแก่ผู้วิจัย อาจารย์ ชนะ ฝิวล่อง ที่ช่วยให้คำปรึกษาทางด้านอิเล็กทรอนิกส์ และ Dr. Hideki Nakajima หัวหน้าสถานีทดลอง (PES) ดร.รัฐภาภรณ์ ทรัพย์เรืองเนตร นาย สุรเชษฐ รัตนสุพร นักวิจัยจากศูนย์วิจัยแสงซินโครตรอนแห่งชาติ ที่กรุณาให้คำแนะนำปรึกษาทางด้านฟิสิกส์และอิเล็กทรอนิกส์ ทั้งยังช่วยออกแบบการทดลองทางด้านหัววัดรังสีเอกซ์ทริมัลตราไวโอเล็ต ให้สำเร็จลุล่วงไปได้ด้วยดี

ท้ายสุดนี้ข้าพเจ้าขอกราบขอพคุณบิดา มารดา พี่ชาย และพี่สาว ที่สนับสนุนทุกๆด้านแก่ข้าพเจ้าเสมอมา และขอขอบพระคุณพี่ๆ จากห้องปฏิบัติการพลาสมา และพี่ๆ ที่ห้องปฏิบัติการศูนย์วิจัยแสงซินโครตรอนแห่งชาติ ทุกคนที่คอยให้คำแนะนำและผู้ที่เกี่ยวข้องที่ได้ให้การช่วยเหลือในทุกๆ ด้าน

## สารบัญ

หน้า

บทคัดย่อภาษาไทย.....	ง
บทคัดย่อภาษาอังกฤษ.....	จ
กิตติกรรมประกาศ.....	ฉ
สารบัญ.....	ช
สารบัญตาราง.....	ญ
สารบัญภาพ.....	ฎ
<b>บทที่ 1 บทนำ.....</b>	<b>1</b>
1.1 ความเป็นมาและความสำคัญของปัญหา.....	1
1.2 วัตถุประสงค์ของการวิจัย.....	2
1.3 ขั้นตอนการดำเนินการวิจัย.....	3
1.4 ประโยชน์ที่คาดว่าจะได้รับ.....	3
<b>บทที่ 2 เอกสารและงานวิจัยที่เกี่ยวข้อง.....</b>	<b>4</b>
2.1 แนวคิดและทฤษฎี.....	4
2.1.1 มาตรฐานวิทยา.....	4
2.1.2 การสอบเทียบ.....	5
2.2.3 ความไม่แน่นอนของการวัด.....	5
2.2 ปრაกฏการณ์โฟโตอิเล็กทริก.....	7
2.3 หัววัดรังสีชนิดโฟโตไดโอด SXUV HS5 Si/Zr.....	12
2.4 กระจกเคลือบฟิล์มบางซิลิคอนโมลิบดีนัม (Si/Mo).....	12
<b>บทที่ 3 วิธีการดำเนินการวิจัย.....</b>	<b>14</b>
3.1 อุปกรณ์ที่ใช้ในการทดลอง.....	14
3.2 ศูนย์วิจัยแสงซินโครตรอนแห่งชาติ ข้อมูลด้านเทคนิค.....	14
3.3 เทคนิคที่ใช้แสงซินโครตรอน.....	16
3.4 เครื่องมือในสถานีทดลองด้าน photoemission spectroscopy (PES).....	18

3.5 เครื่องมือในสถานีทดลองด้าน photoemission spectroscopy (PES).....	19
3.6 ตัวอย่างงานวิจัยของสถานีทดลอง photoelectron emission spectroscopy (PES).....	19
3.7 วิธีการทดลอง.....	20
3.8 ขั้นตอนการทดลอง.....	22
3.8.1 วิธีการทดลอง การทดสอบประสิทธิภาพของโลหะทั้ง 4 ชนิด เงิน ทองแดง เหล็กและอะลูมิเนียม.....	25
3.9 การเปรียบเทียบประสิทธิภาพของหัววัดรังสีเอกซ์ทริมอัลตราไวโอเล็ตกับ หัววัดรังสีชนิดโฟโตไดโอด SXUV HS5 Si/Zr.....	27
3.9.1 แผนผังการทดสอบประสิทธิภาพของหัววัดรังสี.....	30
<b>บทที่ 4 ผลการทดลอง.....</b>	<b>31</b>
4.1 การทดสอบประสิทธิภาพของโลหะเพื่อคัดเลือกโลหะที่มีความเหมาะสมมากที่สุดที่สามารถตอบสนองรังสีในย่าน 13.5 นาโนเมตร.....	34
4.2 การทดสอบหัววัดรังสีเอกซ์ทริมอัลตราไวโอเล็ตที่สร้างจากโลหะเงิน.....	38
4.3 การทดสอบหัววัดรังสีชนิดโฟโตไดโอด SXUV HS5 Si/Zr.....	42
4.4 การเปรียบเทียบประสิทธิภาพของหัววัดรังสี.....	45
<b>บทที่ 5 สรุปผล อภิปรายผล และข้อเสนอแนะ.....</b>	<b>47</b>
5.1 สรุปผลการทดลอง.....	47
5.2 อภิปรายผลการวิจัย.....	47
5.3 ข้อเสนอแนะ.....	48



ณ

หน้า

รายการอ้างอิง.....	50
ภาคผนวก.....	52
ประวัติผู้เขียนวิทยานิพนธ์.....	67

## สารบัญตาราง

	หน้า
ตารางที่ 2.1.1 แสดงค่าฟังก์ชันงานของโลหะ.....	7
ตารางที่ 3.7.1 แสดงค่าฟังก์ชันงานของโลหะที่ใช้ในการทดลอง.....	25
ตารางที่ 4.1.1 แสดงการเปรียบเทียบประสิทธิภาพของหัววัดรังสีที่สร้างจากโลหะเงินที่ ช่วงความยาวคลื่น 12 นาโนเมตร 13.5 นาโนเมตรและ 15 นาโนเมตร.....	38
ตารางที่ 4.5.1 แสดงค่าเปรียบเทียบประสิทธิภาพของหัววัดรังสีเอกซ์ทริมัลตราไวคัลเลต กับหัววัดรังสีชนิดโฟโตไดโอด SXUV HS5 Si/Zr .....	45

## สารบัญภาพ

	หน้า
ภาพที่ 1.1 แสดงการทำงานหัววัดรังสีเอกซ์ที่ริมอัลตราไวโอเล็ต.....	2
ภาพที่ 2.2.1 ลักษณะอุปกรณ์ที่ใช้ในการทดลองทางโฟโตอิเล็กทริก.....	8
ภาพที่ 2.2.2 กระแสโฟโตอิเล็กทริก.....	9
ภาพที่ 2.2.3 ความสัมพันธ์ระหว่างความถี่ของแสงกับศักย์หยุดยั้ง.....	10
ภาพที่ 2.3.1 กราฟแสดงค่าการทำงานของหัววัดรังสีชนิดโฟโตไดโอด SXUV HS5 Si/Zr .....	12
ภาพที่ 2.4.1 กระจกเคลือบฟิล์มบางซิลิคอนโมลิบดีนัม (Si/Mo).....	13
ภาพที่ 2.4.2 กราฟแสดงช่วงการทำงานของกระจกซิลิคอนโมลิบดีนัม.....	13
ภาพที่ 3.3.1 โฟตอนฟลักซ์ที่ตำแหน่งตัวอย่าง.....	16
ภาพที่ 3.3.2 แสดงช่วงพลังงานของโฟตอน.....	17
ภาพที่ 3.3.3 แสดงระบบลำเลียงแสง (Undulator beamline) ของสถานีทดลอง ซินโครตรอน.....	17
ภาพที่ 3.5.1 แสดง ระบบการทำงานของสถานีทดลองทางด้าน 3.6 ตัวอย่างงานวิจัย ของสถานีทดลอง Photoelectron Emission Spectroscopy (PES).....	19
ภาพที่ 3.7.1 กราฟแสดงความสัมพันธ์ระหว่าง โวลต์กับกระแส ที่ค่าของกระแสคงที่เพิ่มขึ้น แต่ความต่างศักย์หยุดยั้งเท่าเดิม.....	21
ภาพที่ 3.7.2 กราฟที่แสงความถี่เดียวกัน แต่ความเข้มแสงมากขึ้น จะได้กระแสคงที่เพิ่มขึ้น แต่ความต่างศักย์หยุดยั้งเท่าเดิมแสดงว่าอิเล็กตรอนไม่ได้มีพลังงานจลน์เพิ่มขึ้น....	21
ภาพที่ 3.7.3 กราฟแสดงถ้าให้แสงความถี่ต่างกัน ที่มีความเข้มเท่ากันจะได้อย่างความถี่สูงขึ้น ได้ค่าความต่างศักย์หยุดยั้งมากที่สุดแสดงว่าพลังงานจลน์ของอิเล็กตรอนขึ้นกับ ความถี่ของ.....	22
ภาพที่ 3.8.1 การออกแบบและการสร้างการทดสอบประสิทธิภาพของโลหะทั้ง 4 ชนิด.....	23
ภาพที่ 3.8.2 การทดสอบประสิทธิภาพของโลหะโดยใช้หลักการโฟโตอิเล็กทริก.....	23
ภาพที่ 3.8.3 แสดงการสร้างการทดสอบประสิทธิภาพของโลหะทั้ง 4 ชนิด.....	24
ภาพที่ 3.8.4 แสดงการสร้างหัววัดรังสีโดยใช้โลหะทั้ง 4 ชนิดในการทดสอบประสิทธิภาพ ของโลหะ.....	24
ภาพที่ 3.8.5 แสดงภาพหัววัดรังสีที่สร้างจากโลหะเงิน.....	25
ภาพที่ 3.8.6 แสดงภาพหัววัดรังสีเอกซ์ที่ริมอัลตราไวโอเล็ตที่ใช้ทดสอบประสิทธิภาพ.....	26

ภาพที่ 3.8.7 แสดงภาพหัววัดรังสีเอกซ์ทริมอัลตราไวโอเล็ตที่สร้างจากโลหะเงิน.....	26
ภาพที่ 3.9.1 ผังการทำงานของหัววัดรังสีชนิดโฟโตไดโอด SXUV HS5 Si/Zr.....	27
ภาพที่ 3.9.2 แสดงหัววัดรังสีชนิดโฟโตไดโอด SXUV HS5 Si/Zr.....	28
ภาพที่ 3.9.3 แสดงฐานของหัววัดรังสีชนิดโฟโตไดโอด SXUV HS5 Si/Zr.....	28
ภาพที่ 3.9.4 แสดงการทดสอบประสิทธิภาพของหัววัดรังสีชนิดโฟโตไดโอด SXUV HS5 Si/Zr กับระบบลำแสง.....	29
ภาพที่ 3.9.5 แสดงหลักการทดสอบประสิทธิภาพของหัววัดรังสีเอกซ์ทริมอัลตราไวโอเล็ต กับหัววัดรังสีชนิดโฟโตไดโอด SXUV HS5 Si/Zr.....	30
ภาพที่ 4.1 แสดงภาพของหลักการคำนวณจำนวนของโฟตอนที่ออกมาจากระบบของ ศูนย์วิจัยแสงซินโครตรอน.....	31
ภาพที่ 4.1.1 การทดสอบประสิทธิภาพของโลหะโดยใช้หลักการโฟโตอิเล็กทริก.....	34
ภาพที่ 4.1.2 กราฟแสดงผลการทดสอบประสิทธิภาพของโลหะโดยใช้ปรากฏการณ์ โฟโตอิเล็กทริกในช่วงความยาวคลื่น 13.5 นาโนเมตร.....	35
ภาพที่ 4.1.3 กราฟแสดงผลการทดสอบหัววัดรังสีเอกซ์ทริมอัลตราไวโอเล็ตที่ใช้โลหะเงิน.....	36
ภาพที่ 4.1.4 กราฟแสดงผลการทดสอบประสิทธิภาพของหัววัดรังสีเอกซ์ทริมอัลตราไวโอเล็ต...36	
ภาพที่ 4.2.1 กราฟแสดงการทดสอบประสิทธิภาพของหัววัดรังสีเอกซ์ทริมอัลตราไวโอเล็ตที่ สร้างจากโลหะเงินในช่วงของพลังงานที่ต่างกัน.....	38
ภาพที่ 4.2.2 กราฟแสดงการทดสอบประสิทธิภาพของหัววัดรังสีเอกซ์ทริมอัลตราไวโอเล็ตที่ สร้างจากโลหะเงินในช่วงของพลังงานที่ต่างกันในช่วงของรังสี ยูวี (UV) และรังสีอียูวี (EUV).....	39
ภาพที่ 4.2.3 กราฟแสดงการทดสอบประสิทธิภาพของหัววัดรังสีเอกซ์ทริมอัลตราไวโอเล็ตที่ สร้างจากโลหะเงินในช่วงของพลังงานที่ 12 นาโนเมตร 13.5 นาโนเมตร และที่ 15 นาโนเมตร.....	40
ภาพที่ 4.2.4 กราฟแสดงการทดสอบประสิทธิภาพของหัววัดรังสีเอกซ์ทริมอัลตราไวโอเล็ตทั้ง 4 ชนิดเพื่อเปรียบเทียบประสิทธิภาพที่ต่างกันในการตอบสนองต่อแสงในช่วง ของพลังงานที่ 13.5 นาโนเมตร .....	41
ภาพที่ 4.3.1 กราฟแสดงผลการทดสอบของหัววัดรังสีชนิดโฟโตไดโอด SXUV HS5 Si/Zr ทดสอบกับความยาวคลื่นครอบคลุมช่วงพลังงานที่ 13.5 นาโนเมตร.....	43

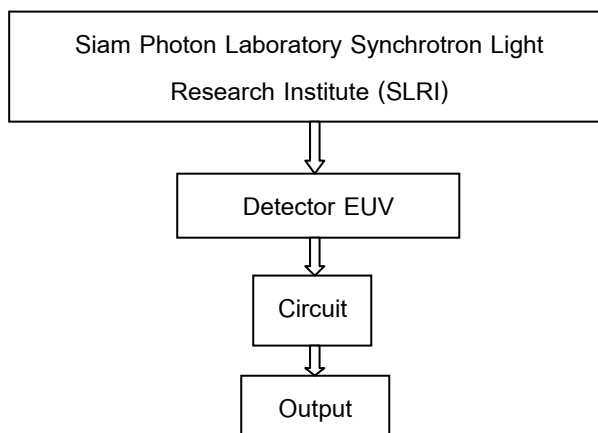
ภาพที่ 4.3.2 กราฟแสดงผลการทดสอบของหัววัดรังสีชนิดโฟโตไดโอด SXUV HS5 Si/Zr  
 ที่ใช้ร่วมกับกระจกเคลือบฟิล์มบางซิลิคอนโมลิบดีนัมทดสอบกับความยาวคลื่น  
 ครอบคลุมช่วงพลังงานที่ 13.5 นาโนเมตร.....44

## บทที่ 1

### บทนำ

#### 1. ความเป็นมาและความสำคัญของปัญหา

รังสีเป็นสิ่งที่ไม่สามารถตรวจวัดได้ด้วยร่างกายมนุษย์เอง ดังนั้นในการตรวจวัดรังสีจึงจำเป็นต้องอาศัยเครื่องมือทางด้านวิทยาศาสตร์คือ หัววัดรังสีก็มีหลายประเภทแบ่งตามชนิดของรังสีที่จะทำการวัดสำหรับรังสีเอกซ์ทริมอัลตราไวโอเลตนั้นเป็นรังสีที่ครอบคลุมความยาวคลื่น 5 ถึง 50 นาโนเมตร (nanometer: nm) [1] ซึ่งสั้นกว่าความยาวคลื่นแสงที่มองเห็นถึง 10 ถึง 100 เท่า ด้วยสมบัติข้อนี้จึงทำให้สามารถเห็นหรือสร้างภาพของวัสดุที่มีขนาดเล็กกว่าใช้แสง ดังนั้นจึงนำสมบัติข้อนี้ไปใช้ในการประยุกต์ในด้านจุลทรรศน์และลิโทกราฟีในอุตสาหกรรมสารกึ่งตัวนำ เนื่องจากสามารถสร้างลายเส้นวงจรมบนแผ่นเวเฟอร์ให้มีขนาดเล็กทำให้มีจำนวนเส้นวงจรมากขึ้นโดยใช้พื้นที่เท่าเดิม เนื่องจากเส้นวงจรมีขนาดเล็กลงเมื่อเปรียบเทียบกับช่วงความยาวคลื่นนี้กับที่ใช้ในปัจจุบัน โดยผลนี้ทำให้ขนาดของอุปกรณ์มีขนาดเล็กลงกว่าเดิม ปัจจุบันได้มีการค้นคว้าสร้างแหล่งกำเนิดรังสีดังกล่าวและทำการวัดรังสีโดยใช้อุปกรณ์ตรวจจับต่างๆ ซึ่งรังสีนี้จำเป็นต้องใช้หัววัดที่มีประสิทธิภาพในช่วงพลังงานรังสีโดยเฉพาะซึ่งในประเทศนั้นยังมีน้อยจำเป็นต้องนำเข้าจากต่างประเทศ ซึ่งหัววัดรังสีที่ผลิตจากต่างประเทศมีราคาแพงมาก ซึ่งในปัจจุบันประเทศไทยได้รับผลกระทบทางเศรษฐกิจทำให้การจัดหาอุปกรณ์ทางด้านนี้เป็นไปได้ยาก ดังนั้นในวิทยานิพนธ์นี้ให้ความสนใจพัฒนาการสร้างหัววัดรังสีเอกซ์ทริมอัลตราไวโอเลตให้มีความไวมากขึ้น มีการตอบสนองที่รวดเร็วในการวัดที่เจาะจงความยาวคลื่น 13.5นาโนเมตร โดยหัววัดรังสีนี้พัฒนาขึ้นโดยใช้หลักการสร้างหัววัดรังสีที่อาศัยปรากฏการณ์โฟโตอิเล็กทริก(photoelectric effect) ของโลหะที่มีค่าฟังก์ชันงาน (work function) ที่เหมาะสมจากนั้นนำไปสอบเทียบกับแสงเอกซ์ทริมอัลตราไวโอเลตที่ศูนย์วิจัยแสงซินโครตรอนแห่งชาติ เพื่อหาประสิทธิภาพการวัดของหัววัดรังสีเอกซ์ทริมอัลตราไวโอเลตเทียบกับหัววัดรังสีชนิดโฟโตไดโอด SXUV HS5 Si/Zr ดังแสดงในภาพที่ 1.1 วิทยานิพนธ์นี้ได้สร้างหัววัดรังสีเอกซ์ทริมอัลตราไวโอเลตขึ้นโดยใช้วัสดุและอุปกรณ์ที่หาได้ง่ายโดยให้มีประสิทธิภาพทัดเทียมกับหัววัดรังสีที่ผลิตจำหน่ายในเชิงพาณิชย์และเพื่อใช้เป็นแนวทางในการพัฒนาไปสู่หัววัดรังสีแบบอื่นๆ ต่อไป



ภาพที่ 1.1 แสดงการทำงานของหัววัดรังสีเอกซ์ทริมอัลตราไวโอเล็ต

## 2. แนวคิดและเหตุผล

การสร้างหัววัดรังสีเอกซ์ทริมอัลตราไวโอเล็ตได้อาศัยปรากฏการณ์ของโฟโตอิเล็กทริก เพื่อให้หัววัดรังสีสามารถวัดได้ที่ช่วงความยาวคลื่น 13.5 นาโนเมตร ซึ่งปรากฏการณ์โฟโตอิเล็กทริกคือ ปรากฏการณ์ที่อิเล็กตรอนในอะตอมของสสารถูกปลดปล่อยออกมาเมื่อสสารดูดซับรังสีต่างๆ เช่น คลื่นรังสีเอกซ์ทริมอัลตราไวโอเล็ต รังสีเอกซ์ อิเล็กตรอนที่หลุดออกมาเรียกว่า โฟโตอิเล็กตรอน(photoelectron) ปรากฏการณ์นี้เกิดขึ้นเมื่อมีคลื่นแม่เหล็กไฟฟ้าที่มีความถี่สูงกว่าค่าความถี่ขีดเริ่มของโลหะที่ใช้ในการทดลอง มาตกกระทบบนผิววัสดุดังกล่าว โดยที่พลังงานของโฟตอนถูกดูดกลืนและทำให้อิเล็กตรอนถูกปลดปล่อยออกมาซึ่งสังเกตได้จากกระแสไฟฟ้าที่วัดได้ในวงจร หากรังสีที่ตกกระทบมีความถี่ต่ำกว่าค่าความถี่ขีดเริ่มของโลหะจะไม่ทำให้เกิดโฟโตอิเล็กตรอนไม่ว่าความเข้มของคลื่นแสงจะมีค่ามากก็ตาม เพราะพลังงานที่อิเล็กตรอนได้รับไม่มากพอที่จะทำให้ชนะพลังงานยึดเหนี่ยวอิเล็กตรอนของผิวโลหะซึ่งเรียกว่า ฟังก์ชันงาน ดังนั้นในการเลือกชนิดของโลหะจึงต้องพิจารณาจากฟังก์ชันงานของโลหะแต่ละชนิดที่สามารถตอบสนองในช่วงความยาวคลื่นที่ 13.5 นาโนเมตร ได้ดีที่สุดซึ่งในการทำการทดลองนี้เลือกใช้โลหะบริสุทธิ์ทั้งหมด 4 ชนิดคือ อะลูมิเนียม(Al) เหล็ก(Fe) ทองแดง(Cu) และเงิน(Ag) ที่มีค่าฟังก์ชันงานที่เหมาะสมในการตอบสนองช่วง 13.5 นาโนเมตร ได้ดีที่สุดซึ่งหัววัดรังสีที่สร้างขึ้นยังสามารถนำหัววัดรังสีที่สร้างขึ้นไปประยุกต์ใช้ให้เกิดประโยชน์ทางด้านอุตสาหกรรมสารกึ่งตัวนำและด้านการวัดรังสีต่างๆ ได้หลากหลายยิ่งขึ้น

### 3. วัตถุประสงค์ของการวิจัย

- 3.1 ออกแบบและสร้างหัววัดรังสีเอกซ์ทริมอัลตราไวโอเล็ต (Extreme Ultraviolet)
- 3.2 เพื่อสอบเทียบประสิทธิภาพการทำงานของหัววัดรังสีเอกซ์ทริมอัลตราไวโอเล็ต
- 3.3 เปรียบเทียบประสิทธิภาพการทำงานของหัววัดรังสีเอกซ์ทริมอัลตราไวโอเล็ตกับหัววัดรังสีชนิดโฟโตไดโอด SXUV HS5 Si/Zr

### 4. ขั้นตอนการดำเนินการวิจัย

- 4.1 ศึกษาทฤษฎีของรังสีเอกซ์ทริมอัลตราไวโอเล็ตในช่วงความยาวคลื่น 13.5นาโนเมตร
- 4.2 ศึกษาการออกแบบสร้างหัววัดรังสีเอกซ์ทริมอัลตราไวโอเล็ตโดยใช้ปรากฏการณ์โฟโตอิเล็กทริก
- 4.3 ออกแบบและสร้างหัววัดรังสีเอกซ์ทริมอัลตราไวโอเล็ตแล้วนำหัววัดรังสีไปทดสอบและสอบเทียบประสิทธิภาพที่ ศูนย์วิจัยแสงซินโครตรอน (จังหวัดนครราชสีมา)
- 4.4 วิเคราะห์ค่าที่ได้จากการสอบเทียบ
- 4.5 ทดสอบหัววัดรังสีชนิดโฟโตไดโอด SXUV HS5 Si/Zr ที่เคยมีการพัฒนาขึ้นมาแล้ว
- 4.6 วิเคราะห์ค่าที่ได้จากการทดสอบหัววัดรังสีชนิดโฟโตไดโอด SXUV HS5 Si/Zr เพื่อทำการเปรียบเทียบกับหัววัดรังสีเอกซ์ทริมอัลตราไวโอเล็ตที่สร้างขึ้น
- 4.7 เสนอแนวทางปรับปรุงแก้ไขในการพัฒนาหัววัดรังสีเอกซ์ทริมอัลตราไวโอเล็ต
- 4.8 สรุปผลการทดสอบประสิทธิภาพของหัววัดรังสีเอกซ์ทริมอัลตราไวโอเล็ตที่สร้างขึ้น

### 5. ประโยชน์ที่คาดว่าจะได้รับ

- 5.1 ได้องค์ความรู้และวิธีการใหม่ในการสร้างหัววัดรังสีเอกซ์ทริมอัลตราไวโอเล็ต
- 5.2 ได้หัววัดรังสีเอกซ์ทริมอัลตราไวโอเล็ตที่มีประสิทธิภาพในการตรวจวัดรังสีที่ครอบคลุมช่วงความยาวคลื่นใกล้เคียงกับความยาวคลื่น 13.5นาโนเมตร
- 5.3 สามารถนำหัววัดรังสีดังกล่าวตรวจจับรังสีนี้จากแหล่งกำเนิดต่างๆ เช่นเครื่องพลาสมาไฟกัสที่อยู่ในห้องปฏิบัติการและนำไปใช้ในอุตสาหกรรมสารกึ่งตัวนำได้

คำจำกัดความในงานวิจัย: Photoelectric effect, Extreme Ultraviolet, EUV Detector.



## บทที่ 2

### เอกสารและงานวิจัยที่เกี่ยวข้อง

#### 2.1 แนวคิดและทฤษฎี

ปัจจุบันนี้การพัฒนาทางด้านวิทยาศาสตร์และเทคโนโลยีที่ก้าวหน้าอย่างรวดเร็วซึ่งทางด้านวิทยาศาสตร์จะต้องอาศัยความรู้ทางด้านมาตรวิทยาอย่างถูกต้องแม่นยำเข้ามาเป็นตัวสนับสนุนงานเพื่อให้มีการคาดการณ์ที่แม่นยำในหลักการต่างๆอย่างถูกต้องเป็นจริง ซึ่งการวัดอย่างเป็นวิชาการที่กล่าวถึงคือ มาตรวิทยา(metrology)ที่ว่าด้วยเรื่องแห่งการวัดจะเป็นการศึกษาเรื่องปริมาณต่างๆ และเทคนิคของการวัด การสนับสนุนการพัฒนาทางด้านวิทยาศาสตร์และเทคโนโลยีนั้นจะประกอบด้วย 3 กิจกรรมหลัก การกำหนดค่าของหน่วยวัด(definition) การทำให้เป็นจริง(realization) การสอบกลับได้(traceability) ซึ่งในการที่เราจะพัฒนาเครื่องมือวัดจะต้องคำนวนให้ได้ค่าที่ถูกต้อง(accuracy) แม่นยำ(precision) ความไวสูง(sensitivity) ความละเอียด(resolution) และมีเสถียรภาพ(stability) ดีในสภาวะแวดล้อมที่เปลี่ยนแปลง ใช้งานง่าย และทำงานได้แบบอัตโนมัติ ซึ่งเป็นองค์ประกอบพื้นฐานที่จะต้องคำนึงถึงในการพัฒนาทางด้านมาตรวิทยาหลักของการวัดจะต้องมีความถูกต้องและเที่ยงตรง(accurate and precision) มีห้องปฏิบัติการสอบเทียบ(calibration laboratory) ซึ่งการสอบเทียบ(calibration) นั้นหมายถึง การหาความสัมพันธ์ระหว่างค่าที่บอกโดยเครื่องมือวัด หรือระบบการวัด หรือค่าที่แสดงโดยเครื่องมือวัดที่เป็นวัสดุกับค่าสมมติที่รู้ของปริมาณที่วัดภายใต้ภาวะที่บอกไว้ ผลของการสอบเทียบทำให้สามารถประมาณค่าผิดพลาดของเครื่องมือวัด ระบบการวัดหรือเครื่องมือวัดที่เป็นวัสดุ หรือการกำหนดค่า ทำเครื่องหมายบนสเกล ณ ที่ใดที่หนึ่ง [2] ซึ่งสามารถอธิบายได้ดังนี้

##### 2.1.1 มาตรวิทยา

มาตรวิทยา คือ วิชาที่กล่าวถึงเรื่องของการวัดไม่ว่าจะเป็นด้านใดก็ตาม เป็นการวัดที่รวมเอาทั้งทฤษฎีและทุกอย่างของการปฏิบัติมาประยุกต์ใช้ เพื่อให้สามารถวัดได้อย่างถูกต้องตามความต้องการ และสามารถรายงานค่าของผลการวัดได้ โดยการรายงานนั้นได้รวมเอาการประเมินความไม่แน่นอนของการวัดไว้ด้วย ซึ่งได้รวมถึงการกำหนดหน่วยของการวัด โดยทำให้เป็นจริงขึ้นจากนิยามด้วยวิธีทางวิทยาศาสตร์ เช่น การทำหน่วยเมตรใช้ปรากฏการณ์ของแสงที่เคลื่อนที่ในสุญญากาศ นอกจากนี้ยังรวมถึงการจัดให้มีระบบความสามารถสอบกลับได้ของการวัด

(traceability) โดยการสอบเทียบ(calibration) และการทำเอกสารที่แสดงค่าที่ได้จากการวัดพร้อมกับความไม่แน่นอน(uncertainty) ของการวัดอีกด้วย [3]

### 2.1.2 การสอบเทียบ

การสอบเทียบ คือ การดำเนินการเพื่อหาความสัมพันธ์ระหว่างค่าที่บอกโดยเครื่องมือวัดหรือค่าที่แสดงโดยเครื่องวัดที่เป็นวัสดุกับค่าสมมติที่รู้ของปริมาณที่วัดภายใต้เงื่อนไขที่กำหนดไว้ (set of operations that establish, under specified conditions, the relationship between values of quantities indicated measuring instrument or measuring system, or value represented by a material measure or a reference material, and the corresponding values realized by standards : VIM 6.11) การสอบเทียบ คือ การตัดสินใจและการทำเอกสารแสดงความแม่นยำของค่าที่บอกของเครื่องมือวัดหรือค่าที่ระบุของวัสดุวัดจากค่าจริงที่ยอมรับร่วมกันคือ ค่าจริงที่มีความไม่แน่นอนของการวัดที่เหมาะสมกับการใช้งานซึ่งในที่นี้คือค่ามาตรฐานที่สามารถสอบกลับได้สู่มาตรฐานแห่งชาติหรือมาตรฐานระหว่างประเทศ [3]

### 2.1.3 ความไม่แน่นอนของการวัด

ความไม่แน่นอนของการวัด คือ สิ่งที่ยอมรับได้ถึงคุณภาพของผลการวัดว่ามีความน่าเชื่อถือเพียงใด การรายงานความไม่แน่นอนของการวัดจะต้องรายงานพร้อมกับผลของการวัดเสมอเพื่อที่จะเปรียบเทียบค่าที่ได้จากการวัดกับข้อกำหนดเฉพาะหรือมาตรฐานหรือเกณฑ์การยอมรับสำหรับสิ่งที่ถูกวัด(measurand) เป็นที่ยอมรับกันว่าการวัดทุกครั้งมีค่าความคลาดเคลื่อน(error) เกิดขึ้นเสมอ ก็เป็นผลมาจากผลของการวัดมีความแตกต่างไปจากค่าจริงของสิ่งที่วัด (true value) และความไม่แน่นอนของการวัดส่วนหนึ่งได้มาจากการกระจายค่าของผลการวัดนั้นๆ เมื่อทำการวัดหลายๆ ครั้ง มีแนวคิดต่างๆ ที่ใช้แสดงความน่าเชื่อถือได้ของผลการวัดอย่างไรก็ตามก็มีความยากลำบากในการใช้วิธีประเมินความน่าเชื่อถือได้ ในปี ค.ศ.1990 องค์การมาตรฐานระหว่างประเทศ(International Standardization Organization,ISO) ร่วมกับสำนักงานชั่ง ตวง วัดระหว่างประเทศ(BIPM) ได้แนะนำให้ใช้ความไม่แน่นอนของการวัดเป็นมาตรการในการบอกความน่าเชื่อถือของผลการวัดและได้เสนอแนวทางในการประเมินความไม่แน่นอนของการวัดคือGuide to the Expression of Uncertainty in Measurement (GUM) ซึ่งมีแนวคิดดังนี้

ปริมาณที่ถูกวัด  $Y$  เป็นผลที่ได้จากการวัดจะขึ้นอยู่กับปริมาณอินพุตที่เกี่ยวข้องในกระบวนการวัด  $X_1, X_2, X_3, \dots, X_n$

$$Y = f(X_1, X_2, X_3, \dots, X_n)$$

ทางปฏิบัติไม่สามารถทราบค่าที่แท้จริงของปริมาณอินพุตนั้นได้ปริมาณอินพุตที่เกี่ยวข้องกับขั้นตอนการวัดจะมีความไม่แน่นอนได้มาด้วยเสมอ ดังนั้นผลของการวัด  $Y$  จึงเป็นเพียงค่าประมาณ  $y$  พร้อมกับความไม่แน่นอนของการวัดที่เกิดจากปริมาณอินพุตนั้นด้วย

ในการรายงานผล ปริมาณที่ถูกวัดจะอยู่ในรูป  $Y = y \pm U$  โดยความไม่แน่นอน  $U$  ได้มาจากการประเมินองค์ประกอบทั้งหมดของความไม่แน่นอนในแบบที่เป็น Type A และ Type B การประเมิน Type A เป็นผลมาจากการประเมินทางสถิติที่อยู่ในของส่วนเบี่ยงเบนมาตรฐาน และการประเมิน Type B จะใช้วิธีอื่นที่ไม่ใช่การประเมินทางสถิติ ซึ่งอยู่ในแบบของส่วนเบี่ยงเบนมาตรฐานที่ได้จากใบรับรองของการสอบเทียบ หรือข้อกำหนดเฉพาะของเครื่องมือ เป็นต้น [4]

หลักการในการสอบเทียบ คือ กระบวนการตรวจสอบความถูกต้องของอุปกรณ์ที่ใช้ในการวัดซึ่งรวมทั้งเครื่องมือวัด โดยการเปรียบเทียบกับค่าที่อ่านได้จากเครื่องมือวัดกับค่าจริงของเครื่องที่ถูกวัดจึงสำคัญสำหรับการนำหลักการวัดทางมาตรวิทยามาใช้ในวิทยานิพนธ์นี้

วิทยานิพนธ์นี้ได้สร้างหัววัดรังสีเอกซ์ทริมัลตราไวโอเล็ตโดยใช้ ปรากฏการณ์ของโฟโตอิเล็กทริก(photoelectric effect) เพื่อให้ระบบของการวัดของหัววัดรังสีวัดได้ที่มีความยาวคลื่น 13.5 นาโนเมตร ปรากฏการณ์โฟโตอิเล็กทริก คือ ปรากฏการณ์ที่อิเล็กตรอนในอะตอมของสสารถูกปลดปล่อยออกมาเมื่อสสารดูดซับรังสีต่างๆ เช่น คลื่นรังสีเอกซ์ทริมัลตราไวโอเล็ต รังสีเอกซ์อิเล็กตรอนที่หลุดออกมา เรียกว่า โฟโตอิเล็กตรอน(photoelectron) ปรากฏการณ์นี้เกิดขึ้นเมื่อมีคลื่นแม่เหล็กไฟฟ้าที่มีความถี่สูงกว่าค่าความถี่ขีดเริ่มของโลหะ วัสดุที่ใช้ในการทดลอง มาตกกระทบบนผิววัสดุดังกล่าว โดยที่พลังงานของโฟตอนถูกดูดกลืนและทำให้อิเล็กตรอนถูกปลดปล่อยออกมาซึ่งสังเกตได้จากกระแสไฟฟ้าที่วัดได้ในวงจร หากรังสีที่ตกกระทบมีความถี่ต่ำกว่าค่าความถี่ขีดเริ่มของโลหะ ไม่ทำให้เกิดโฟโตอิเล็กตรอนได้ ไม่ว่าความเข้มของคลื่นแสงจะมีค่ามากเท่าใดก็ตาม เพราะพลังงานที่อิเล็กตรอนได้รับไม่มากพอที่จะทำให้ชนะพลังงานยึดเหนี่ยวอิเล็กตรอนของผิวโลหะซึ่งเรียกว่า ฟังก์ชันงาน(work function) ดังนั้นในการเลือกชนิดของโลหะจึงต้องพิจารณาจาก ฟังก์ชันงานของโลหะแต่ละชนิด[5]

ต่อจากนั้นกลับขั้วไฟฟ้าและเพิ่มความต่างศักย์จนกระทั่งกระแสไฟฟ้าเป็นศูนย์ ทำให้อิเล็กตรอนที่มีความเร็วมากที่สุดหรือพลังงานจลน์สูงสุดหยุดนิ่งเรียกความต่างศักย์นี้ว่า ศักย์หยุดยั้ง(stopping potential) แทนด้วย  $V_s$  ดังนั้นหาพลังงานจลน์สูงสุดของโฟโตอิเล็กตรอน ได้

$$E_{K \max} = eV_s = \frac{1}{2} m v_{\max}^2 \quad (2-1)$$

โดยที่	$E_{K \max}$	แทน	พลังงานจลน์สูงสุดของอิเล็กตรอน มีหน่วยเป็นจูล ( J )
	$e$	แทน	ประจุไฟฟ้าของอิเล็กตรอนมีค่าเท่ากับ $1.6 \times 10^{-19}$ คูลอมป์ (C)
	$V_s$	แทน	ความต่างศักย์หยุดยั้ง มีหน่วยเป็นโวลต์ (V)
	$m$	แทน	มวลของอิเล็กตรอนมีค่า $9.1 \times 10^{-31}$ kg
	$v_{\max}$	แทน	ความเร็วสูงสุดของอิเล็กตรอน (m/s)

ตารางที่ 2.1.1 แสดงค่าฟังก์ชันงานของโลหะ [5]

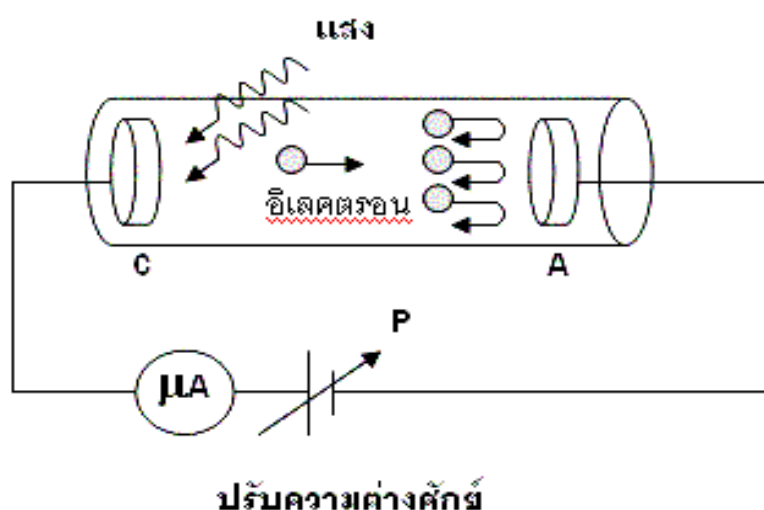
ชนิดโลหะ	ฟังก์ชันงาน (eV)
โซเดียม (Na)	2.46
อะลูมิเนียม (Al)	4.08
ทองแดง (Cu)	4.70
สังกะสี (Zn)	4.31
เงิน (Ag)	4.73
แพลทินัม (Pt)	6.35
ตะกั่ว (Pb)	4.14
เหล็ก(Fe)	4.50

## 2.2 ปฏิกิริยาโฟโตอิเล็กทริก

ปรากฏการณ์โฟโตอิเล็กทริกพบเมื่อปี พ.ศ. 2430 โดยเฮิร์ตซ์(Heinrich Hertz) นักวิทยาศาสตร์ชาวเยอรมัน ในระหว่างที่ทำการทดลองเกี่ยวกับคลื่นแม่เหล็กไฟฟ้า มีนักวิทยาศาสตร์อีกหลายท่านได้ดำเนินการค้นคว้าต่อมา และพบว่าเมื่อฉายแสงความถี่เดียว เช่นรังสีเหนือม่วงให้ตกกระทบผิวโลหะ จะมีอิเล็กตรอนหลุดออกจากผิวโลหะได้ ถ้าใช้แสงความถี่เดียวที่มีความถี่ต่ำลงมาเรื่อยๆ จะพบว่ามีความถี่ขีดเริ่ม(threshold frequency) ค่าหนึ่งซึ่งถ้าความถี่ต่ำกว่านี้แล้วอิเล็กตรอนจะไม่หลุดจากผิวโลหะ ปรากฏการณ์ที่แสงช่วยให้อิเล็กตรอนหลุดออกจากโลหะได้เรียกว่า ปรากฏการณ์โฟโตอิเล็กทริก(photoelectric effect) และเรียกอิเล็กตรอนที่หลุดออกมาว่า โฟโตอิเล็กตรอน(photoelectrons)

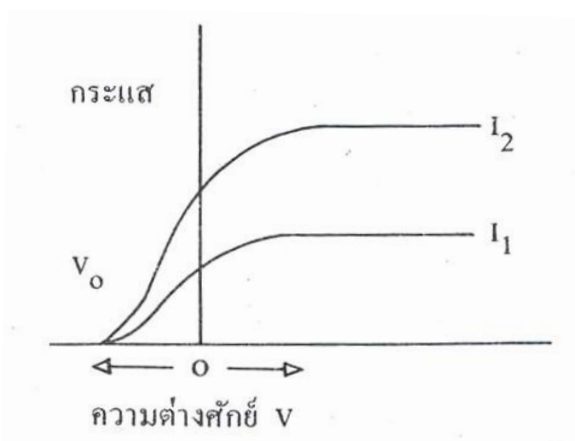
การศึกษาปรากฏการณ์โฟโตอิเล็กทริกทำได้ด้วยการใช้อุปกรณ์ดังรูปที่ 2.2.1 ในรูปของการทดลองในระบบสุญญากาศ ประกอบด้วยขั้วโลหะ A เป็นขั้วบวกและขั้วโลหะ C เป็นขั้วลบให้ใช้แบบแผ่นโลหะที่มีลักษณะโค้งเพื่อรับแสงส่วนขั้ว A ทำหน้าที่รับอิเล็กตรอน ต่อขั้วที่สองเข้ากับแหล่งจ่ายไฟฟ้าซึ่งสามารถปรับความต่างศักย์ได้ และต่อแอมป์มิเตอร์เพื่อใช้วัดกระแสของอิเล็กตรอนที่หลุดออกมาในขั้นตอนของการทดลอง

จากการทดลองหลักปรากฏการณ์โฟโตอิเล็กทริก เมื่อยังไม่ฉายแสงกระทบแผ่นโลหะ C กระแสในวงจรจะเป็นศูนย์เมื่อฉายแสงความถี่เดียวที่มีความเข้ม  $I_0$  ไปยังขั้ว C จะมีอิเล็กตรอนหลุดออกมาโฟโตอิเล็กตรอนบางตัวจะหลุดไปถึงขั้ว A ได้จะเกิดกระแสในวงจร ทดลองปรับค่าความต่างศักย์ระหว่างขั้วหลอดเป็นค่าต่างๆกัน จะได้กระแสดังรูป 2.2.2



ภาพที่ 2.2.1 ลักษณะอุปกรณ์ที่ใช้ในการทดลองทางโฟโตอิเล็กทริก [6]

จากภาพที่ 2.2.1 จะสังเกตเห็นว่าที่ความต่างศักย์ต่ำๆ กระแสจะมีค่าไม่มากนัก เนื่องจากโฟโตอิเล็กตรอนบางตัวจะไปไม่ถึงขั้ว A แต่เมื่อเพิ่มความต่างศักย์ให้สูงค่าพอที่จะเอาชนะค่าฟังก์ชันงานของแผ่นโลหะนั้นก็จะสามารถทำให้เกิดโฟโตอิเล็กตรอนทุกตัวจะไปถึงขั้ว A ได้หมด ค่าของกระแสจะเพิ่มขึ้นและคงที่ [6]



ภาพที่ 2.2.2 กระแสโฟโตอิเล็กทริก [7]

จากภาพที่ 2.2.2 ที่ค่าความถี่ที่ทำให้กระแสเป็นศูนย์เรียกว่า ศักย์หยุดยั้ง (stopping potential) ณ ที่ความถี่ค่านี้แม้โฟโตอิเล็กตรอนตัวที่มีพลังงานจลน์สูงที่สุด  $(E_k)_{\max}$  ก็ไม่สามารถหลุดออกมาได้ดังนั้นเราสามารถหาพลังงานจลน์สูงที่สุดของโฟโตอิเล็กตรอนได้จากสมการดังนี้

$$E_k = \frac{1}{2}mv_{\max}^2 = eV_0 \quad (2-2)$$

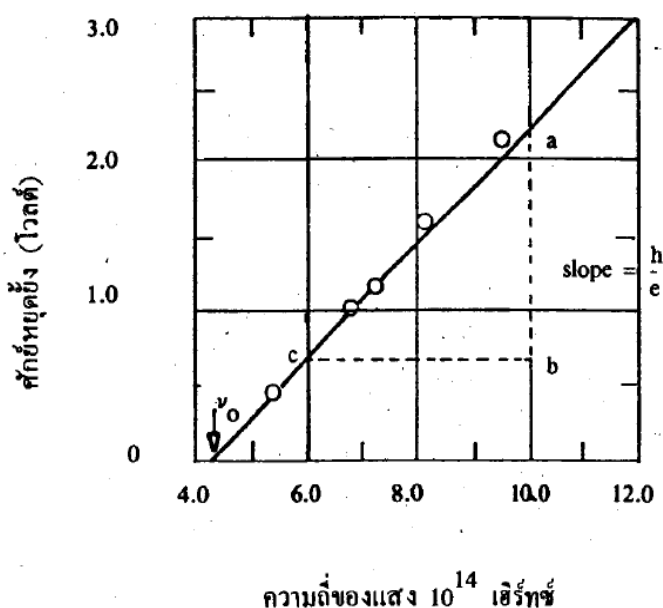
โดยที่  $e$  เป็นประจุไฟฟ้าของอิเล็กตรอน  $= 1.6 \times 10^{-19}$  คูลอมบ์

$V_0$  เป็นศักย์หยุดยั้ง

เมื่อเพิ่มความเข้มของแสงแต่ใช้ความถี่เดิมจะเห็นว่าเมื่อความเข้มของแสงเพิ่มขึ้น กระแสก็เพิ่มขึ้นตามไปด้วย ดูจากกราฟเส้น  $I_2$  แต่ความถี่ที่ทำให้กระแสเป็นศูนย์ยังคงเท่ากับ  $V_0$  ตามเดิมแสดงว่า ความเข้มของแสงไม่ได้ช่วยให้พลังงานจลน์ของโฟโตอิเล็กตรอนเพิ่มขึ้น เพียงแต่ไปเพิ่มจำนวนของโฟโตอิเล็กตรอนที่หลุดต่อวินาทีเท่านั้น การทดลองให้แสงที่มีความถี่ต่างๆ ไปที่ขั้วโลหะ C แล้ววาดกราฟระหว่างความถี่หยุดยั้งกับความถี่  $v$  ของแสงจะได้ดังภาพที่ 2.2.3 จะเห็นว่ามีความถี่ต่ำสุด ( $v_0$ ) ซึ่งถ้าความถี่ของแสงต่ำกว่านี้ก็จะไม่มีโฟโตอิเล็กตรอนหลุดออกมาเลย ซึ่งความถี่ต่ำสุดนี้ก็คือความถี่ขีดเริ่ม แต่เมื่อมีการเปลี่ยนชนิดของโลหะค่าของความถี่ขีดเริ่มก็จะเปลี่ยนไป และเมื่อฉายแสงความถี่สูงไปยังโลหะ โฟโตอิเล็กตรอนที่หลุดจะมีพลังงานจลน์สูงขึ้นไปตามไปด้วย [7]

จากการทดลองสามารถสรุปปรากฏการณ์โฟโตอิเล็กทริก ได้ดังนี้

1. พลังงานจลน์ของโฟโตอิเล็กตรอนจะไม่ขึ้นกับความเข้มของแสงแต่จะขึ้นกับความถี่แสงโดยเป็นปฏิกิริยาโดยตรงกับความถี่แสง และถ้าแสงมีความถี่ต่ำกว่าความถี่ขีดเริ่ม จะไม่มีโฟโตอิเล็กตรอนเกิดขึ้น
2. ถ้าแสงมีความถี่สูงกว่าความถี่ขีดเริ่ม จำนวนอิเล็กตรอนที่หลุดจะเป็นปฏิกิริยาตรงกับความเข้มของแสง



ภาพที่ 2.2.3 ความสัมพันธ์ระหว่างความถี่ของแสงกับศักย์หยุดยั้ง [7]

ปี พ.ศ. 2448 ไอน์สไตน์ (Albert Einstein) เสนอทฤษฎีโฟตอนของแสงอธิบายปรากฏการณ์โฟโตอิเล็กทริกสำเร็จ ซึ่งใช้แนวความคิดด้านการแผ่รังสีเป็นควอนตัมที่พลังค์ใช้อธิบายการแผ่รังสีจากวัตถุดำร้อน ไอน์สไตน์ กล่าวว่า ใ้ว่าแสงประกอบด้วยกลุ่มก้อนของพลังงาน เรียกว่า โฟตอน (photon) โฟตอนของแสงความถี่  $\nu$  จะมีพลังงานเท่ากับ  $h\nu$  เมื่อ  $h$  คือค่าคงที่ของพลังค์แสงจึงมีลักษณะเป็นอนุภาคที่ประกอบด้วยพลังงานก้อนเล็กๆ เมื่อตกกระทบโลหะพลังงานของ  $h\nu$  ของโฟตอนก็จะถ่ายไปให้กับอิเล็กตรอนในโลหะตัวต่อตัว และในการที่อิเล็กตรอนจะหลุดจากอะตอมของผิวโลหะ จะต้องจ่ายพลังงานให้กับอะตอมเท่ากับค่าฟังก์ชันงาน (work

function) ซึ่งเป็นพลังงานยึดเหนี่ยวอิเล็กตรอนไว้กับอะตอมนั้น ส่วนพลังงานที่เหลือจะปรากฏเป็นพลังงานจลน์ของอิเล็กตรอน เขียนเป็นสมการได้ว่า

$$hv = W + (E_k)_{\max} \quad (2-3)$$

เมื่อ  $(E_k)_{\max}$  คือ พลังงานจลน์สูงสุดของโฟโตอิเล็กตรอน

$W$  เป็นค่าฟังก์ชันงานของโลหะ มีค่าต่างกันแล้วแต่ชนิดของโลหะ

สมการที่ 2 คือ สมการโฟโตอิเล็กทริกของไอน์สไตน์ (Einstein's photoelectric equation) สมการของไอน์สไตน์ เมื่อแสงมีความถี่สูงพอตอนจะมีพลังงานสูงเมื่อฉายไปบนโลหะ โฟโตอิเล็กตรอนที่หลุดก็จะมีพลังงานจลน์สูงและถ้าความถี่ของแสงที่ฉายต่ำลงพลังงานจลน์ของโฟโตอิเล็กตรอนก็จะน้อยลงตามลำดับ และเมื่อความถี่แสงเท่ากับ  $\nu_0$  อิเล็กตรอนจะมีพลังงานจลน์เป็นศูนย์

$$\text{ดังนั้น} \quad h\nu_0 = W \quad (2-4)$$

แสดงว่าอิเล็กตรอนมีพลังงานพอดีทำให้อิเล็กตรอนหลุดจากผิวโลหะเท่านั้น แต่ไม่มีพลังงานจลน์และถ้าฉายแสงความถี่ต่ำกว่า  $\nu_0$  พลังงานโฟตอนของแสงจะมีค่าน้อยกว่า  $W$  แสงจึงมีพลังงานไม่พอที่จะทำให้อิเล็กตรอนหลุดจากผิวโลหะ ไม่ว่าจะมีความเข้มมาก ก็ตามถ้าแสงที่มีความถี่สูงกว่าความถี่ขีดเริ่มมีความเข้มมากขึ้น จะเกิดโฟโตอิเล็กตรอนจำนวนมากขึ้นโดยที่โฟตอนแต่ละตัวสามารถถ่ายเทพลังงานให้กับอิเล็กตรอนหนึ่งตัว มิลิแกน (R.A. Millikan) นักฟิสิกส์ชาวอเมริกันได้ทดลองพิสูจน์สมการโฟโตอิเล็กทริกของไอน์สไตน์ในปี พ.ศ. 2457 และหาค่า  $h$  ได้จากการทดลองเป็นครั้งแรก

แทนค่า  
จะได้

$$eV_0 = (E_k)_{\max} \quad \text{ลงในสมการโฟโตอิเล็กทริก}$$

$$eV_0 = hv - W \quad (2-5)$$

$$\text{หรือ} \quad V_0 = \frac{hv}{e} - \frac{W}{e} \quad (2-6)$$



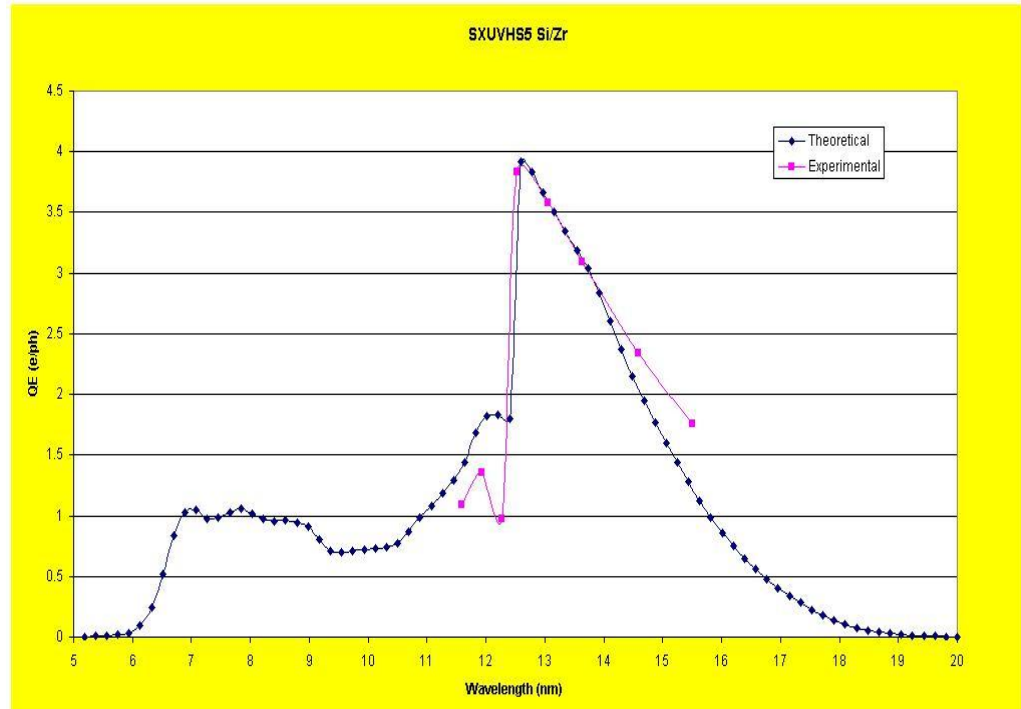
แสดงว่า กราฟที่เขียนระหว่าง  $V_0$  กับ  $e$  จะเป็นกราฟเส้นตรงโดยมีความชัน(slope) เป็นค่าของ  $\frac{h}{e}$  ดูจากภาพที่ 4

$$\text{มิลิแกนได้ค่า } \frac{h}{e} = 3.9 \times 10^{-15} \text{ โวลต์วินาที}$$

$$\text{เมื่อแทนค่า } e \text{ ได้ } h = 6.2 \times 10^{-34} \text{ จูลวินาที}$$

### 2.3 หัววัดรังสีชนิดโฟโตไดโอด SXUV HS5 Si/Zr

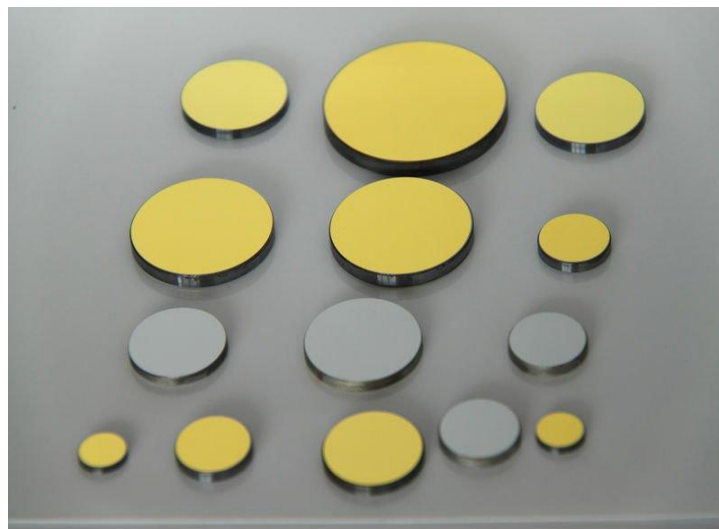
หัววัดรังสีชนิดโฟโตไดโอด SXUV HS5 Si/Zr เป็นหัววัดรังสีที่เคยมีการพัฒนามาแล้วในการพัฒนาประสิทธิภาพเพื่อให้มีความสามารถที่ใช้ตอบสนองเฉพาะช่วงความยาวคลื่น 11 นาโนเมตร ถึง 18 นาโนเมตร ที่งานวิทยานิพนธ์นี้ได้นำมาใช้ในการเปรียบเทียบประสิทธิภาพกับหัววัดรังสีเอกซ์ที่ริมอัลตราไวโอเล็ตที่มีช่วงการทำงานที่สามารถตรวจจับรังสีที่มีความยาวคลื่นในช่วง 13.5 นาโนเมตร



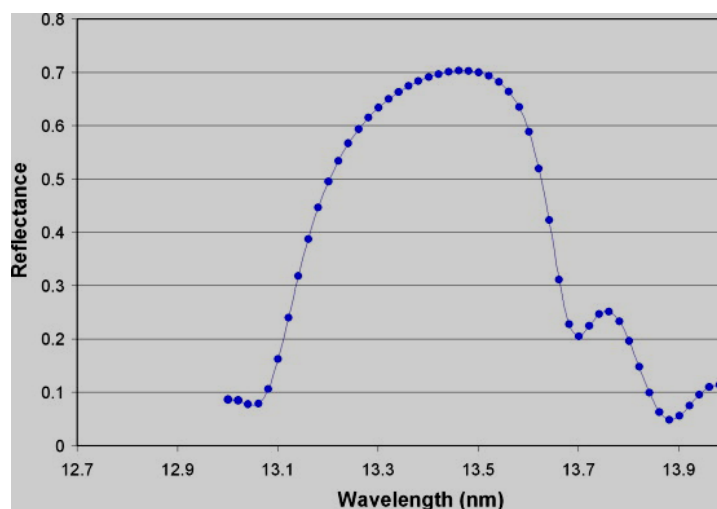
ภาพที่ 2.3.1 กราฟแสดงค่าการทำงานของหัววัดรังสีชนิดโฟโตไดโอด SXUV HS5 Si/Zr. [8]

## 2.4 กระจกเคลือบฟิล์มบางซิลิคอนโมลิบดีนัม (Si/Mo)

กระจกซิลิคอนโมลิบดีนัมที่มีการผลิตที่ใช้ทางด้านสะท้อนแสงชนิดต่างๆ นี้เราสามารถนำมาใช้เป็นตัวกรองแสงให้สะท้อนเฉพาะช่วงของพลังงานแสงที่ต้องการมาใช้เท่านั้น ซึ่งด้วยคุณสมบัติของกระจกเคลือบฟิล์มบางซิลิคอนโมลิบดีนัม ชนิดนี้วิทยาลัยเทคนิคนี้ต้องการที่จะนำมาใช้เป็นตัวตัดกรองช่วงความยาวคลื่นแสงที่ 13.5 นาโนเมตร เท่านั้นเพื่อใช้ในการเพิ่มประสิทธิภาพในการตอบสนองของหัววัดรังสีเอกซ์ที่รีโมอัลตราไวโอเล็ตที่สร้างขึ้นให้ดีที่สุด



ภาพที่ 2.4.1 กระจกเคลือบฟิล์มบางซิลิคอนโมลิบดีนัม (Si/Mo) [9]



ภาพที่ 2.4.2 กราฟแสดงช่วงการทำงานของกระจกเคลือบฟิล์มบางซิลิคอนโมลิบดีนัม [9]

## บทที่ 3

### วิธีดำเนินการวิจัย

#### 3.1 อุปกรณ์ที่ใช้ในการทดลอง

- 3.1.1 หัววัดรังสีที่สร้างจากโลหะบริสุทธิ์ อะลูมิเนียม เงิน เหล็ก และทองแดง (pure material Al, Ag, Fe, Cu.)
- 3.1.2 ท่อสแตนเลส (stainless chamber)
- 3.1.3 ระบบสุญญากาศ (vacuum system)
- 3.1.4 ปั๊มสุญญากาศสูง (high vacuum pump)
- 3.1.5 แหล่งจ่ายแรงดันไฟฟ้า (power supply )
- 3.1.6 เครื่องวัดกระแสไฟฟ้า พิคโคแอมป์มิเตอร์ (picco-ometer)
- 3.1.7 ศูนย์วิจัยแสงซินโครตรอน สถานีทดลอง BL3.2.a (PES)
- 3.1.8 อุปกรณ์อิเล็กทรอนิกส์ต่างๆ
- 3.1.9 หัววัดรังสีชนิดโฟโตไดโอด SXUV HS5 Si/Zr

#### 3.2 ศูนย์วิจัยแสงซินโครตรอนแห่งชาติ ข้อมูลด้านเทคนิค

แสงซินโครตรอน คือ อนุภาคของประจุเคลื่อนที่ด้วยความเร่งจะทำให้มีการปลดปล่อยพลังงานคลื่นแม่เหล็กไฟฟ้าออกมาในรูปของรังสีแสงซึ่งรังสีนี้มีคุณสมบัติหลายอย่างทำให้กลายเป็นอุปกรณ์สำคัญที่สามารถนำไปใช้งานวิจัยทางวิทยาศาสตร์อย่างกว้างขวางคุณสมบัติทั้งหมดนี้คือ

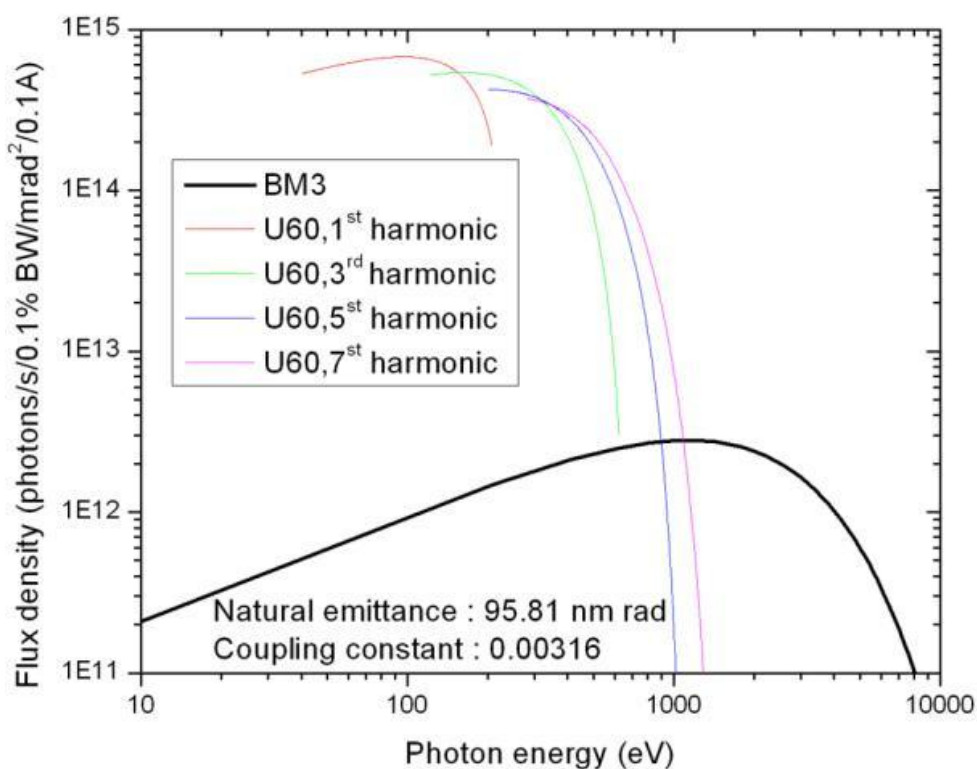
- 3.2.1 มีสเปกตรัมต่อเนื่อง(continuous spectrum) แสงซินโครตรอนถูกปล่อยออกมาในย่านพลังงานต่อเนื่องตั้งแต่ย่านอินฟราเรด(infrared) จนถึงเอกซ์เรย์(x-rays) และโดยการให้อนุภาคเคลื่อนที่ผ่านสนามแม่เหล็กจากอุปกรณ์ที่เรียกว่า อันดูลเลเตอร์(undulator) สเปกตรัมของแสงซินโครตรอนที่ได้จะมีลักษณะที่ประกอบด้วยชุดแถบแสงที่มีย่าน

พลังงานแคบๆ ซึ่งเมื่อเปลี่ยนค่าสนามแม่เหล็กพลังงานของแถบแสงซินโครตรอนจะเปลี่ยนอย่างต่อเนื่อง

- 3.2.2 มีความเข้มสูงมาก(high intensity) แสงซินโครตรอนเป็นแสงที่มีความเข้มสูงโดยเฉพาะแสงจาก อัญมณีเตอร์ ซึ่งมีความเข้มสูงกว่าแสงจากแม่เหล็กเลี้ยวเบน(bending magnet) ระดับหมื่นเท่า
- 3.2.3 มีความคมสูง(high collimated) แสงซินโครตรอนถูกส่งออกมาเป็นลำเล็กๆ ในแนวสัมผัสกับทิศทางการเคลื่อนที่ของอนุภาค ซึ่งขนาดลำแสงเล็กประกอบกับมีความเข้มสูงทำให้แสงซินโครตรอนมีคุณสมบัติเชิงปริมาณ(brilliance) สูงมาก
- 3.2.4 มีลักษณะเป็นพัลส์(pulse) แสงซินโครตรอนถูกปลดปล่อยออกมาในลักษณะเป็นพัลส์สั้นๆ น้อยกว่าหนึ่งในล้านวินาที ดังนั้นแสงนี้ถูกใช้ในการทดลองที่ระบบการตรวจวัดมีความละเอียดในการวัดช่วงเวลาต่ำ(low time resolution) ความเข้มแสงจึงมีลักษณะคงที่ไม่เปลี่ยนแปลงตามเวลา
- 3.2.5 เป็นแสงที่มีคุณสมบัติเชิงปริมาณ(brilliance) ของสเปกตรัมแสงซินโครตรอนนั้นสามารถรู้ค่าได้แน่นอนโดยการคำนวณทางทฤษฎี แสงซินโครตรอนจึงสามารถนำไปใช้ในการทดลองโดยมีค่าความเข้มที่มาตรฐานตลอดย่านพลังงานที่ได้
- 3.2.6 เป็นแสงที่โพลาไรซ์(polarized light) แสงซินโครตรอนจากแม่เหล็กเลี้ยวเบน(bending magnet) เป็นแสงโพลาไรซ์แบบระนาบที่มีทิศทางของสนามไฟฟ้าขนานกับระนาบของแนวการเคลื่อนที่ของอนุภาค
- 3.2.7 เป็นแหล่งกำเนิดแสงที่มีความปนเปื้อนต่ำ(clean environment) เนื่องจากแหล่งกำเนิดแสงซินโครตรอนทำงานในระบบที่เกือบเป็นสุญญากาศ(ความดันประมาณ  $10^{-10}$  Torr) ทำให้แสงที่ได้มีการปนเปื้อนจากรังสีอื่นๆ ที่ไม่ต้องการน้อยมาก [10]

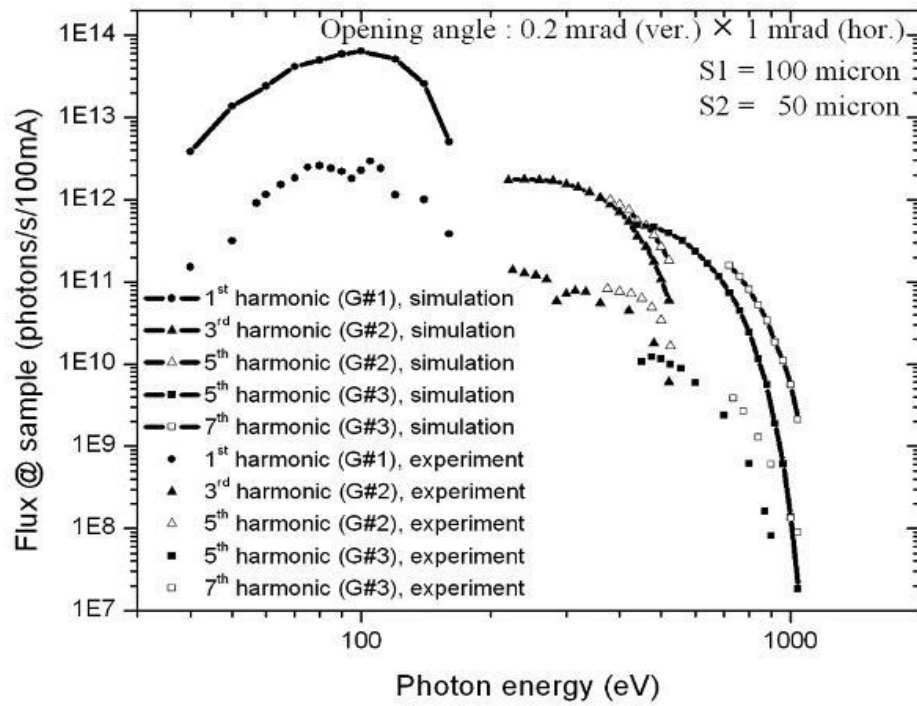
### 3.3 เทคนิคที่ใช้แสงซินโครตรอน

ในการทำการทดลองในวิทยานิพนธ์นี้คือเทคนิคทางด้าน photoemission spectroscopy (PES) เพื่อการประยุกต์ใช้งานศึกษาการทดสอบประสิทธิภาพของวัสดุ ซึ่งในระบบการลำเลียงแสงของสถานีนี้สามารถใช้งานได้หลากหลายด้านเนื่องจากมีคุณสมบัติที่ครอบคลุมงานด้านวัสดุศาสตร์โครงสร้างของวัสดุทางด้านอิเล็กทรอนิกส์ด้วย ซึ่งจะมีช่วงการให้พลังงานที่มีความเข้มสูงมากจะแสดงในรูปของฟลักซ์ ดังแสดงในภาพที่ 3.3.1



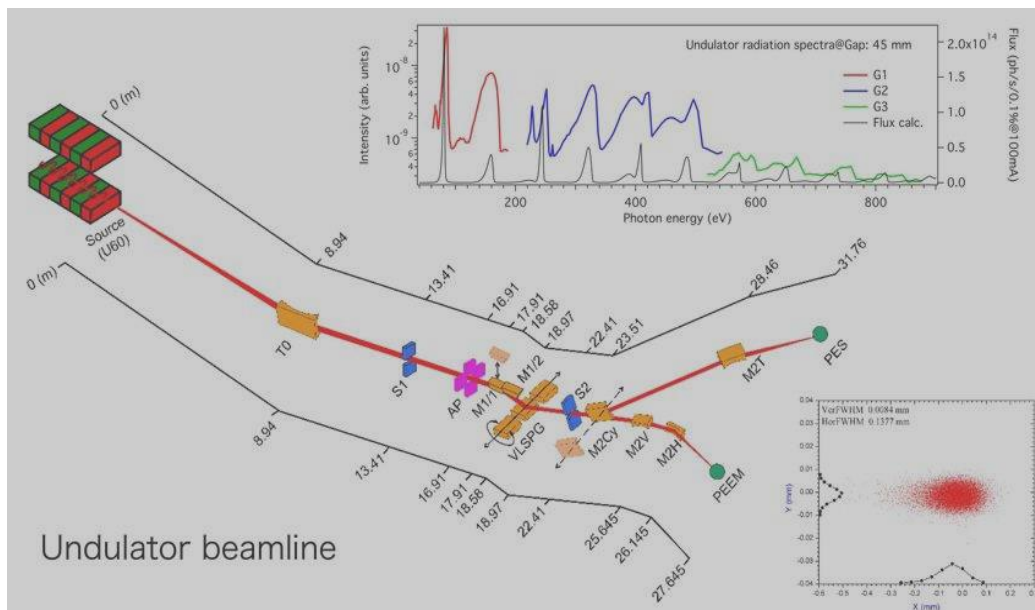
ภาพที่ 3.3.1 โฟตอนฟลักซ์ที่ตำแหน่งตัวอย่าง [10]

ผลการทดลองของจำนวนโฟตอนฟลักซ์ที่ตำแหน่งตัวอย่าง  $1.0 \times 10^{10}$  โฟตอนต่อวินาทีต่อ 100 มิลลิแอมป์ ซึ่งเป็นวิธีการทดสอบค่าของกระแสของจำนวนโฟตอนนั้นที่สถานีการทดลองที่สามารถปล่อยแสงออกมา ณ ช่วงของค่าพลังงานที่กำหนดซึ่งต้องอยู่ในรูปแบบและเป็นมาตรฐานของระบบลำเลียงที่กำหนดไว้



ภาพที่ 3.3.2 แสดงช่วงพลังงานของโฟตอน [10]

ผลการทดสอบของช่วงพลังงานโฟตอนที่สถานีการทดลองสามารถให้พลังงานได้ตั้งแต่ช่วง 40 อิเล็กตรอนโวลต์ (eV) ถึง 160 อิเล็กตรอนโวลต์ และตั้งแต่ช่วง 220 อิเล็กตรอนโวลต์ ถึง 1040 อิเล็กตรอนโวลต์ ดังแสดงในภาพที่ 3.3.2



ภาพที่ 3.3.3 แสดงระบบลำเลียงแสง(Undulator beamline) ของสถานีทดลองซินโครตรอน [10]

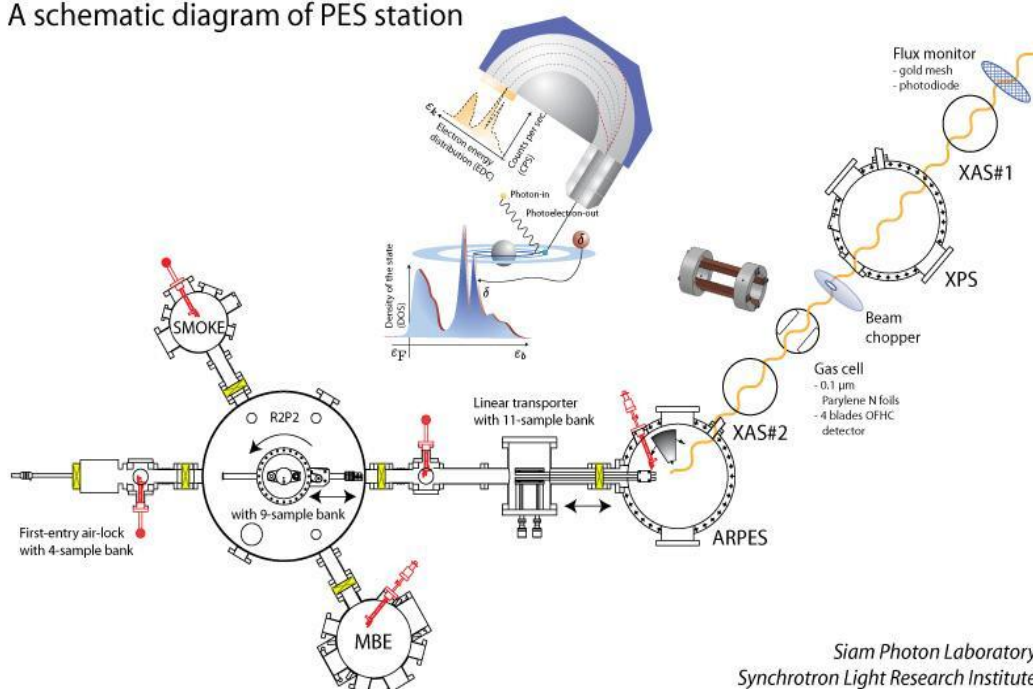
### 3.4 เครื่องมือในสถานีทดลองด้าน photoemission spectroscopy (PES)

- 3.4.1 สถานีทดลองด้าน photoemission spectroscopy (PES) ประกอบไปด้วยถังสุญญากาศ สำหรับการวิเคราะห์โฟโตอิเล็กตรอนการเตรียมตัวอย่างระบบส่งต่อตัวอย่างการปลูกฟิล์มบาง(MBE) และการวัดความเป็นแม่เหล็ก(SMOKE)
- 3.4.2 ถังสุญญากาศสำหรับการวิเคราะห์โฟโตอิเล็กตรอน นั้นมีเครื่องมือวิเคราะห์พลังงานของอิเล็กตรอนแบบ angle-resolved (Thermo VG Scientific, ARUPS10) และ angle-integral(Thermo VG Scientific, Alpha110) อีกทั้งยังมีปืนยิงอิเล็กตรอนพลังงาน 5 กิโลอิเล็กตรอนโวลต์ ใช้สำหรับเทคนิค AES และพลังงาน 1 กิโลอิเล็กตรอนโวลต์ สำหรับเทคนิค LEED
- 3.4.3 ถังสุญญากาศสำหรับการเตรียมตัวอย่าง อยู่ด้านบนของถังสุญญากาศสำหรับการวิเคราะห์โฟโตอิเล็กตรอนซึ่งสามารถทำการสับเตอร์ด้วยไอออนอาร์กอนด้วยปืนยิงไอออนที่มีพลังงาน 3 กิโลอิเล็กตรอนโวลต์ และสามารถให้ความร้อนกับตัวอย่างด้วย electron-bombardment heater โดยมีอุณหภูมิสูงสุดที่ 1400 เคลวิน ในการเปลี่ยนตำแหน่งของตัวอย่างใช้ temperature-controlled manipulator ของOMNIAX โดยสามารถควบคุมอุณหภูมิได้ต่ำสุดที่120 เคลวิน โดยใช้ไนโตรเจนเหลว
- 3.4.4 ถังสุญญากาศสำหรับปลูกฟิล์มบางประกอบไปด้วย effusion cell และ e-beam evaporatorในการเปลี่ยนตำแหน่งของตัวอย่างใช้ temperature-controlled manipulator โดยสามารถควบคุมอุณหภูมิได้สูงสุดที่ 1400 เคลวิน และ RHEED optics ที่ใช้พลังงานอิเล็กตรอน 15 กิโลอิเล็กตรอนโวลต์
- 3.4.5 ถังสุญญากาศสำหรับการวัดความเป็นแม่เหล็กประกอบไปด้วย ฮีเลียม-นีออน เลเซอร์ โฟลาโรเซอร์ โดยสามารถปรับค่าสนามแม่เหล็กได้สูงสุดที่ 1600 เกาส์ ในการเปลี่ยนตำแหน่งของตัวอย่างใช้ temperature-controlled manipulator ของ OMNIAX โดยสามารถควบคุมอุณหภูมิได้ต่ำสุดที่ 120 เคลวิน โดยใช้ไนโตรเจนเหลว [10]

### 3.5 เครื่องมือในสถานีดทดลองด้าน photoemission spectroscopy (PES)

สถานีดทดลองด้าน PES ประกอบไปด้วย เครื่องมือวิเคราะห์พลังงานของอิเล็กตรอนแบบ angle-integral (Thermo VG Scientific, CLAM2) และสามารถทำการสปีดเตอร์ด้วยไอออนอาร์กอนด้วยปืนยิงไอออนที่มีพลังงาน 3 กิโลอิเล็กตรอนโวลต์ [11]

A schematic diagram of PES station



ภาพที่ 3.5.1 แสดงระบบการทำงานของสถานีดทดลองทางด้าน Photoelectron Emission Spectroscopy (PES)[11]

### 3.6 ตัวอย่างงานวิจัยของสถานีดทดลอง Photoelectron Emission Spectroscopy (PES)

นวัตกรรมหรือเทคโนโลยีสมัยใหม่ล้วนเกิดขึ้นจากการสำรวจและค้นพบทางวิทยาศาสตร์ อุปกรณ์อิเล็กทรอนิกส์สมัยใหม่ได้พยายามพัฒนามาจากสารกึ่งตัวนำที่เป็นผลึกเดี่ยวที่สมบูรณ์มีความเป็นผลึกสูงเพื่อต่อต้านการควบคุมพฤติกรรมของอิเล็กตรอนในระดับอะตอม อีกทั้งอุปกรณ์เพื่อใช้เป็นหัวอ่านและเซนเซอร์ที่มีความหนาแน่นความเป็นแม่เหล็กสูง ที่ได้พัฒนามาจากฟิล์มบางหลายชั้นที่เกิดจากวัสดุที่เป็นแม่เหล็กและไม่เป็นแม่เหล็ก ในการก้าวข้ามข้อจำกัดของอุปกรณ์เหล่านี้ เทคนิค PES คือกุญแจสำคัญในการค้นหาและทำความเข้าใจพฤติกรรมของอิเล็กตรอนในสสารทั้งในมิติของพลังงานและโมเมนตัม [11]

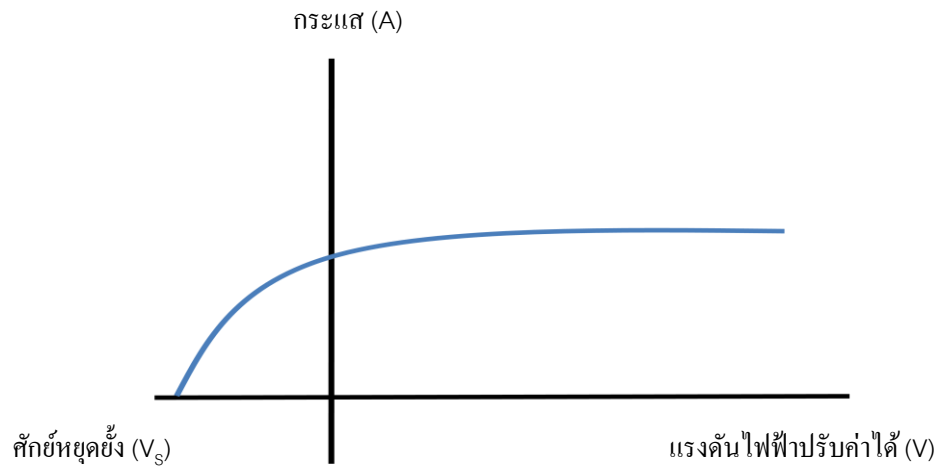


### 3.7 วิธีการทดลอง

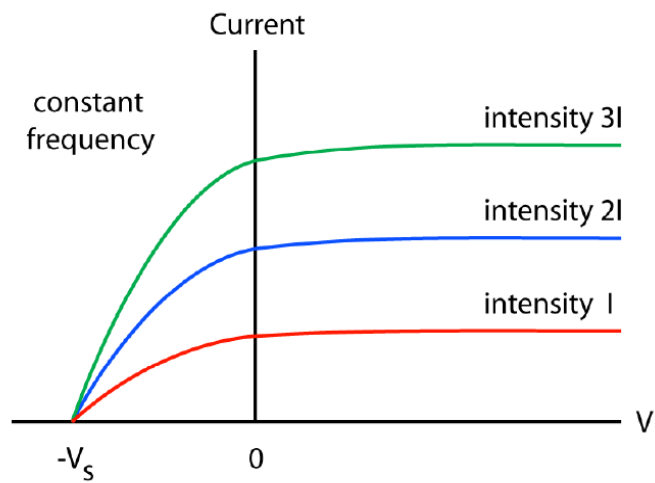
วิทยานิพนธ์นี้ได้สร้างหัววัดรังสีเอกซ์ทริมัลตราไวโอเล็ตโดยใช้ปรากฏการณ์โฟโตอิเล็กทริก (photoelectric effect) เพื่อให้ระบบของการวัดของหัววัดรังสี วัดได้ที่มีความยาวคลื่น 13.5 นาโนเมตร ซึ่งปรากฏการณ์โฟโตอิเล็กทริก คือ ปรากฏการณ์ที่อิเล็กตรอนในอะตอมของสสารถูกปลดปล่อยออกมาเมื่อได้รับรังสีต่างๆ เช่นคลื่นรังสีเอกซ์ทริมัลตราไวโอเล็ต รังสีเอกซ์ อิเล็กตรอนที่หลุดออกมา เรียกว่า โฟโตอิเล็กตรอน (photoelectron) ปรากฏการณ์นี้เกิดขึ้นเมื่อมีคลื่นแม่เหล็กไฟฟ้าที่มีความถี่สูงกว่าค่าความถี่ขีดเริ่มของโลหะ วัสดุที่ใช้ในการทดลอง มาตकर्ทบบนผิววัสดุดังกล่าว โดยที่พลังงานของโฟตอนถูกดูดกลืนและทำให้อิเล็กตรอนถูกปลดปล่อยออกมาซึ่งสังเกตได้จากมีอิเล็กตรอนเริ่มหลุดออกมาก็จะทำให้มีกระแสไฟฟ้าเกิดขึ้น หากรังสีที่ตกกระทบมีความถี่ต่ำกว่าค่าความถี่ขีดเริ่มของโลหะ จะไม่ทำให้เกิดโฟโตอิเล็กตรอนได้ ไม่ว่าจะความเข้มของคลื่นแสงจะมีค่าสูงมาก ต้องการพลังงานที่มากพอที่จะทำให้ชนะพลังงานยึดเหนี่ยวอิเล็กตรอนของผิวโลหะซึ่งเรียกว่า ฟังก์ชันงาน (work function) ซึ่งในการเลือกชนิดของโลหะจึงต้องพิจารณาจากค่าของฟังก์ชันงานของโลหะเป็นหลักที่สำคัญมาก

ตารางที่ 3.7.1 แสดงค่าฟังก์ชันงานของโลหะที่ใช้ในการทดลอง

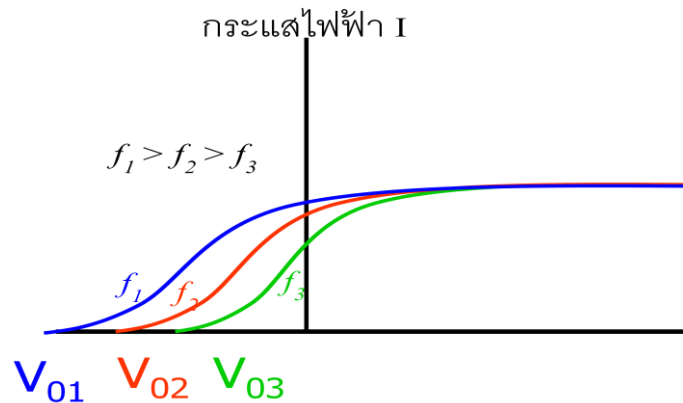
ชนิดโลหะ	ฟังก์ชันงาน (eV)
อะลูมิเนียม (Al)	4.08
เหล็ก(Fe)	4.50
ทองแดง (Cu)	4.70
เงิน (Ag)	4.73



ภาพที่ 3.7.1 กราฟแสดงความสัมพันธ์ระหว่าง โวลต์ กับ กระแสคงที่เพิ่มขึ้น แต่ความต่างศักย์หยุดยั้งเท่าเดิม [12]



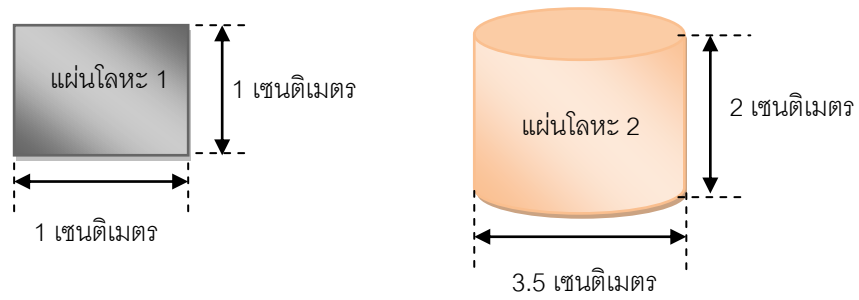
ภาพที่ 3.7.2 กราฟที่แสงความถี่เดียวกัน แต่ความเข้มแสงมากขึ้นจะได้กระแสคงที่เพิ่มขึ้น แต่ความต่างศักย์หยุดยั้งเท่าเดิม แสดงว่าอิเล็กตรอนไม่ได้มีพลังงานจลน์เพิ่มขึ้น [12]



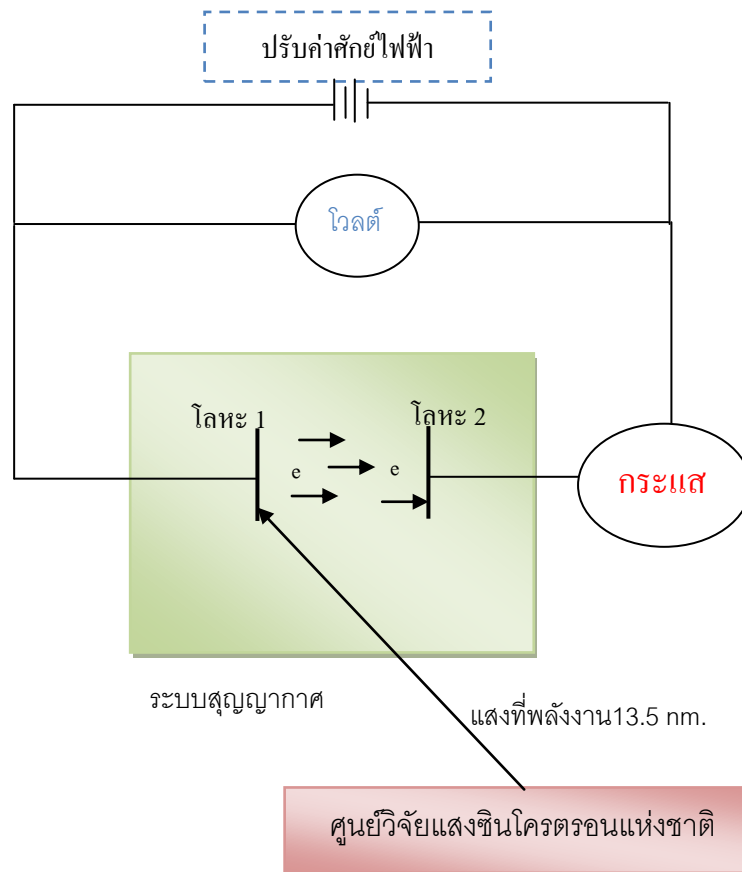
ภาพที่ 3.7.3 กราฟแสดงถ้าให้แสงความถี่ต่างกัน ที่มีความเข้มเท่ากันจะได้ว่ายิ่งความถี่สูงขึ้นได้ค่าความต่างศักย์หยุดยั้งมากที่สุดแสดงว่าพลังงานจลน์ของอิเล็กตรอนขึ้นกับความถี่ของแสง [12]

### 3.8 ขั้นตอนการทดลอง

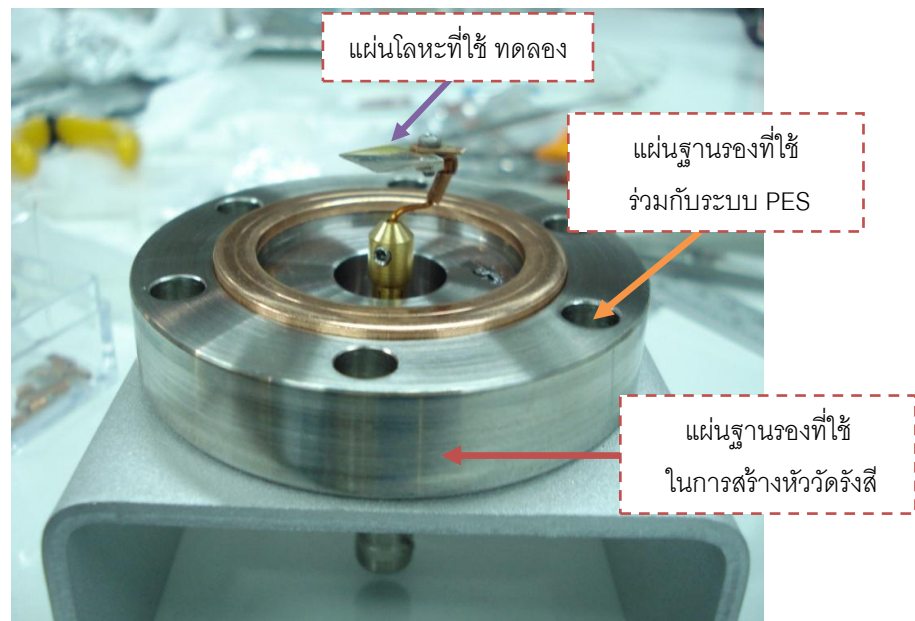
ในการทดลองนี้จะใช้โลหะ 4 ชนิดคือ เงิน ทองแดง เหล็กและอะลูมิเนียม ที่มีค่าฟังก์ชันงานเหมาะสมกับการสะท้อนรังสีในย่าน 13.5นาโนเมตร ซึ่งในการทดลองจะต้องใช้โลหะบริสุทธิ์ (pure metal) ให้มีขนาดกว้าง 1เซนติเมตร ยาว 1 เซนติเมตร จากนั้นนำไปขัดผิวหน้าของโลหะให้มีความเรียบมากที่สุด และทำความสะอาดก่อนนำเข้าท่อสแตนเลสจากนั้นต่อเข้ากับระบบจ่ายแรงดันไฟฟ้าที่สามารถปรับระดับได้ 0โวลต์ ถึง 35โวลต์ และต่อค่าการวัดกระแสให้อ่านโดย พิคโคแอมป์มิเตอร์ (picco-ammeter) และทำการสูบอากาศออก ซึ่งต้องทำการเช็คครอยรั่วของอากาศ จากนั้นทำการยิงแสงที่พลังงานที่ 12นาโนเมตร 13.5นาโนเมตร และที่ 15นาโนเมตร จากห้องปฏิบัติการศูนย์วิจัยแสงซินโครตรอนซึ่งในขั้นตอนนี้หัวหน้าปฏิบัติการจะทำการควบคุมตลอดเวลาขณะทำการทดลองขั้นตอนในการทดลองทั้ง 4 ชนิด ดังภาพที่ 3.8.2 ต่อไปนี้



ภาพที่ 3.8.1 การออกแบบและการสร้างการทดสอบประสิทธิภาพของโลหะทั้ง 4 ชนิด



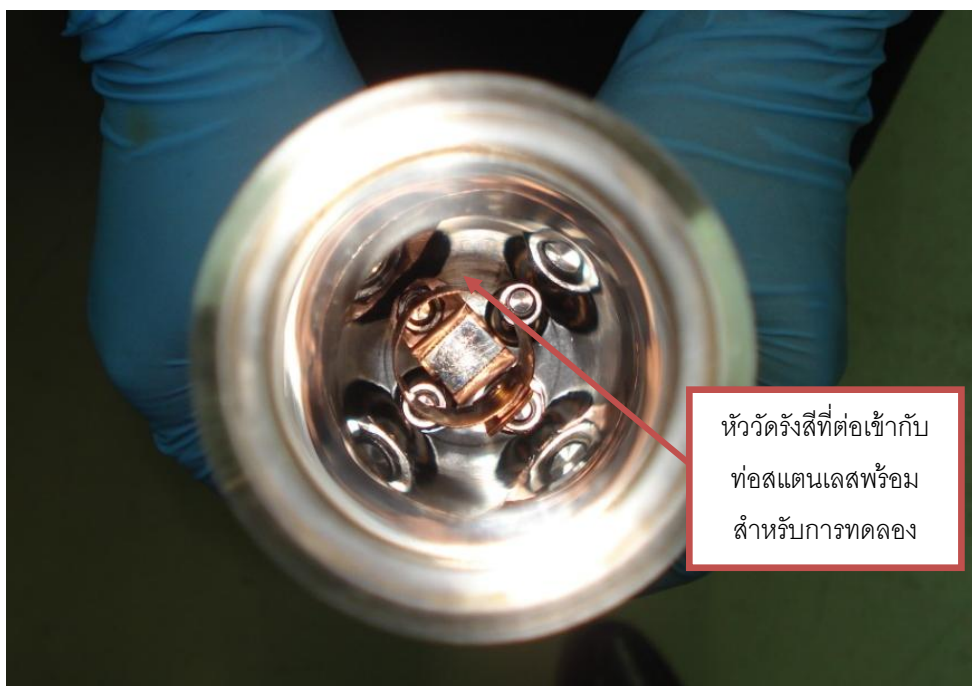
ภาพที่ 3.8.2 การทดสอบประสิทธิภาพของโลหะโดยใช้หลักการโฟโตอิเล็กทริก



ภาพที่ 3.8.3 แสดงการสร้างการทดสอบประสิทธิภาพของโลหะทั้ง 4 ชนิด



ภาพที่ 3.8.4 แสดงการสร้างหัววัดรังสีโดยใช้โลหะทั้ง 4 ชนิดในการทดสอบประสิทธิภาพของโลหะ

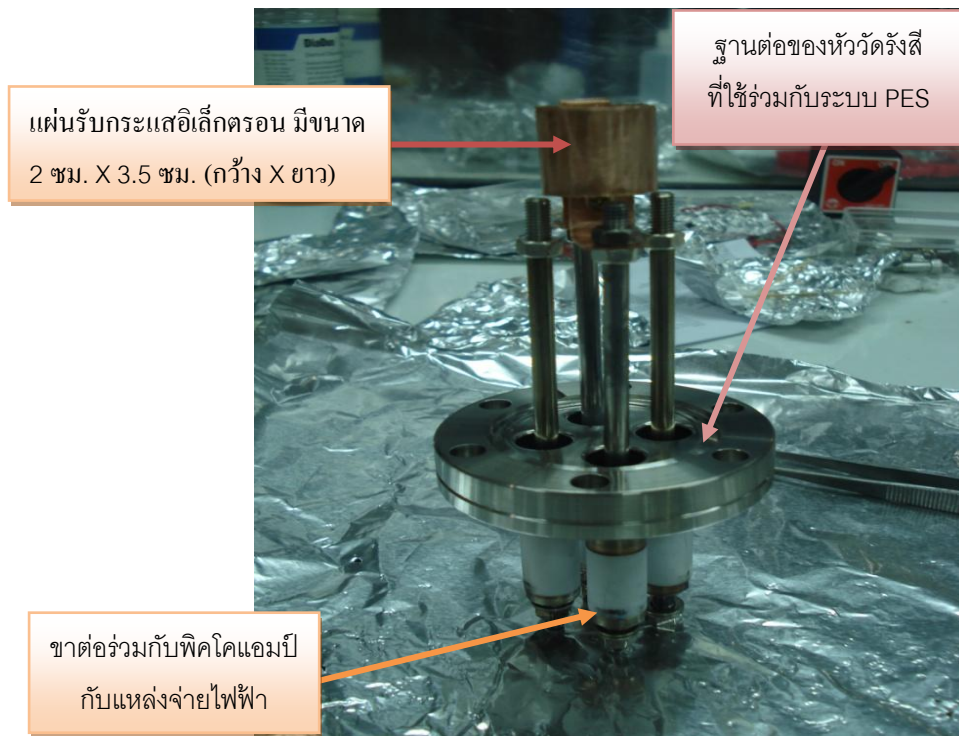


หัววัดรังสีที่ต่อเข้ากับ  
ท่อสแตนเลสพร้อม  
สำหรับการทดลอง

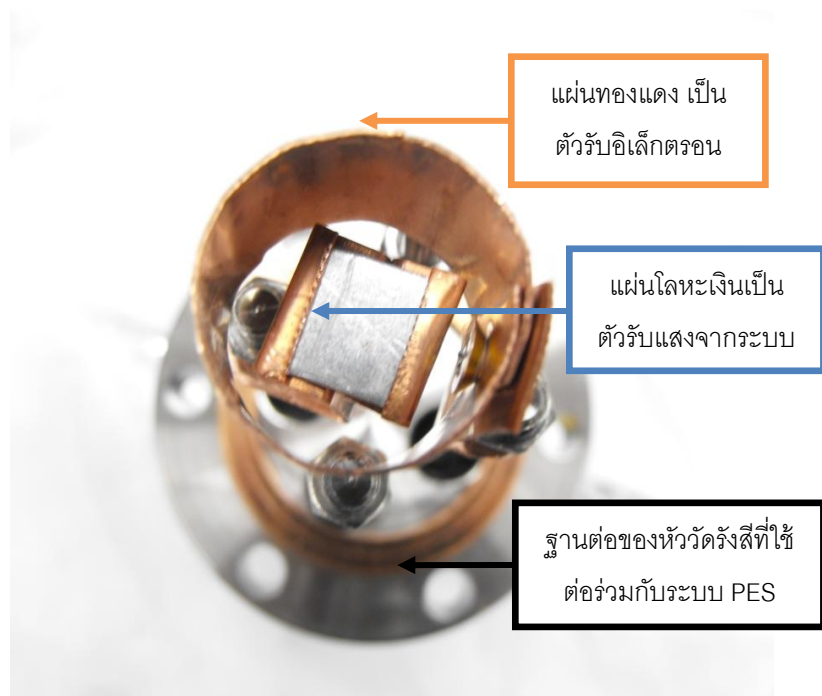
ภาพที่ 3.8.5 แสดงภาพหัววัดรังสีที่สร้างจากโลหะเงิน

### 3.8.1 วิธีการทดลองการทดสอบประสิทธิภาพของโลหะทั้ง 4 ชนิด เงิน ทองแดง เหล็ก และอะลูมิเนียม

การทดสอบประสิทธิภาพของโลหะโดยการต่อวงจรดังภาพที่ 3.3.1 ใช้โลหะ เงิน อะลูมิเนียม เหล็กและทองแดง ที่มีค่าฟังก์ชันงานที่เหมาะสมกับช่วงความยาวคลื่นที่ 13.5 นาโนเมตร และใช้ท่อระบบสุญญากาศ ใช้แหล่งจ่ายไฟเพื่อปรับแรงดันไฟฟ้าที่ 0 โวลต์ถึง 35 โวลต์ จากนั้นใช้แสงจากศูนย์วิจัยแสงซินโครตรอนเป็นแหล่งกำเนิดแสงในช่วงความยาวคลื่น 13.5 นาโนเมตร 12 นาโนเมตร 15 นาโนเมตร และใช้พิคโคแอมป์มิเตอร์ (piccoameter) เป็นตัวจับสัญญาณของกระแสอิเล็กตรอนที่หลุดออกมาจากแผ่นโลหะทั้ง 4 ชนิด



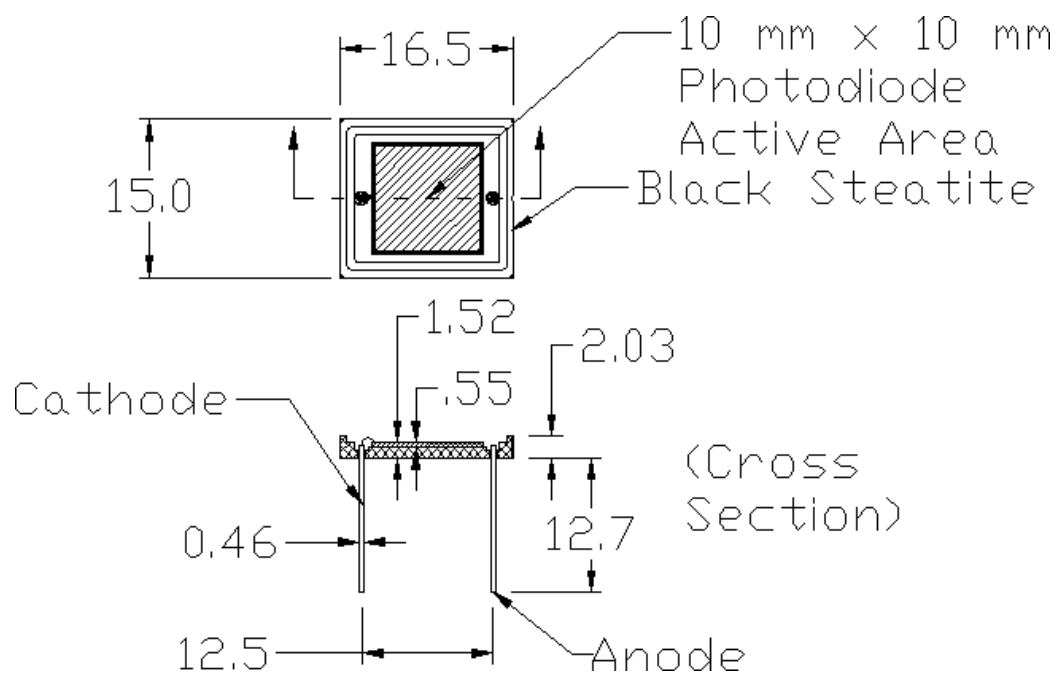
ภาพที่ 3.8.6 แสดงภาพหัววัดรังสีเอกซ์ที่ริมอัลตราไวโอเล็ตที่ใช้ทดสอบประสิทธิภาพ



ภาพที่ 3.8.7 แสดงภาพหัววัดรังสีเอกซ์ที่ริมอัลตราไวโอเล็ตที่สร้างจากโลหะเงิน

### 3.9 การเปรียบเทียบประสิทธิภาพของหัววัดรังสีเอกซ์ทริมอัลตราไวโอเล็ตกับหัววัดรังสีชนิดโฟโตไดโอด SXUV HS5 Si/Zr

เพื่อใช้หาประสิทธิภาพการวัดของหัววัดรังสีเอกซ์ทริมอัลตราไวโอเล็ตจึงได้นำหัววัดรังสีชนิดโฟโตไดโอด SXUV HS5 Si/Zr ที่เคยมีงานวิจัยในด้านการวัดรังสีเอกซ์ทริมอัลตราไวโอเล็ตนี้ มาทำการทดสอบประสิทธิภาพกับแสงที่ใช้ในการทดลองเหมือนกับหัววัดรังสีเอกซ์ทริมอัลตราไวโอเล็ต จากนั้นนำผลการทดสอบมาเปรียบเทียบคุณสมบัติทางด้านการทำงานว่าหัววัดรังสีเอกซ์ทริมอัลตราไวโอเล็ตที่สร้างขึ้นกับหัววัดรังสีชนิดโฟโตไดโอด SXUV HS5 Si/Zr จะเห็นถึงความแตกต่าง ซึ่งการเปรียบเทียบนี้สามารถนำช่วงการทำงานที่สามารถตรวจจับรังสีที่มีความยาวคลื่นในช่วง 13.5นาโนเมตร มาเปรียบเทียบกันดังภาพที่ 3.5.2 นี้



ภาพที่ 3.9.1 ผังการทำงานของหัววัดรังสีชนิดโฟโตไดโอด SXUV HS5 Si/Zr. [13]



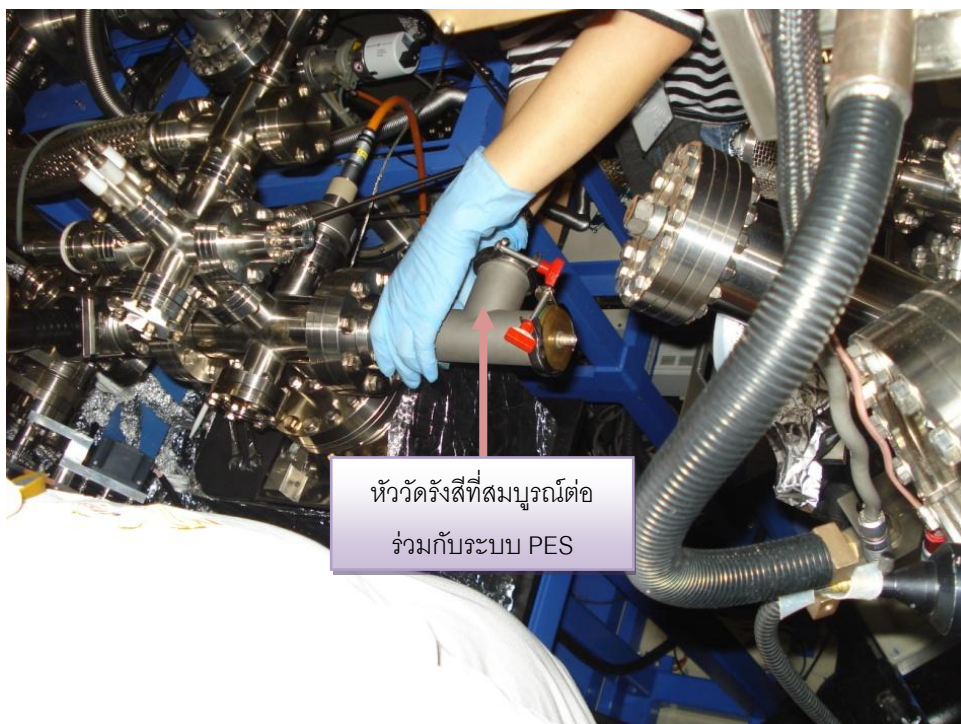


ภาพที่ 3.9.2 แสดงหัววัดรังสีชนิดโฟโตไดโอด SXUV HS5 Si/Zr. [13]



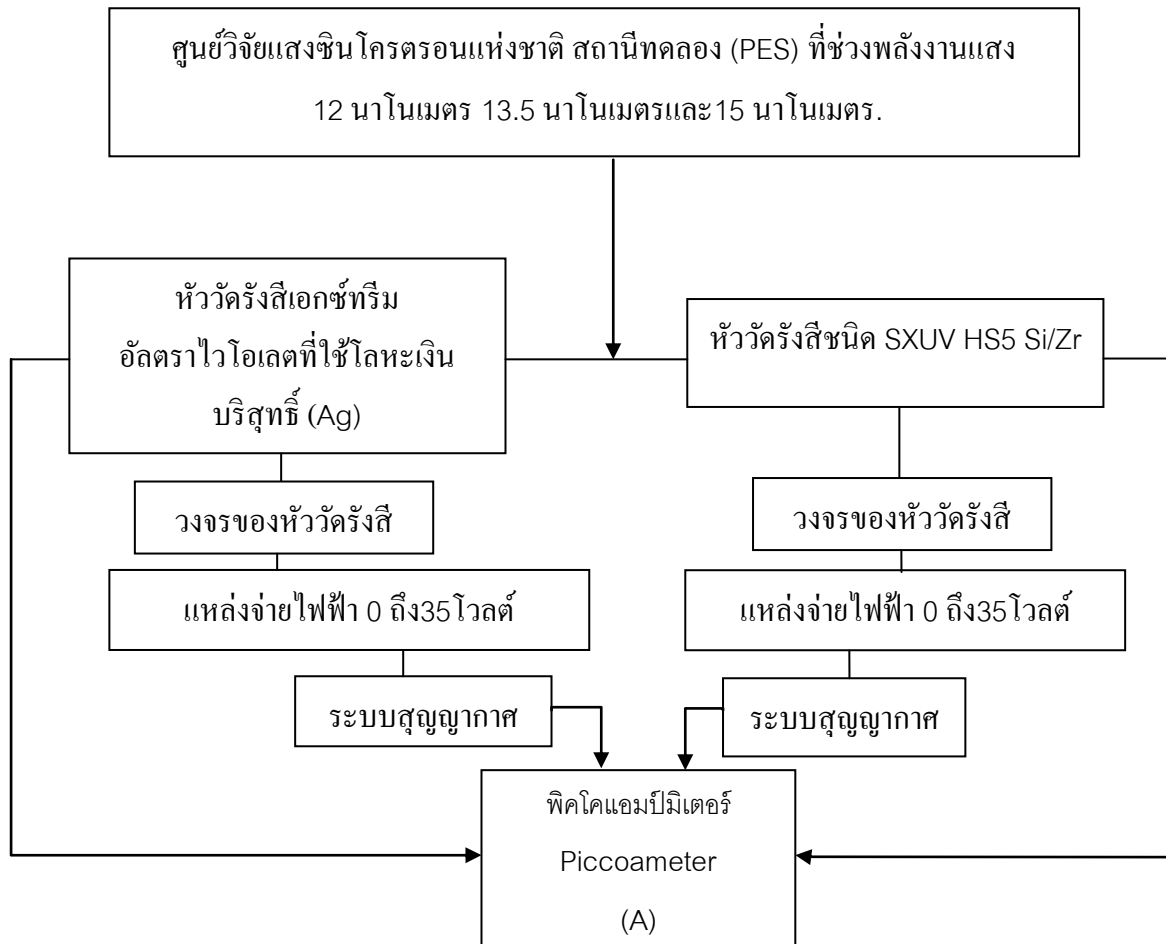
ภาพที่ 3.9.3 แสดงฐานของหัววัดรังสีชนิดโฟโตไดโอด SXUV HS5 Si/Zr. [13]

การทดสอบประสิทธิภาพของหัววัดรังสีที่สร้างขึ้นนำมาเปรียบเทียบกับหัววัดรังสีที่มีการพัฒนา  
มาแล้วโดยนำมาสอบเทียบกับแสงซินโครตรอนดังแสดงในภาพที่ 3.9.2



ภาพที่ 3.9.4 แสดงการทดสอบประสิทธิภาพของหัววัดรังสี SXUV HS5 Si/Zr  
ต่อเข้ากับระบบลำเลียงแสง

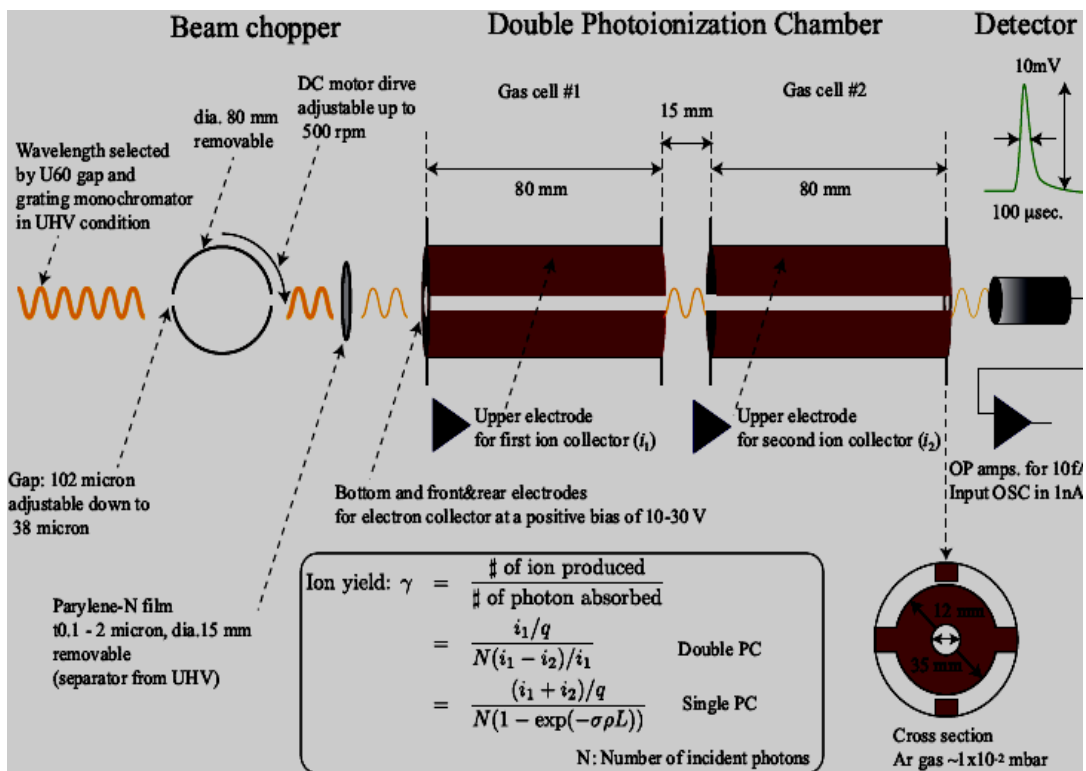
### 3.9.1 แผนผังการทดสอบประสิทธิภาพของหัววัดรังสี



ภาพที่ 3.9.5 แสดงหลักการทำงานของหัววัดรังสีเอกซ์ทริมอัลตราไวโอเล็ต  
กับหัววัดรังสีชนิดโฟโตไดโอด SXUV HS5 Si/Zr.

## บทที่ 4 ผลการทดลอง

การทดสอบประสิทธิภาพของหัววัดรังสีเอกซ์ทริมอัลตราไวโอเล็ตที่สร้างขึ้นนั้นจะแบ่งออกเป็น 2 ส่วนคือ การทดสอบประสิทธิภาพของโลหะเพื่อเลือกใช้โลหะที่มีความเหมาะสมมากที่สุดที่จะนำไปสร้างหัววัดรังสีเอกซ์ทริมอัลตราไวโอเล็ตโดยการทดสอบโลหะที่บริสุทธิ์ทั้ง 4 ชนิดคือ ทองแดง(Cu) เงิน(Ag) อะลูมิเนียม(Al) และเหล็ก(Fe) โดยใช้หลักของปรากฏการณ์โฟโตอิเล็กทริกในการทดสอบประสิทธิภาพโดยใช้แสงจากศูนย์วิจัยแสงซินโครตรอนเป็นแหล่งกำเนิดแสงในการทดลอง และการทดสอบหัววัดรังสีเอกซ์ทริมอัลตราไวโอเล็ตที่สร้างขึ้นแล้วทำการทดสอบเพื่อเปรียบเทียบประสิทธิภาพกับหัววัดรังสีชนิดโฟโตไดโอด SXUV HS5 Si/Zr ที่ใช้ทดสอบกับรังสีช่วงความยาวคลื่นครอบคลุม 13.5นาโนเมตร และใช้ร่วมกับกระชิลิคอนโมลิบดีนัม



ภาพที่ 4.1 แสดงภาพของหลักการคำนวณจำนวนของโฟตอนที่ออกมาจากระบบของ ศูนย์วิจัยแสงซินโครตรอน [14]

คุณสมบัติของแสงจากทางระบบของสถานีทดลอง PES สำหรับการให้แสงสำหรับผู้ให้แสง

- ให้พลังงานช่วงพลังงานโฟตอน: 40 – 160, 220 – 1040 อิเล็กตรอนโวลต์
- แหล่งกำเนิดแสง: A planer hallback-type undulator (Danfysik)
- สนามแม่เหล็ก: 0.5467 เทสลา ที่ระยะห่างระหว่างขั้วแม่เหล็ก 26.5 มิลลิเมตร
- จำนวนคาบ: 41
- คาบอันดุเลเตอร์: 60 มิลลิเมตร
- ความยาวของอันดุเลเตอร์: 2.460 เมตร
- ขนาดของลำแสง 0.3 มิลลิเมตร (สูง) x 0.1 มิลลิเมตร (กว้าง) ที่ตำแหน่ง ARPES
- ชนิดของโมโนโครเมเตอร์: เกรตติงแบบแปรเปลี่ยนระยะห่างระหว่างร่อง
- ขนาดของตัวอย่าง: < 8 มิลลิเมตร x 8 มิลลิเมตร x 1 มิลลิเมตร (กว้าง x ยาว x สูง) สำหรับ PES
- สภาพแวดล้อมสำหรับตัวอย่าง: ความดันต่ำมาก ( $10^{-10}$  mbar)
- ผิวหน้าของวัสดุที่ใช้ทดลองสัมผัสกับแสงโดยตรง (>1% near-surface layers)
- ความละเอียดค่าของพลังงานมีความต่อเนื่อง (> 0.1 eV)
- สามารถกำหนดช่วงของพลังงานที่ต้องการใช้ได้ตามที่ PES สามารถให้ได้
- กำหนดระยะเวลาของการให้แสงนั้นขึ้นกับทางระบบศูนย์วิจัยแสงซินโครตรอน
- การประยุกต์ใช้งาน: ศึกษาโครงสร้างอิเล็กทรอนิกส์บริเวณพื้นผิว

สมการที่ใช้คำนวณจำนวนของโฟตอนที่ออกมาจากระบบของศูนย์วิจัยแสงซินโครตรอน (Double photoionization gas cell) ได้จากการคำนวณค่าของการทดลองในขณะที่ทำการทดลองในแต่ละครั้งเนื่องจากการให้แสงแต่ละครั้งนั้นระบบของการทำงานจะเปลี่ยนไป ณ เวลานั้นด้วย

$$Ionyield : \gamma = \frac{ionproduced}{photonabsorbed} \quad (4-1)$$

$$\text{คือ แก๊สเซลล์คู่} = \frac{i_1/q}{N_0(i_1 - i_2)/i_1} \quad (4-2)$$

$$\text{คือ แก๊สเซลล์เดี่ยว} = \frac{(i_1 + i_2)/q}{N_0(1 - \exp(-\sigma\rho L))} \quad (4-3)$$

$$N_0 = \frac{N_{ion}}{\gamma \times R_{ab}} = \frac{i_1/q}{\gamma \times (i_1 - i_2)/i_1} \quad (4-4)$$

โดย

$\sigma$  คือ การดูดซึมของแก๊สเซลล์

$\rho$  คือ ความหนาแน่นของแก๊ส

$L$  คือ ความยาวของแก๊สเซลล์

$\sigma\rho L$  คือ การส่งผ่านแก๊สเซลล์

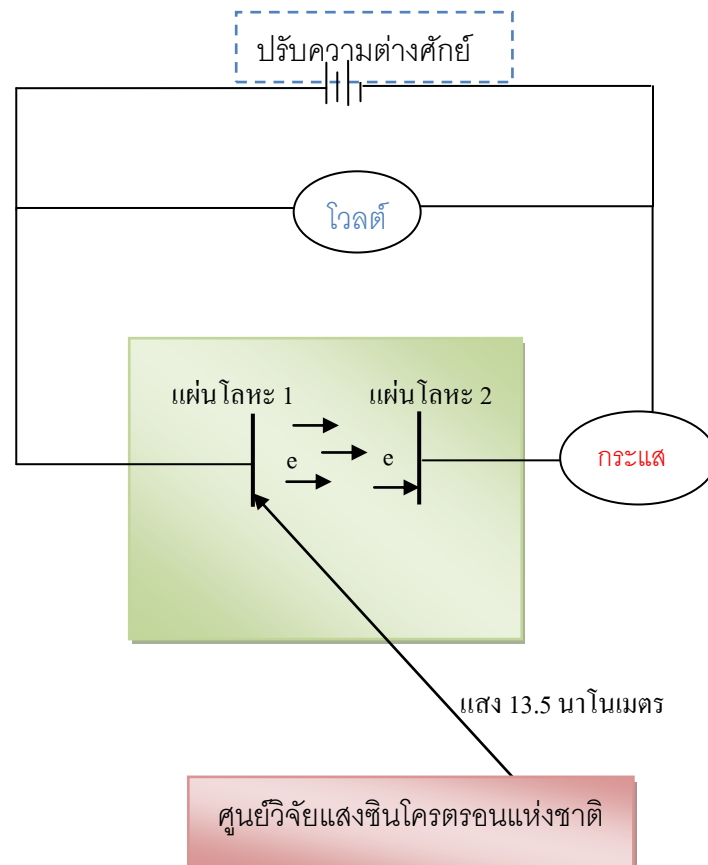
$N$  คือจำนวนโฟตอนในระบบลำแสง

จากสมการ (4-1) คำนวณหาจำนวนโฟตอนก่อนชนกับแผ่นโลหะทั้ง 4 ชนิดในช่วงความยาวคลื่น 13.5 นาโนเมตรค่าที่ได้นี้มาจากการคำนวณจากผลการทดลองของโลหะแต่ละชนิดแต่มีช่วงการทดลองเดียวกันระบบของการตั้งค่าในการทดลองเหมือนกันทั้ง 4 ชนิดจะได้โลหะเงิน (Ag) มีจำนวนเท่ากับ  $1.96 \times 10^9$  โฟตอนต่อวินาที โลหะเหล็กมีจำนวนเท่ากับ (Fe)  $2.65 \times 10^9$  โฟตอนต่อวินาที โลหะทองแดง (Cu) มีจำนวนเท่ากับ  $2.87 \times 10^9$  โฟตอนต่อวินาที โลหะอะลูมิเนียม (Al) มีจำนวนเท่ากับ  $2.24 \times 10^9$  โฟตอนต่อวินาที

การทดสอบประสิทธิภาพของโลหะทั้ง 4 ชนิดนี้เป็นการที่นำโลหะมาทดสอบที่มีการสร้างรูปแบบการทดสอบเดียวกันกำหนดค่าการทดลองเหมือนกันแล้วนำผลการทดสอบที่ได้มาเปรียบเทียบค่าที่สามารถตอบสนองที่แสงในช่วงของพลังงานอียูวี (EUV) ในช่วงครอบคลุมช่วง

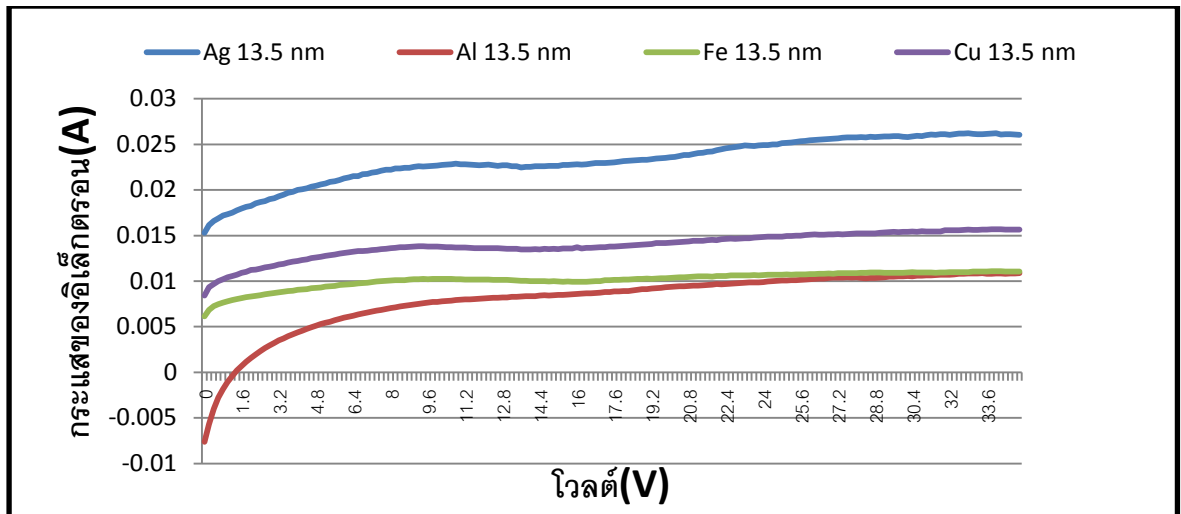
13.5นาโนเมตรเพื่อใช้เป็นตัวคัดเลือกโลหะบริสุทธิ์ที่จะนำมาสร้างเป็นหัววัดรังสีเอกซ์ทริมอัลตราไวโอเล็ต ให้มีประสิทธิภาพสูงที่สุด

#### 4.1 การทดสอบประสิทธิภาพของโลหะเพื่อคัดเลือกโลหะที่มีความเหมาะสมมากที่สุดที่สามารถตอบสนององรังสีในย่าน 13.5นาโนเมตร



ภาพที่ 4.1.1 การทดสอบประสิทธิภาพของโลหะโดยใช้หลักการโฟโตอิเล็กทริก

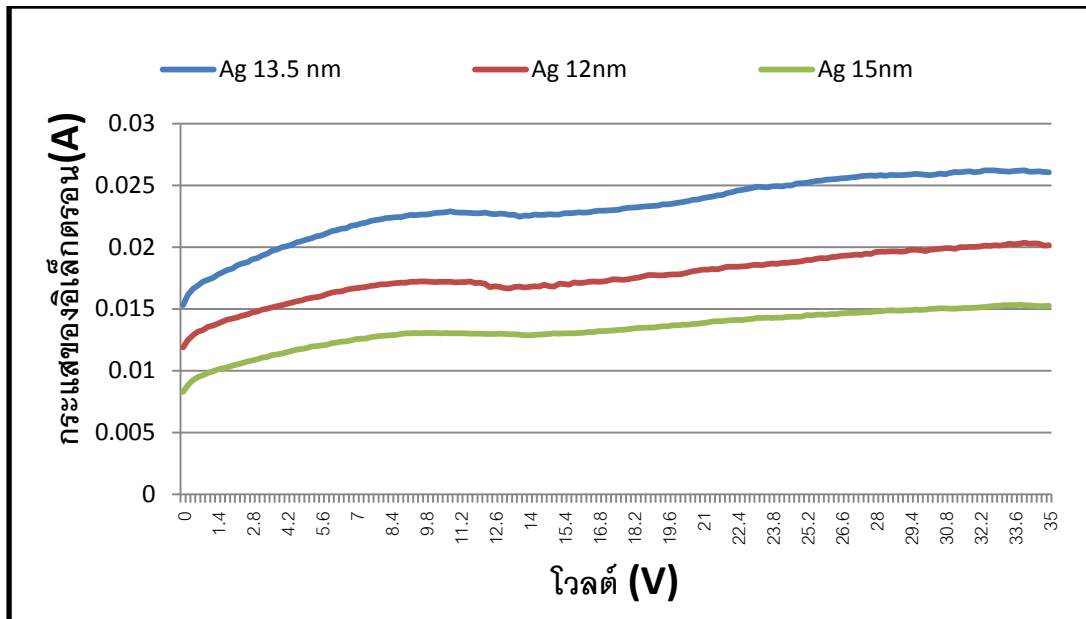
จากภาพที่ 4.1.1 เป็นหลักการทดสอบประสิทธิภาพของโลหะทั้ง 4 ชนิด อะลูมิเนียม เงิน เหล็กและทองแดง โดยใช้หลักการโฟโตอิเล็กทริก ใช้แสงจากศูนย์วิจัยแสงซินโครตรอนเป็นแหล่งกำเนิดแสงในช่วงความยาวคลื่น 13.5นาโนเมตร ซึ่งภายในระบบของการทดลองนั้นจะต้องควบคุมให้เป็นระบบสุญญากาศและทุกอย่างต้องตั้งค่าให้การทดลองเหมือนกันทุกครั้งทั้งโลหะ จึงจะสามารถนำมาเปรียบเทียบประสิทธิภาพได้ซึ่งจะได้ผลการทดสอบดังต่อไปนี้



ภาพที่ 4.1.2 กราฟแสดงผลการทดสอบประสิทธิภาพของโลหะโดยใช้ปรากฏการณ์โฟโตอิเล็กทริก ในช่วงความยาวคลื่น 13.5 นาโนเมตร

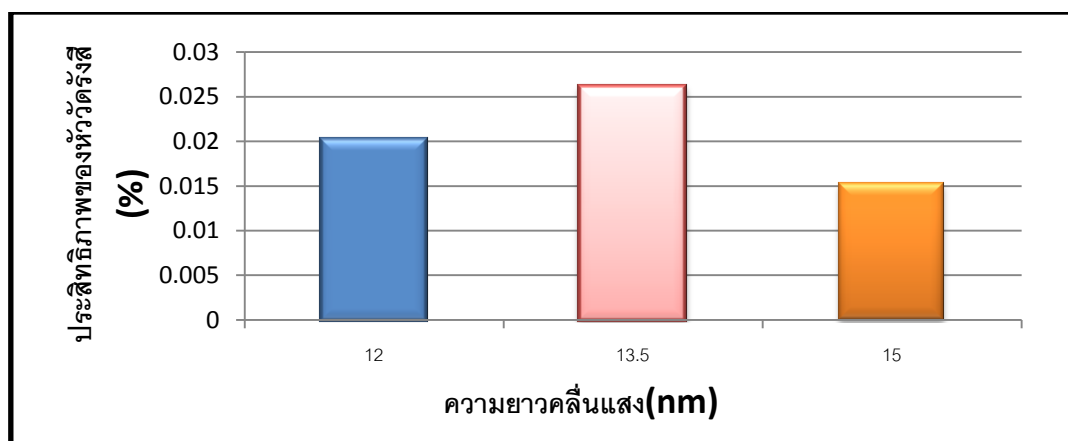
ผลการทดสอบประสิทธิภาพของโลหะทั้ง 4 ชนิดนั้นโลหะเงิน(Ag) มีการตอบสนองในช่วงความยาวคลื่นที่ 13.5 นาโนเมตร ดีที่สุดคือเมื่อยิงแสงที่มีความยาวคลื่น 91.84 อิเล็กตรอนโวลต์ (13.5 นาโนเมตร) มายังโลหะเงินทำให้จำนวนของอิเล็กตรอนหลุดออกมามากที่สุด จากภาพที่ 4.1.3 จำนวนของโฟตอนก่อนชนโลหะเงินเป็นจำนวนของโฟตอนต่อวินาที ( $photon/sec$ ) ที่ได้จากการคำนวณจากสมการที่ (4-1) จะได้ช่วงพลังงานของความยาวคลื่นแสงดังนี้ ที่ช่วงความยาวคลื่นที่แตกต่างกัน ในการทดลองที่เหมือนกันทั้งระบบที่  $12nm = 3.03 \times 10^9$  โฟตอนต่อวินาที ที่  $13.5nm = 1.96 \times 10^9$  โฟตอนต่อวินาที และที่  $15nm = 3.54 \times 10^9$  โฟตอนต่อวินาที





ภาพที่ 4.1.3 กราฟแสดงผลการทดสอบห้วงวัดรังสีเอกซ์ที่ริมอัลตราไวโอเล็ตที่ใช้โลหะเงิน

เมื่อนำห้วงวัดรังสีเอกซ์ที่ริมอัลตราไวโอเล็ตมาทดสอบกับแสงที่ 13.5 นาโนเมตร จะได้กราฟที่แสดงค่าระหว่างค่าของจำนวนอิเล็กตรอนที่ห้วงวัดรังสีวัดได้เทียบกับแรงดันไฟฟ้าที่ 0 โวลต์ ถึง 35 โวลต์ จะเห็นว่าในช่วงความยาวคลื่นที่ 13.5 นาโนเมตร นั้นทำให้อิเล็กตรอนหลุดออกมามากที่สุด แสดงว่าห้วงวัดรังสีที่ใช้โลหะเงินนี้ สามารถตอบสนองของรังสีนี้ได้ดีในช่วงนี้มากที่สุดจากภาพที่ 4.1.3



ภาพที่ 4.1.4 กราฟแสดงผลการทดสอบประสิทธิภาพของห้วงวัดรังสีเอกซ์ที่ริมอัลตราไวโอเล็ต

แสดงผลการเปรียบเทียบของโลหะเงินที่สามารถตอบสนองของรังสีเอกซ์ทริมอัลตราไวโอเล็ตที่ช่วงความยาวคลื่นที่ต่างกัน 3 ช่วงเพื่ออธิบายการทดสอบประสิทธิภาพของโลหะเงินที่ช่วงความยาวคลื่นที่ 13.5 นาโนเมตร นั้นโลหะเงินนั้นสามารถตอบสนองได้ดีที่สุดซึ่งเป็นช่วงความยาวคลื่นที่เราต้องการวัดดังนั้นจึงเป็นการเน้นว่าสามารถนำโลหะเงินนั้นมาสร้างหัววัดรังสีเอกซ์ทริมอัลตราไวโอเล็ต ซึ่งเปรียบเทียบโดยหาค่าประสิทธิภาพ (efficiency) ของหัววัดรังสีที่ใช้โลหะเงินได้จากสมการที่ (4-5) ที่ให้แรงดันไฟฟ้า 35 โวลต์ ที่ช่วงความยาวคลื่น 12 นาโนเมตร 13.5 นาโนเมตร และ 15 นาโนเมตร ได้ว่าที่ช่วงความยาวคลื่นที่ 13.5 นาโนเมตร ได้ค่าสูงที่ 2.6 เปอร์เซ็นต์ จากความยาวช่วงอื่น ๆ ประสิทธิภาพจะลดลงเล็กน้อยที่ 2 เปอร์เซ็นต์ ที่ความยาวคลื่น 12 นาโนเมตร และต่ำสุดที่ 1.5 เปอร์เซ็นต์ ที่ความยาวคลื่น 15 นาโนเมตร ดังแสดงจากภาพที่ 4.1.4

$$efficiency = \left[ \frac{\text{number of electrons } (I_p)}{\text{number of photons } (n_e)} \right] \times 100 \quad (4-5)$$

ประสิทธิภาพของโลหะเงินที่ช่วงความยาวคลื่น 12 นาโนเมตรโดยเลือกที่ค่าของกระแสอิเล็กตรอนสูงที่สุดที่จ่ายแรงดันไฟฟ้าที่ 35 โวลต์

$$efficiency = \left[ \frac{6.11 \times 10^7}{3.03 \times 10^9} \right] \times 100$$

$$efficiency = 2.014\%$$

ประสิทธิภาพของโลหะเงินที่ช่วงความยาวคลื่น 13.5 นาโนเมตรโดยเลือกที่ค่าของกระแสอิเล็กตรอนสูงที่สุดที่จ่ายแรงดันไฟฟ้าที่ 35 โวลต์

$$efficiency = \left[ \frac{5.11 \times 10^7}{1.96 \times 10^9} \right] \times 100$$

$$efficiency = 2.607\%$$

ประสิทธิภาพของโลหะเงินที่ช่วงความยาวคลื่น 15 นาโนเมตรโดยเลือกที่ค่าของกระแสอิเล็กตรอนสูงที่สุดที่จ่ายแรงดันไฟฟ้าที่ 35 โวลต์

$$efficiency = \left[ \frac{5.40 \times 10^7}{3.54 \times 10^9} \right] \times 100$$

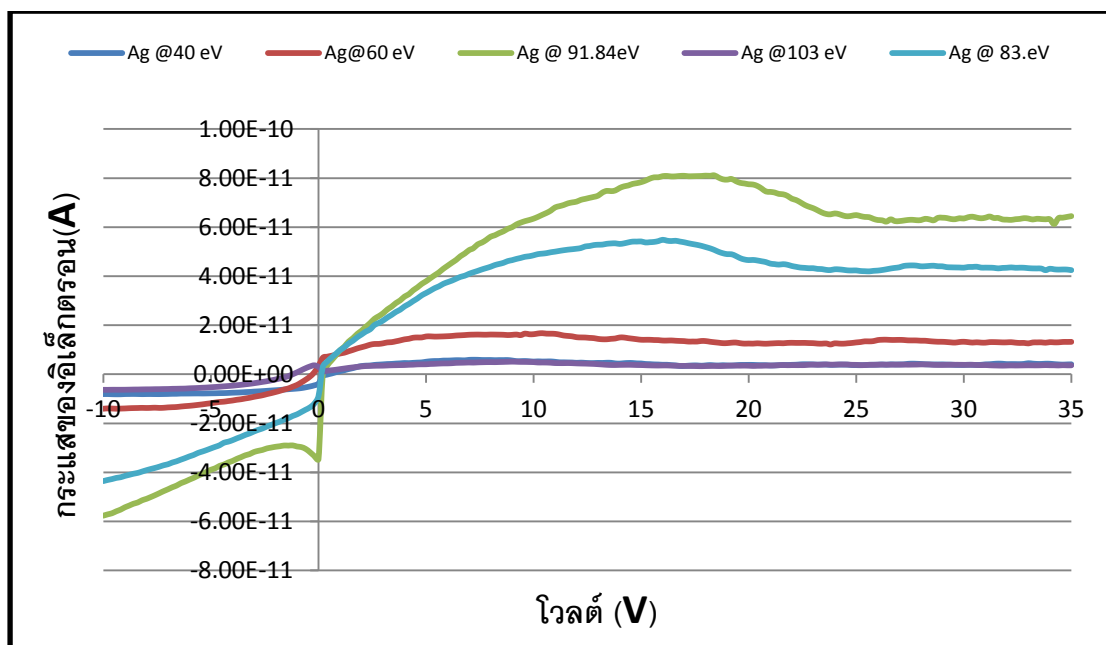
$$efficiency = 1.525\%$$

ตารางที่ 4.1.1 แสดงการเปรียบเทียบประสิทธิภาพของหัววัดรังสีที่สร้างจากโลหะเงินในช่วงความยาวคลื่น 12นาโนเมตร 13.5นาโนเมตรและที่ 15นาโนเมตร

ความยาวคลื่น(nm)	ครั้งที่1	ครั้งที่2	ครั้งที่3	เฉลี่ย
13.5 nm	2.67%	2.78%	2.05%	2.479%
12 nm	2.014%	1.98%	1.15%	1.714%
15nm	1.525%	1.28%	1.35%	1.385%

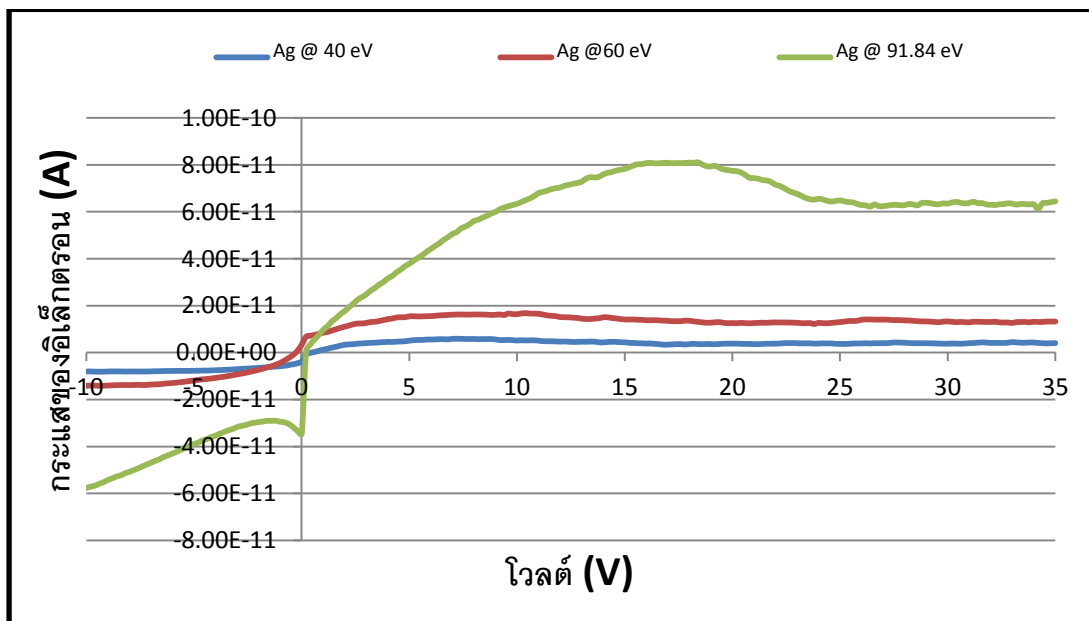
#### 4.2 การทดสอบหัววัดรังสีเอกซ์ทริมอัลตราไวโอเล็ตที่สร้างจากโลหะเงิน

ผลการเปรียบเทียบการตอบสนองของหัววัดรังสีเอกซ์ทริมอัลตราไวโอเล็ตที่สร้างจากโลหะเงินที่ทำการทดสอบในช่วงพลังงานที่ครอบคลุม 13.5นาโนเมตร สามารถแสดงถึงการตอบสนองได้อย่างสูงสุดที่ช่วงพลังงานที่ 13.5นาโนเมตร หัววัดรังสีที่สร้างจากโลหะชนิดนี้สามารถตอบสนองได้ดีที่สุดดังแสดงในกราฟที่ 4.2.1



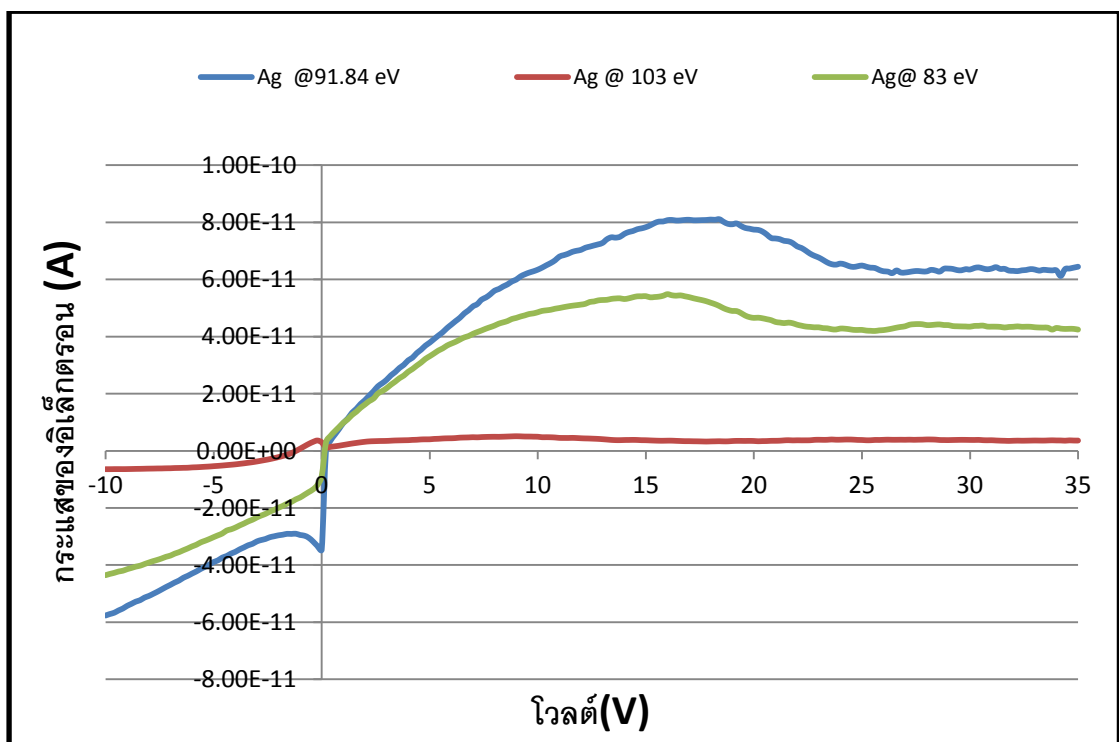
ภาพที่ 4.2.1 กราฟแสดงการทดสอบประสิทธิภาพของหัววัดรังสีเอกซ์ทริมอัลตราไวโอเล็ตที่สร้างจากโลหะเงินในช่วงของพลังงานที่ต่างกัน

จากกราฟแสดงผลการเปรียบเทียบของหัววัดรังสีเอกซ์ทริมอัลตราไวโอเล็ตที่สร้างขึ้นจากโลหะเงินโดยใช้แสงตั้งแต่ช่วงพลังงานของรังสียูวีไปจนถึงรังสีอียูวีที่ 40อิเล็กตรอนโวลต์ 60อิเล็กตรอนโวลต์ 83อิเล็กตรอนโวลต์ 91.84อิเล็กตรอนโวลต์ และ 103อิเล็กตรอนโวลต์ ซึ่งจากกราฟจะเห็นว่าจะมีการปรับค่าแรงดันไฟฟ้าตั้งแต่ -10โวลต์ จนถึง 35โวลต์ ซึ่งในการเพิ่มค่าของแรงดันไฟฟ้านี้เพื่อที่จะสามารถทำให้เห็นการทำงานของหัววัดรังสีในช่วงตั้งแต่ยังไม่มีการเพิ่มค่าแรงดันไฟฟ้าจนถึงการจ่ายแรงดันไฟฟ้าที่สูงขึ้น จะทำให้การทำงานของหัววัดรังสีที่ยังไม่มีค่าแรงดันไฟฟ้า ยังทำให้หัววัดรังสีนั้นสามารถที่จะวัดค่าของอิเล็กตรอนที่หลุดออกมาได้เหมือนกันแต่จำนวนของอิเล็กตรอนที่หัววัดรังสีนั้นวัดค่าได้นั้นอาจจะน้อยกว่าที่เราเพิ่มค่าแรงดันไฟฟ้าถ้าดูจากกราฟ สาเหตุที่เป็นเช่นนั้นเนื่องจากแสงจากระบบของศูนย์วิจัยแสงซินโครตรอนนั้นมีพลังงานที่สูงมากกว่าค่า ฟังก์ชันงานของโลหะเงินจึงสามารถเอาชนะค่าฟังก์ชันงานของโลหะเงินได้จึงทำให้อิเล็กตรอนหลุดออกมาตลอดเวลาอยู่แล้วโดยไม่ต้องเพิ่มค่าแรงดันไฟฟ้าให้กับโลหะเงินของหัววัดรังสี



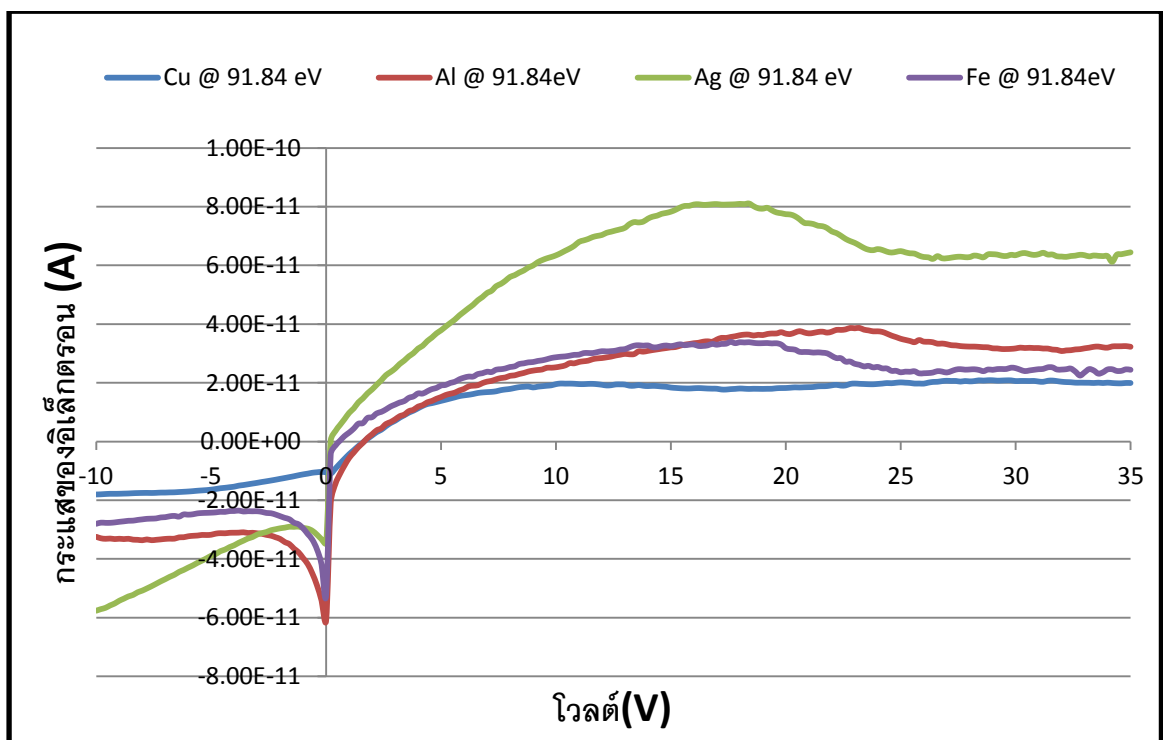
ภาพที่ 4.2.2 กราฟแสดงการทดสอบประสิทธิภาพของหัววัดรังสีเอกซ์ทริมอัลตราไวโอเล็ตที่สร้างขึ้นจากโลหะเงินในช่วงของพลังงานที่ต่างกันในช่วงของรังสี ยูวี(UV) และรังสี อียูวี(EUV)

จากภาพที่ 4.2.2 จะเป็นการแสดงผลการทดสอบหัววัดรังสีที่ใช้รังสียูวีที่ 40 อิเล็กตรอน โวลต์ 60 อิเล็กตรอน โวลต์ และอียูวีที่ 91.84 อิเล็กตรอน โวลต์ ซึ่งจะเป็นการแสดงให้เห็นถึงประสิทธิภาพของหัววัดรังสีที่สร้างขึ้นว่าเพราะเหตุใดจึงได้เลือกโลหะเงิน เพื่อจะนำมาสร้างเป็นหัววัดรังสีเพื่อใช้วัดในช่วงพลังงานที่ 13.5 นาโนเมตร ก็เพราะโลหะเงินนั้นสามารถตอบสนองในช่วงพลังงานของแสงยูวีได้เหมือนกันแต่ที่แสง อียูวี ในช่วงพลังงานของแสงและตำแหน่งของการวางหัววัดรังสีการเพิ่มค่าแรงดันไฟฟ้านั้นด้วยองค์ประกอบเหล่านี้ จึงทำให้สามารถตอบสนองได้ดีที่สุดที่ 13.5 นาโนเมตร นี่ซึ่งเป็นสิ่งที่สำคัญมาในการทดสอบประสิทธิภาพในครั้งนี้เพราะเนื่องจากเราได้กำหนดการทดลองให้เหมือนกันทุกอย่างแต่เปลี่ยนเฉพาะช่วงของพลังงานแสงที่ใช้ทดลองเท่านั้น ซึ่งในการกำหนดช่วงพลังงานของแสงนั้นมีความแม่นยำสูงเพราะทางระบบของศูนย์วิจัยแสงนั้นเขาควบคุมในการกำหนดช่วงพลังงานนั้นด้วยระบบคอมพิวเตอร์และมีผู้เชี่ยวชาญทางด้านนี้ตลอดการทำทดลอง



ภาพที่ 4.2.3 กราฟแสดงการทดสอบประสิทธิภาพของหัววัดรังสีเอกซ์ที่ริมอัลตราไวโอเล็ตที่สร้างจากโลหะเงินในช่วงของพลังงานที่ 12 นาโนเมตร 13.5 นาโนเมตรและที่ 15 นาโนเมตร

การเปรียบเทียบหัววัดรังสีเอกซ์ที่รีโมอัลตราไวโอเล็ตที่ช่วงพลังงานที่ครอบคลุม 13.5นาโนเมตร ซึ่งจะเห็นว่าเริ่มต้นจากการจ่ายแรงดันไฟฟ้าที่ค่าน้อยๆ ไปจนถึงค่ามากขึ้นจะทำให้หัววัดรังสีสามารถตอบสนองได้ดีขึ้นเรื่อยๆ จนถึงค่าๆ หนึ่งจะเห็นว่ากราฟจะถึงสภาวะคงตัวแล้วนั้นก็แสดงให้เห็นว่าจ่ายแรงดันไฟฟ้าที่ค่าประมาณ 10โวลต์ ถึง 20โวลต์ สามารถทำให้หัววัดรังสีสามารถตอบสนองที่ช่วงพลังงาน 13.5นาโนเมตร ได้ดีที่สุดพอแรงดันไฟฟ้าเพิ่มขึ้นจะทำให้กระแสของอิเล็กตรอนนั้นอยู่ในสภาวะที่คงที่ในช่วง 25โวลต์ ถึง 35โวลต์ ซึ่งแสดงในภาพที่ 4.2.3



ภาพที่ 4.2.4 กราฟแสดงการทดสอบประสิทธิภาพของหัววัดรังสีเอกซ์ที่รีโมอัลตราไวโอเล็ต ทั้ง 4 ชนิดเพื่อเปรียบเทียบประสิทธิภาพที่ต่างกันในการตอบสนองต่อแสงในช่วงของพลังงานที่ 13.5นาโนเมตร

การเปรียบเทียบประสิทธิภาพของการหัววัดรังสีทั้ง 4 ชนิดที่สามารถตอบสนองแสงในช่วงพลังงาน 13.5นาโนเมตร ตั้งแต่เริ่มปรับแรงดันไฟฟ้า -10โวลต์ ถึง 35โวลต์ จะทำให้เห็นถึงข้อแตกต่างของการตอบสนองของช่วงพลังทั้งที่มีการเพิ่มกระแสลบและบวกรวมถึงการที่ไม่มีการจ่ายกระแสให้กับหัววัดรังสีซึ่งในการจ่ายแรงดันไฟฟ้าเป็นลบให้กับหัววัดรังสีนั้นจะทำให้ความสามารถในการตอบสนองนั้นทำให้มีค่าของกระแสเป็นค่าลบ(-) ค่อยเพิ่มขึ้นตามระดับของการปรับ

แรงดันไฟฟ้าที่เพิ่มขึ้นและช่วงของการที่เพิ่มแรงดันไฟฟ้า 0 โวลต์ เนื่องจากไม่มีการจ่ายแรงดันไฟฟ้า ทำให้อิเล็กตรอนในระบบถูกดึงกลับทำให้กระแสของอิเล็กตรอนนั้นลดลงอย่างรวดเร็วแต่ด้วยความเข้มของแสงจากศูนย์วิจัยแสงซินโครตรอนที่สามารถเอาชนะค่าฟังก์ชันงานของโลหะทั้งหมดได้อยู่แล้วจึงทำให้มีกระแสของอิเล็กตรอนออกมาอยู่แล้วจากนั้นเมื่อมีการจ่ายแรงดันไฟฟ้าเป็นค่าบวก(+) จะทำให้กระแสของอิเล็กตรอนนั้นเพิ่มมากขึ้นตามลำดับจนถึงขีดสุดจะถึงจุดสมดุลของกระแสอิเล็กตรอนที่หัววัดรังสีสามารถวัดได้ซึ่งจากการเปรียบเทียบของหัววัดรังสีที่สร้างจากโลหะเงินนั้นสามารถตอบสนองได้ดีที่สุดจากโลหะทั้ง 4 ชนิด ซึ่งแสดงจากภาพที่ 4.2.4

#### 4.3 การทดสอบหัววัดรังสีโฟโตไดโอดชนิด SXUV HS5 Si/Zr

ผลการทดสอบของหัววัดรังสีชนิดโฟโตไดโอด SXUV HS5 Si/Zr เป็นการทำการทดสอบหัววัดรังสีที่สร้างขึ้นโดยใช้โลหะเงินนั้นมาทดสอบประสิทธิภาพเทียบกับหัววัดรังสีที่สร้างขึ้นโดยหัววัดรังสีชนิดโฟโตไดโอด SXUV HS5 Si/Zr นั้นนำมาทดสอบกับแสงในช่วงพลังงานครอบคลุมความยาวคลื่น 13.5 นาโนเมตร โดยใช้หลักการทดสอบประสิทธิภาพเหมือนกันกับการทดสอบหัววัดรังสีเอกซ์ทริมัลตราไวโอเล็ตดังแสดงในภาพที่ 4.1.1 ซึ่งในการทดสอบนั้นจะกำหนดช่วงพลังงานที่ 80 อิเล็กตรอนโวลต์ ถึง 110 อิเล็กตรอนโวลต์ ซึ่งจากการที่ทดลองนั้นถ้าเราปรับค่าแรงดันไฟฟ้าไปที่ 10 โวลต์ จะเห็นว่าหัววัดรังสีชนิดโฟโตไดโอด SXUV HS5 Si/Zr นั้นสามารถตอบสนองได้ดีที่สุดในช่วงความยาวคลื่นที่ 13.5 นาโนเมตร

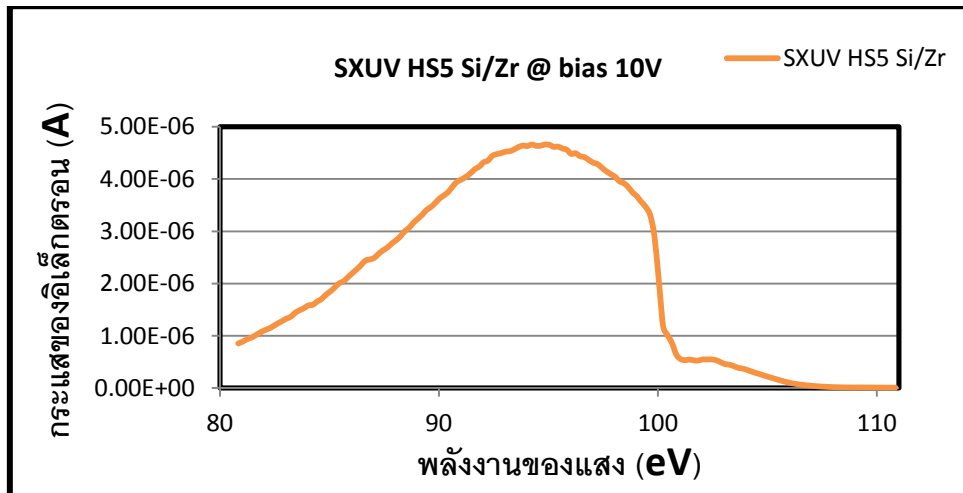
ผลการคำนวณหาประสิทธิภาพของหัววัดรังสีชนิดโฟโตไดโอด SXUV HS5 Si/Zr ที่ช่วงความยาวคลื่น 13.5 นาโนเมตร จากสมการที่(4-5)

$$efficiency = \left[ \frac{number - of - electron(I_p)}{number - of - photons(n_e)} \right] \times 100$$

จะได้

$$I_p = -2.54 \times 10^{-12} A$$

$$= 2.23\%$$



ภาพที่ 4.3.1 กราฟแสดงผลการทดสอบของหัววัดรังสีชนิดโฟโตไดโอด SXUV HS5 Si/Zr ทดสอบกับความยาวคลื่นครอบคลุมช่วงพลังงานที่ 13.5นาโนเมตร

ผลการทดสอบของหัววัดรังสีชนิดโฟโตไดโอด SXUV HS5 Si/Zr เป็นการทำการทดสอบหัววัดรังสีที่สร้างขึ้นโดยใช้โลหะเงินนั้นมาทดสอบประสิทธิภาพเทียบกับหัววัดรังสีที่สร้างขึ้นโดยโฟโตไดโอด SXUV HS5 Si/Zr นั้นนำมาทดสอบกับแสงในช่วงพลังงานความยาวคลื่น 13.5นาโนเมตร โดยใช้หลักการทดสอบประสิทธิภาพเหมือนกันกับการทดสอบหัววัดรังสีเอกซ์ทริมัลตราไวโอเล็ต ดังแสดงในภาพที่ 4.3.1

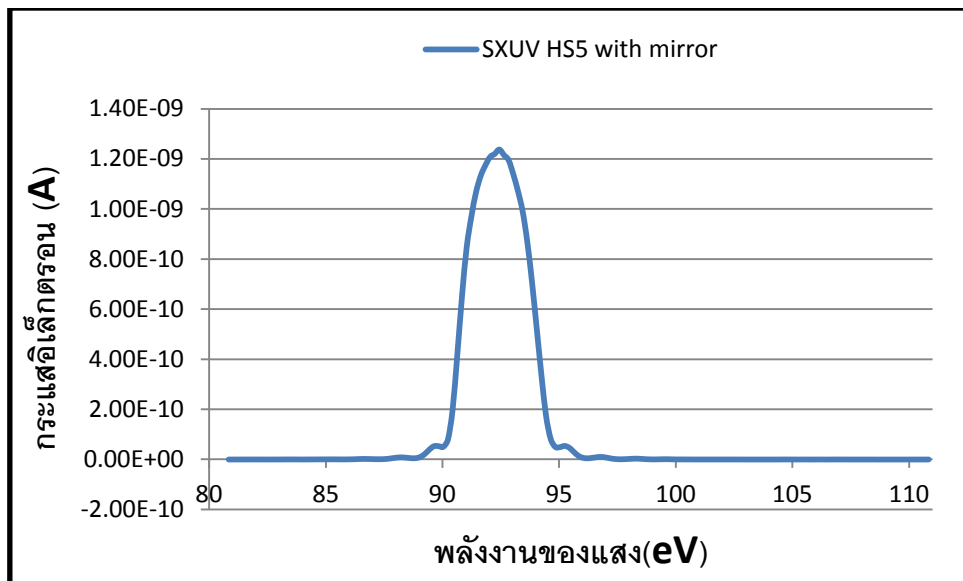
ผลการการคำนวณหาค่าประสิทธิภาพของหัววัดรังสีชนิดโฟโตไดโอด SXUV HS5 Si/Zr ที่ใช้ร่วมกับกระจกซิลิคอนโมลิบดีนัม (Si/Mo) ที่ช่วงความยาวคลื่น 13.5 นาโนเมตรจะได้ค่าดังนี้ จากสมการที่(4-5)

จะได้

$$I_p = -4.24 \times 10^{-12} \text{ A}$$

$$= 3.74\%$$





ภาพที่ 4.3.2 กราฟแสดงผลการทดสอบของหัววัดรังสีชนิดโฟโตไดโอด SXUV HS5 Si/Zr ที่ใช้ร่วมกับกระจกเคลือบฟิล์มบางซิลิคอนโมลิบดีนัม ทดสอบกับความยาวคลื่นครอบคลุมช่วงพลังงานที่ 13.5 นาโนเมตร

ผลการทดสอบของหัววัดรังสีชนิดโฟโตไดโอด SXUV HS5 Si/Zr ที่ใช้กระจกเคลือบฟิล์มบางซิลิคอนโมลิบดีนัมนั้นจะทำให้เห็นว่าหัววัดรังสีชนิดโฟโตไดโอด SXUV HS5 Si/Zr สามารถตอบสนองรังสีในช่วงความยาวคลื่นที่ 13.5 นาโนเมตร เท่านั้นเนื่องจากตัวของกระจกซิลิคอนโมลิบดีนัมมีหน้าที่เป็นตัวสะท้อนรังสีให้สามารถผ่านได้เฉพาะในช่วงประมาณ 13.5 นาโนเมตร เท่านั้นทำให้หัววัดรังสีชนิดโฟโตไดโอด SXUV HS5 Si/Zr ไม่สามารถตอบสนองในช่วงความยาวคลื่นอื่นได้ดังแสดงในภาพที่ 4.3.2 ซึ่งก็เป็นผลดีต่อการเพิ่มประสิทธิภาพให้กับหัววัดรังสีให้สามารถตอบสนองได้ดีเฉพาะช่วงความยาวคลื่นที่ 13.5 นาโนเมตร เท่านั้น

#### 4.4 การเปรียบเทียบประสิทธิภาพของหัววัดรังสี

ตารางที่ 4.5.1 แสดงค่าเปรียบเทียบประสิทธิภาพของหัววัดรังสีเอกซ์ทริมอัลตราไวโอเล็ต กับหัววัดรังสีชนิดโฟโตไดโอด SXUV HS5 Si/Zr

ความยาวคลื่น (nm)	หัววัดรังสีโลหะเงิน (Ag)	SXUV HS5 Si/Zr	SXUV HS5 Si/Zr ร่วมกับ กระจก Si/Mo
13.5nm	2.47%	2.23%	3.74%

การหาค่าเฉลี่ยมาตรฐานของหัววัดรังสีเอกซ์ทริมอัลตราไวโอเล็ตที่สร้างจากโลหะเงิน ที่ช่วงความยาวคลื่น 13.5นาโนเมตร

จากสมการ

$$X = \frac{\sum x}{N} \quad (4-6)$$

$$\bar{X} = \frac{\sum x}{N} \quad (4-7)$$

เมื่อ  $X$  คือค่าของข้อมูลแต่ละตัวของการทดลอง

$\bar{X}$  คือค่าเฉลี่ยของกลุ่มการทดลอง

$N$  คือจำนวนข้อมูลทั้งหมดของการทดลอง [14]

จะได้

$$X = \frac{5.11+8.17+6.44}{3}$$

$$\bar{X} = 6.57$$

การหาค่าเบี่ยงเบนมาตรฐาน

จากสมการ

$$SD = S = \sqrt{\frac{\sum_{i=1}^N (x_i - \bar{x})^2}{N}} \quad (4-8)$$

- เมื่อ  $S$  คือค่าเบี่ยงเบนมาตรฐานของการทดลอง  
 $X$  คือค่าของข้อมูลแต่ละตัวของการทดลอง  
 $\bar{X}$  คือค่าเฉลี่ยของกลุ่มการทดลอง  
 $N$  คือจำนวนข้อมูลทั้งหมดของการทดลอง [14]

การคำนวณหาค่าเบี่ยงเบนมาตรฐานของหัววัดรังสีเอกซ์ทริมัลตราไวโอเล็ตที่สร้างจากโลหะเงิน ที่ช่วงความยาวคลื่น 13.5 นาโนเมตร

จากสมการที่ (4-8) 
$$SD = S = \sqrt{\frac{\sum_{i=1}^N (x_i - \bar{x})^2}{N}}$$

จะได้ 
$$SD = S = \sqrt{\frac{(5.11 - 6.57)^2 + (8.17 - 6.57)^2 + (6.44 - 6.57)^2}{3}}$$

$$SD = 1.267$$

การหาค่าความไม่แน่นอนของการวัดของหัววัดรังสีเอกซ์ทริมัลตราไวโอเล็ตที่สร้างจากโลหะเงิน ที่ช่วงความยาวคลื่น 13.5 นาโนเมตร

จากสมการ 
$$U_c(y) = \sqrt{\sum_{i=1}^3 U_i^2(y)} \quad (4-9)$$

$$U_c(y) = \sqrt{U_1^2(y) + U_2^2(y) + U_3^2(y)} \quad (4-10)$$

จะได้ 
$$U_c(y) = \sqrt{5.11^2 + 8.17^2 + 6.44^2}$$

$$U_c(y) = 11.59$$

## บทที่ 5

### สรุปผล อภิปรายผล และข้อเสนอแนะ

#### 5.1 สรุปผลการทดลอง

จากการทดลองหัววัดรังสีเอกซ์ทริมอัลตราไวโอเล็ต ที่พัฒนาขึ้นโดยใช้ปรากฏการณ์โฟโตอิเล็กทริก ของโลหะเงิน ที่มีค่าฟังก์ชันงาน 4.73 อิเล็กตรอนโวลต์ เหมาะสมที่สุดกับความยาวคลื่นรังสีเอกซ์ทริมอัลตราไวโอเล็ตที่ 13.5นาโนเมตร ซึ่งจากการทดสอบประสิทธิภาพของหัววัดรังสีนี้โดยนำไปสอบเทียบกับศูนย์วิจัยแสงซินโครตรอนจากสถานีดทดลองทางด้านPhotoemission Spectroscopy (PES) ซึ่งเป็นเทคนิคพื้นฐานที่ใช้ในการศึกษาด้านฟิสิกส์พื้นผิวของสสาร อุปกรณ์และเทคนิคการวิเคราะห์ที่จัดเตรียมไว้ภายในสถานีดทดลองนี้มีความเหมาะสมในงานวิจัยทางด้านฟิสิกส์ และวัสดุศาสตร์ สามารถใช้รังสีเอกซ์ทริมอัลตราไวโอเล็ตที่สามารถใช้ในการสอบเทียบและทดสอบประสิทธิภาพของการทำงานของหัววัดรังสีเอกซ์ทริมอัลตราไวโอเล็ตได้ ซึ่งระบบลำเลียงแสงนี้มีช่วงพลังงานตั้งแต่ 40 อิเล็กตรอนโวลต์ ถึง 160 อิเล็กตรอนโวลต์ และ 220 อิเล็กตรอนโวลต์ ถึง 1040 อิเล็กตรอนโวลต์ ทำให้ได้แสงซินโครตรอนที่มีความเข้มสูงและครอบคลุมรังสีเอกซ์ทริมอัลตราไวโอเล็ตที่มีความยาวคลื่น 13.5นาโนเมตร ซึ่งเป็นแหล่งกำเนิดแสงเอกซ์ทริมอัลตราไวโอเล็ตที่ดีที่สุดในปัจจุบันนี้

จากการทดสอบประสิทธิภาพของหัววัดรังสีเอกซ์ทริมอัลตราไวโอเล็ตที่สร้างขึ้นจากโลหะเงิน โดยใช้ปรากฏการณ์โฟโตอิเล็กทริก ดังที่กล่าวมาแล้วนั้นหัววัดรังสีเอกซ์ทริมอัลตราไวโอเล็ตสามารถตอบสนองช่วงความยาวคลื่นที่ 13.5นาโนเมตร ได้ดีที่สุดเทียบเท่ากับหัววัดรังสีที่มีการพัฒนามาแล้ว

#### 5.2 อภิปรายผลการวิจัย

เพื่อหาประสิทธิภาพการวัดของหัววัดรังสีเอกซ์ทริมอัลตราไวโอเล็ตที่สร้างขึ้นโดยใช้โลหะเงินบริสุทธิ์แล้วนำหัววัดรังสีชนิดโฟโตไดโอด SXUV HS5 Si/Zr ที่เคยมีงานวิจัยในด้านการวัดรังสีนี้มาเปรียบเทียบคุณสมบัติทางด้านการทำงานว่าหัววัดรังสีเอกซ์ทริมอัลตราไวโอเล็ตที่สร้างขึ้นมีประสิทธิภาพในการทำงานที่ต่างกันคือหัววัดรังสีชนิดโฟโตไดโอด SXUV HS5 Si/Zr ซึ่งอุปกรณ์ดังกล่าวสามารถตรวจจับรังสีที่ครอบคลุมความยาวคลื่นที่ 13.5นาโนเมตร ซึ่งมีช่วงการทำงานที่ใกล้เคียงกับหัววัดรังสีเอกซ์ทริมอัลตราไวโอเล็ตที่สร้างขึ้นซึ่งสามารถตอบสนองเฉพาะรังสีในย่านความยาวคลื่น 13.5นาโนเมตร เท่านั้นและถ้ามีความต้องการที่จะต้องการวัดค่าที่มีค่าใกล้เคียงกับช่วงความยาวคลื่น 13.5นาโนเมตร นั้นสามารถใช้หัววัดชนิดนี้ทดสอบได้โดยใช้หัววัดที่สร้างจาก

โลหะทั้ง 4 ชนิดได้โดยเลือกจากค่าความเหมาะสมของโลหะแต่ละชนิดตามค่าฟังก์ชันงานที่เหมาะสมกับช่วงความยาวคลื่นที่ต้องการตามผลการทดลองที่ได้ทำการทดสอบประสิทธิภาพที่กล่าวมาแล้วได้ ซึ่งจะสามารถนำหัววัดรังสีเอกซ์ทริมัลตราไวโอเล็ตที่สร้างขึ้นนี้ไปใช้ตรวจวัดวัดกับแหล่งกำเนิดพลังงานในย่านพลังงานที่ 13.5นาโนเมตร ได้อย่างมีประสิทธิภาพมากกว่าและยังช่วยประหยัดค่าใช้จ่ายในการสร้างหัววัดรังสีเอกซ์ทริมัลตราไวโอเล็ตด้วย

### 5.3 ข้อเสนอแนะ

จากการทดลองหัววัดรังสีที่สร้างจากโลหะเงินนั้นสามารถตอบสนองในช่วงรังสีที่เราต้องการวัดได้แต่ยังมีความต้องการที่จะให้สามารถวัดได้เฉพาะเจาะจงที่ 13.5นาโนเมตร ดังนั้นจึงแนะนำให้ใช้กระจกเคลือบฟิล์มบางซิลิคอนโมลิบดีนัม Si/Mo นั้นมีความสามารถในการคัดกรองรังสีให้สามารถสะท้อนเฉพาะรังสีเอกซ์ทริมัลตราไวโอเล็ตที่มีความยาวคลื่น 13.5นาโนเมตร เท่านั้น จึงเป็นการเจาะจงช่วงพลังงานของรังสีที่ 13.5นาโนเมตร ให้สะท้อนมายังหัววัดรังสีที่สร้างขึ้นทำให้หัววัดรังสีเอกซ์ทริมัลตราไวโอเล็ตมีความสามารถในการตอบสนองเฉพาะรังสีเอกซ์ทริมัลตราไวโอเล็ตที่ 13.5นาโนเมตร ได้ดีที่สุด

การทดสอบประสิทธิภาพของหัววัดรังสีเอกซ์ทริมัลตราไวโอเล็ตที่สร้างจากโลหะเงินเทียบกับหัววัดรังสีชนิดโฟโตไดโอด SXUV HS5 Si/Zr สามารถเห็นถึงข้อแตกต่างระหว่างช่วงพลังงานที่หัววัดรังสีทั้งสองนี้มีความสามารถตอบสนองได้ครอบคลุมช่วงความยาวคลื่น 13.5นาโนเมตร ได้แต่หัววัดรังสีเอกซ์ทริมัลตราไวโอเล็ตที่สร้างขึ้นโดยใช้โลหะเงินนี้มีช่วงการทำงานสามารถตอบสนองช่วงความยาวคลื่นตั้งแต่ ยูวี ไปจนถึง อียูวี ซึ่งก็จะมีช่วงการทำงานที่กว้างมากกว่าหัววัดรังสีชนิดโฟโตไดโอด SXUV HS5 Si/Zr ที่สามารถวัดเฉพาะเจาะจงเฉพาะที่ความยาวคลื่น 13.5นาโนเมตร ได้ดี ซึ่งในหัววัดรังสีชนิดโฟโตไดโอด SXUV HS5 Si/Zr นั้นสามารถตอบสนองช่วงความยาวคลื่นครอบคลุม 13.5นาโนเมตร เหมือนกันแต่เนื่องด้วยคุณสมบัติของกระจกเคลือบฟิล์มบางซิลิคอนโมลิบดีนัมนั้นสามารถทำให้หัววัดรังสีชนิดนี้มีประสิทธิภาพสูงขึ้นมากกว่าหัววัดรังสีเอกซ์ทริมัลตราไวโอเล็ตที่ใช้โลหะเงินที่สร้างขึ้น ซึ่งมีขีดความสามารถวัดรังสีเอกซ์ทริมัลตราไวโอเล็ตโดยใช้โลหะเงินนี้ก็สามารถที่จะตอบสนองรังสีย่านอียูวี (EUV) ที่ 13.5นาโนเมตร ได้เช่นเดียวกับหัววัดรังสีทั่วไปที่พัฒนามานั้น ซึ่งก็เป็นการชี้ให้เห็นถึงการพัฒนาหัววัดรังสีชนิดนี้สามารถที่จะพัฒนาให้ดีขึ้น

ในการทำวิทยานิพนธ์นี้ได้ทำการทดสอบประสิทธิภาพของโลหะทั้ง 4 ชนิดนั้นจำเป็นจะต้องเลือกโลหะที่มีความเหมาะสมและมีความบริสุทธิ์เพราะถ้าอุปกรณ์ต่างๆ ไม่สะอาดก็จะส่งผลต่อการวัดไม่มากก็น้อยอาจทำให้การทดลองไม่ได้ค่าที่แท้จริงจึงต้องมีความละเอียดในเรื่องนี้เป็นอย่างมากซึ่งในการทดลองนั้นจะต้องอยู่ในระบบสุญญากาศเท่านั้นซึ่งถ้าจะมีการพัฒนาหัววัดรังสีเอกซ์ทริมัลตราไวโอเล็ตนี้ควรที่จะศึกษาแหล่งกำเนิดแสงที่จะใช้ในการทดสอบประสิทธิภาพซึ่งคาดว่าในอนาคตแหล่งกำเนิดแสงนี้อาจจะมีเพิ่มขึ้นซึ่งจะเป็นประโยชน์ต่อผู้ทำวิจัยในอนาคต ตัวอย่างเช่น สถาบันมาตรวิทยาแห่งชาติซึ่งคาดว่าหัววัดรังสีที่สร้างนั้นมีช่วงการทำงานที่สามารถวัดรังสีและสะท้อนรังสีได้ที่มีความยาวคลื่นที่ประมาณ 13.5 นาโนเมตรได้เทียบเท่าหัววัดรังสีชนิดอื่นที่เคยมีการพัฒนาขึ้นมาแล้ว ในวิทยานิพนธ์นี้หวังว่าหัววัดรังสีดังกล่าวสามารถนำไปใช้ให้เกิดประโยชน์ทางด้านงานวิจัยทางรังสีและด้านการวัดให้หลากหลายยิ่งขึ้น

## รายการอ้างอิง

- [1] B. M. LaFontaine et al., The use of EUV lithography to produce demonstration devices. in Proc. SPIE, Emerging Lithographic Technologies XII, (2008).
- [2] สถาบันมาตรวิทยาแห่งชาติ. ความรู้ด้านมาตรวิทยาทางด้านการวัด (2009).
- [3] มาตรวิทยา [ออนไลน์]. 2010. แหล่งที่มา: <http://www.mst.or.th>. [2011, February 23]
- [4] ดร. อิศเรศ โกสีย์วัฒนา. การหาค่าความไม่แน่นอนของการวัด, วิจัยเภสัชเคมีภัณฑ์ Uncertainty of Measurement Course for Testing Laboratories. โดย Thai Industrial Standards Institute and United Kingdom Accreditation Service [UKAS]. [ออนไลน์]. 2001. แหล่งที่มา: <http://www.gpo.or.th>, [2011, September 22]
- [5] Quantum Physics. [Online]. 1997. Available from: <http://www.rsu.ac.th>. [2011, September 10]
- [6] John W. Jewett, Jr. California. Modern Physics. State Polytechnic University Pomona, Raymond A. Serway. Emeritus, James Madison University. Physics for Scientists and Engineers with Modern Physics, Seventh Edition.
- [7] รองศาสตราจารย์ ดร. อนันตสิน เตชะกำพุช. ฟิสิกส์ 2 จุฬาลงกรณ์มหาวิทยาลัย, (2547).
- [8] International Radiation Detector, [IRD]. SXUV HS5 Si/Zr, Detector., (2009).
- [9] Join the Alibaba.com Research Panel, Si/mo mirror, laser equipment components, optical mirror, mo mirror, laser mirror, mo reflector mirror. Alibaba.com Hong Kong Limited and licensors. All rights reserved. (1999-2010).
- [10] Siam Photon. Synchrotron Light Research Institute, (Public Organization), [Online]. 2552. Available from: <http://www.slri.or.th>. [2552, February 21]
- [11] P. Songsirithigul, B. Kijornrattanawanich, A. Tong-on and H. Nakajima, Nucl. Instr. and Methods in Phys. Res. A 582, 100 Proceedings of the 14th National Conference on Synchrotron Radiation Research. [SLRI], (2007).
- [12] Raymond A. Serway, James Madison, John W. Jewett, Jr. Principles of physics A calculus-Based Text 3, University, California State polytechnic University-Pomon.

- [13] SXUV HS5 Si/Zr Detector , Chiow San Wong.,Faculty of Science,University of Malaya,Kuala Lumpur,Malaysia,(2010).
- [14] H. Rabus, V. Persch, G. Ulm, Synchrotron-Radiation Operated Cryogenic Electrical-Substitution Radiometer as High-Accuracy Primary Detector Standard in the Ultraviolet, Vacuum Ultraviolet and Soft X-ray Spectral Ranges, Opt. 36 (1997):5421-5440.
- [15] การคำนวณหาค่าความไม่แน่นอนของการวัด[ออนไลน์].2552.  
แหล่งที่มา:<http://www.tpa.or.th/xlsiam/>. [2555,February 26]



ภาคผนวก

## ภาคผนวก



ภาพที่ 1 โลหะเงินบริสุทธิ์



ภาพที่ 2 โลหะอะลูมิเนียมบริสุทธิ์



ภาพที่ 3 โลหะทองแดงบริสุทธิ์



ภาพที่ 4 โลหะเหล็กบริสุทธิ์



ภาพที่ 5 พิคโคแอมป์มิเตอร์ (Picco-ammeter) ใช้ในการตรวจจذبกระแสที่ใช้ในการทดลอง



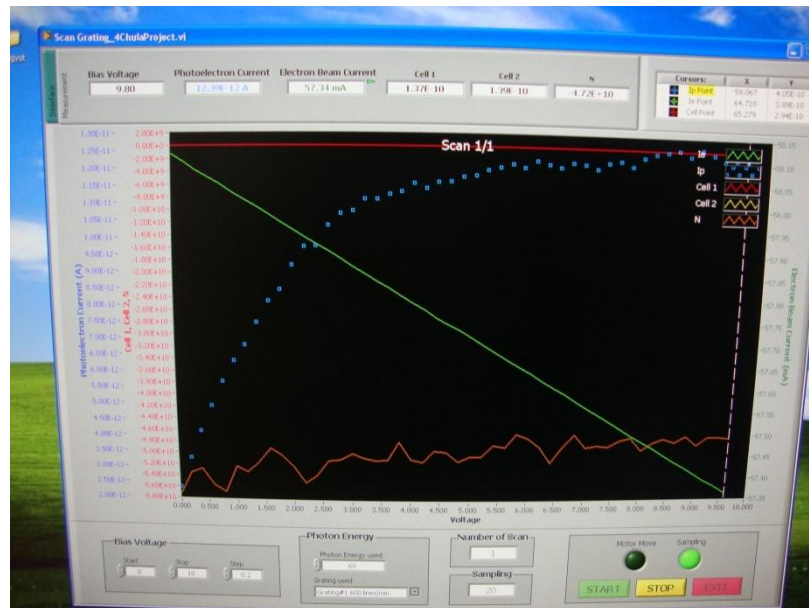
ภาพที่ 6 แหล่งจ่ายไฟฟ้า (Power supply) ใช้ในการเป็นแหล่งจ่ายแรงดันไฟฟ้าที่ใช้ในการทดลอง



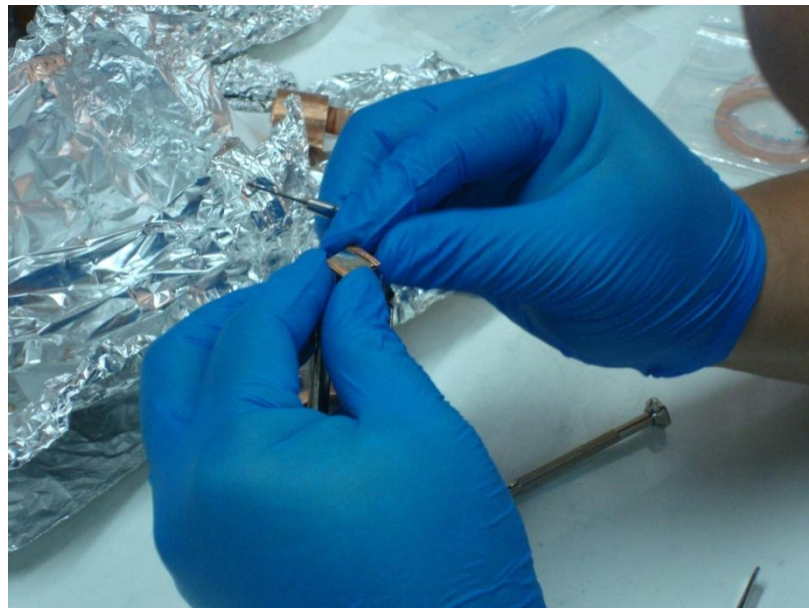
ภาพที่ 7 แหล่งจ่ายไฟฟ้า (Power supply) ใช้ในการเป็นแหล่งจ่ายแรงดันไฟฟ้าที่ใช้ในการทดลอง



ภาพที่ 8 ระบบแสดงความดันบรรยากาศภายในระบบของการทดลอง



ภาพที่ 9 โปรแกรมในกำหนดค่าพลังงานของแสงที่ต้องใช้ในการทดลอง



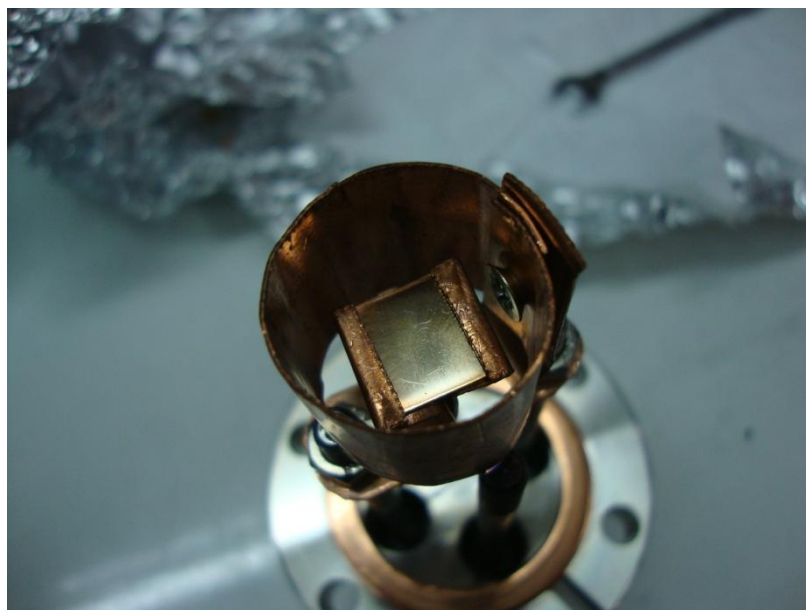
ภาพที่ 10 การสร้างหัววัดรังสีเอกซ์ที่รีมอัลตราไวโอเล็ตที่ใช้ในการทดลอง



ภาพที่ 11 การขัดผิวหน้าโลหะที่จะนำมาสร้างหัววัดรังสีเอกซ์ทริมอัลตราไวโอเล็ต



ภาพที่ 12 การเตรียมหัววัดรังสีเอกซ์ทริมอัลตราไวโอเล็ตที่ต้องใช้ในการทดลอง



ภาพที่ 13 หัววัดรังสีเอกซ์ที่รมอัลตราไวโอเล็ตที่ต้องใช้ในการทดลอง

ตารางผลการทดสอบประสิทธิภาพของโลหะเงินและโลหะอะลูมิเนียมที่ช่วงพลังงานที่  
13.5 นาโนเมตรจากศูนย์วิจัยแสงซินโครตรอนแห่งชาติ

แรงดันไฟฟ้า(V)	ทดลองโลหะเงินที่ 13.5 nm			ทดสอบอะลูมิเนียม 13.5 nm.		
	กระแสอิเล็กตรอน (A)	จำนวนโฟตอน (n)	กระแสของอิเล็กตรอนที่วัดได้(A)	กระแสอิเล็กตรอน (A)	จำนวนโฟตอน (n)	กระแสของอิเล็กตรอนที่วัดได้ (A)
0	-4.80E-12	1.91E+09	-1.53E-02	2.73E-12	2.17E+09	0.007614576
1	-5.44E-12	1.91E+09	-1.73E-02	3.77E-13	1.83E+09	0.001053244
2	-5.72E-12	2.54E+09	-1.83E-02	-5.65E-13	1.87E+09	-0.001575954
3	-5.99E-12	1.84E+09	-1.91E-02	-1.15E-12	2.77E+09	-0.003215949
4	-6.27E-12	2.59E+09	-2.00E-02	-1.57E-12	2.27E+09	-0.004369679
5	-6.42E-12	1.97E+09	-2.05E-02	-1.89E-12	2.22E+09	-0.005278915
6	-6.67E-12	2.05E+09	-2.13E-02	-2.15E-12	2.35E+09	-0.006001356
7	-6.83E-12	2.71E+09	-2.18E-02	-2.35E-12	2.47E+09	-0.006569428
8	-6.97E-12	2.06E+09	-2.22E-02	-2.53E-12	2.18E+09	-0.007055017
9	-7.07E-12	1.83E+09	-2.25E-02	-2.66E-12	1.99E+09	-0.007434835



10	-7.11E-12	1.81E+09	-2.27E-02	-2.77E-12	2.26E+09	-0.007724975
11	-7.16E-12	1.92E+09	-2.28E-02	-2.86E-12	1.65E+09	-0.007976998
12	-7.13E-12	2.15E+09	-2.27E-02	-2.90E-12	3.21E+09	-0.008102687
13	-7.12E-12	2.49E+09	-2.27E-02	-2.94E-12	2.90E+09	-0.00821067
14	-7.07E-12	1.70E+09	-2.25E-02	-3.00E-12	3.24E+09	-0.008364294
15	-7.10E-12	2.04E+09	-2.26E-02	-3.03E-12	1.91E+09	-0.008458672
16	-7.15E-12	2.71E+09	-2.28E-02	-3.08E-12	2.16E+09	-0.00860389
17	-7.19E-12	1.87E+09	-2.29E-02	-3.13E-12	2.09E+09	-0.008744824
18	-7.27E-12	1.67E+09	-2.32E-02	-3.19E-12	1.93E+09	-0.008894531
19	-7.31E-12	2.06E+09	-2.33E-02	-3.27E-12	1.87E+09	-0.009136518
20	-7.40E-12	1.55E+09	-2.36E-02	-3.36E-12	3.69E+09	-0.009375259
21	-7.51E-12	2.14E+09	-2.40E-02	-3.40E-12	3.13E+09	-0.009493714
22	-7.64E-12	2.03E+09	-2.44E-02	-3.47E-12	1.81E+09	-0.009673474
23	-7.77E-12	1.73E+09	-2.48E-02	-3.50E-12	2.12E+09	-0.009776004
24	-7.82E-12	1.65E+09	-2.49E-02	-3.54E-12	1.61E+09	-0.009881476
25	-7.89E-12	1.97E+09	-2.52E-02	-3.61E-12	2.70E+09	-0.010082698
26	-7.98E-12	1.82E+09	-2.54E-02	-3.66E-12	2.23E+09	-0.010203002
27	-8.04E-12	2.00E+09	-2.56E-02	-3.72E-12	2.23E+09	-0.010373069
28	-8.08E-12	1.67E+09	-2.58E-02	-3.73E-12	2.56E+09	-0.010416443
29	-8.10E-12	1.74E+09	-2.58E-02	-3.72E-12	2.22E+09	-0.010374009
30	-8.10E-12	2.08E+09	-2.58E-02	-3.78E-12	1.68E+09	-0.010532991
31	-8.16E-12	2.92E+09	-2.60E-02	-3.81E-12	1.69E+09	-0.010626844
32	-8.17E-12	1.68E+09	-2.61E-02	-3.84E-12	2.10E+09	-0.010715619
33	-8.20E-12	2.43E+09	-2.61E-02	-3.88E-12	3.70E+09	-0.010824992
34	-8.22E-12	2.10E+09	-2.62E-02	-3.89E-12	2.16E+09	-0.01085748
35	-8.17E-12	1.86E+09	-2.61E-02	-3.90E-12	1.99E+09	-0.010889417

ตารางการทดสอบโลหะเหล็ก และโลหะทองแดงที่ช่างพลังงานแสงที่ 13.5 นาโนเมตรจาก  
ศูนย์วิจัยแสงซินโครตรอนแห่งชาติ

แรงดันไฟฟ้า (V)	ทดลองโลหะเหล็กที่ 13.5 นาโนเมตร			ทดสอบโลหะทองแดง 13.5 นาโนเมตร		
	กระแสอิเล็กตรอน (A)	จำนวนโฟตอน (n)	กระแสของอิเล็กตรอนที่วัดได้(A)	กระแสอิเล็กตรอน(A)	จำนวนโฟตอน (n)	กระแสของอิเล็กตรอนที่วัดได้ (A)
0	-2.60E-12	2.65E+09	-0.006132866	-3.86E-12	2.48E+09	-0.008406043
1	-3.30E-12	2.24E+09	-0.007787309	-4.79E-12	2.51E+09	-0.010433517
2	-3.52E-12	2.16E+09	-0.008303776	-5.15E-12	2.52E+09	-0.011219395
3	-3.69E-12	2.19E+09	-0.008695104	-5.37E-12	2.56E+09	-0.011689747
4	-3.83E-12	2.15E+09	-0.009043052	-5.61E-12	2.09E+09	-0.012215259
5	-3.95E-12	2.82E+09	-0.009310028	-5.82E-12	3.29E+09	-0.0126823
6	-4.07E-12	2.69E+09	-0.009603	-6.02E-12	3.00E+09	-0.013101453
7	-4.17E-12	3.41E+09	-0.009825198	-6.12E-12	5.14E+09	-0.013316718
7.2	-4.19E-12	2.36E+09	-0.009885177	-6.15E-12	2.49E+09	-0.013390422
8	-4.27E-12	2.42E+09	-0.010062988	-6.26E-12	4.02E+09	-0.013623534
9	-4.33E-12	2.77E+09	-0.010217396	-6.34E-12	2.95E+09	-0.013801252
10	-4.34E-12	2.09E+09	-0.010245481	-6.33E-12	3.28E+09	-0.013784401
11	-4.33E-12	2.30E+09	-0.010203585	-6.29E-12	2.75E+09	-0.013691986
12	-4.31E-12	2.75E+09	-0.0101707	-6.25E-12	2.81E+09	-0.013612365
13	-4.30E-12	2.34E+09	-0.01013146	-6.23E-12	2.44E+09	-0.01355949
14	-4.25E-12	3.38E+09	-0.010014002	-6.20E-12	2.97E+09	-0.013491102
15	-4.23E-12	2.26E+09	-0.009986087	-6.21E-12	2.05E+09	-0.013530636
16	-4.20E-12	2.71E+09	-0.009913809	-6.30E-12	2.66E+09	-0.013727831
17	-4.25E-12	2.60E+09	-0.010015314	-6.29E-12	3.83E+09	-0.013708399
18	-4.31E-12	2.30E+09	-0.010160783	-6.37E-12	2.42E+09	-0.013863948
19	-4.36E-12	2.88E+09	-0.010271408	-6.45E-12	2.52E+09	-0.014036932
20	-4.38E-12	2.36E+09	-0.010339769	-6.52E-12	2.02E+09	-0.014196879
21	-4.45E-12	2.67E+09	-0.010499682	-6.63E-12	2.67E+09	-0.014430566

22	-4.48E-12	2.32E+09	-0.010555274	-6.66E-12	3.05E+09	-0.014508291
23	-4.51E-12	2.48E+09	-0.010645906	-6.74E-12	3.98E+09	-0.014674985
24	-4.52E-12	2.43E+09	-0.010663939	-6.81E-12	3.49E+09	-0.014828852
25	-4.55E-12	2.69E+09	-0.010720392	-6.86E-12	2.32E+09	-0.014946716
26	-4.57E-12	2.48E+09	-0.010766955	-6.93E-12	2.56E+09	-0.015099684
27	-4.58E-12	2.59E+09	-0.010813493	-6.95E-12	2.09E+09	-0.015128136
28	-4.62E-12	2.38E+09	-0.01088904	-6.99E-12	2.35E+09	-0.015217097
29	-4.64E-12	3.29E+09	-0.010937875	-7.02E-12	3.93E+09	-0.015296374
30	-4.63E-12	2.32E+09	-0.010924113	-7.07E-12	2.79E+09	-0.015397226
31	-4.65E-12	3.37E+09	-0.010961196	-7.09E-12	2.27E+09	-0.015444954
32	-4.65E-12	2.65E+09	-0.010965625	-7.16E-12	2.92E+09	-0.01558855
33	-4.68E-12	2.05E+09	-0.011036705	-7.17E-12	3.56E+09	-0.015607413
34	-4.70E-12	2.12E+09	-0.01109067	-7.20E-12	2.35E+09	-0.015686544
35	-4.69E-12	2.75E+09	-0.011049653	-7.18E-12	3.08E+09	-0.015639207

### ความไม่แน่นอนของการวัด

ขั้นที่ 1. กำหนดค่าที่จะวัด (specify measured) ระบุให้ชัดเจนว่าต้องการวัดสิ่งใด

ขั้นที่ 2. แหล่งของการเกิดความไม่แน่นอน (identify uncertainty sources) ทำการหาแหล่งที่มาหรือขั้นตอนที่ทำให้เกิดค่าความไม่แน่นอน (uncertainty) ขึ้นมาให้ละเอียดครบถ้วนทุกอย่าง เช่น เครื่องมือที่ใช้วัด วิธีการหาตัวอย่าง นักวิเคราะห์ หรือสิ่งแวดล้อมที่อาจส่งผลกระทบต่อ การวัดหรือการวิเคราะห์นั้นได้ในขั้นนี้ต้องพยายามเรียงเรียงปัจจัยต่างๆ ให้ได้มากที่สุดในการหา uncertainty source นั้นจะต้องอาศัยความรู้ที่จะประเมินหา parameter ต่างๆ ให้เป็นไปอย่างเหมาะสม

ขั้นที่ 3. ปัจจัยของค่าความไม่แน่นอน (quantify uncertainty compounds) ให้ประมาณค่าของค่าความไม่แน่นอนของแต่ละปัจจัยที่เรียงลำดับไว้ในขั้นตอน 2 ซึ่งในขั้นตอนนี้จะได้ว่า ปัจจัยบางปัจจัยมีผลกระทบต่อการวัดค่อนข้างสูงได้ค่าที่ออกมาเป็นตัวเลขก็จะมีค่าสูง ส่วนบางปัจจัยที่อาจส่งผลกระทบน้อยมากดังนั้นจึงทำการตัดปัจจัยที่มีผลกระทบน้อยออกจากการคำนวณ ได้วิธีการประมาณค่าออกมาได้มีด้วยวิธีการดังต่อไปนี้

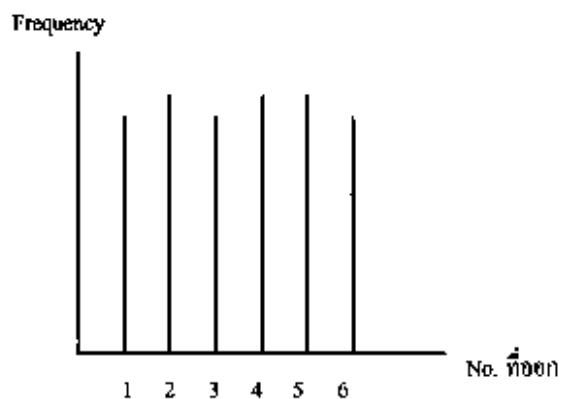
1. แหล่งข้อมูลของค่าความไม่แน่นอนนั้นจัดเป็น Type A หรือ Type B ซึ่ง

-Type A: เกิดจากการคำนวณค่าจากการทดลองซ้ำๆ (repeated observation) หรืออาจเรียกอีกอย่างว่าเป็นการทำทวนสอบหรือการทำซ้ำๆ (repeatability)

-Type B: เป็นการประเมินโดยวิธีอื่นๆ ที่ไม่ใช่การทำซ้ำ เช่น การใช้ข้อมูลจากการสอบเทียบครั้งก่อนการนำค่าความละเอียดของเครื่องมือมาใช้และปัจจัยทางธรรมชาติ (environment) ที่เกี่ยวข้องในการทดลอง

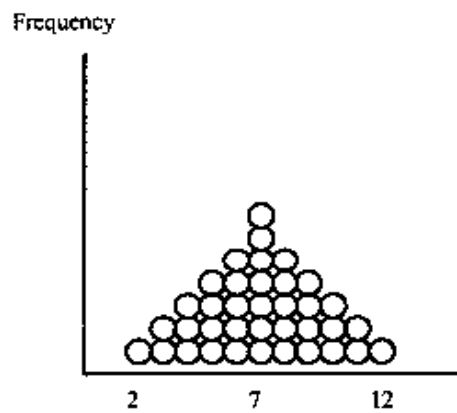
2. การกระจายตัวของค่าที่วัดจัดเป็น distribution เป็นแบบใดซึ่งในการกระจายตัวที่เป็นไปได้มีดังต่อไปนี้

-การกระจายแบบสี่เหลี่ยม (rectangular distribution) ตัวอย่างได้แก่การโยนลูกเต๋า 1 ลูก โอกาสที่จะออกหน้าแต่ละหน้ามีเท่าๆ กัน และเมื่อมีการโยนหลายๆ ครั้งแล้วนำมาเขียนกราฟจะได้ดังภาพที่ 13



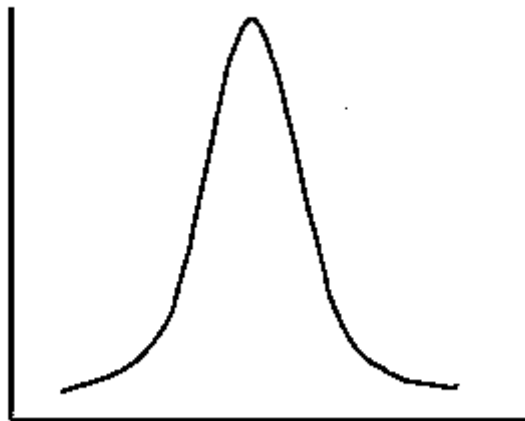
ภาพที่ 13 การกระจายตัวของค่าที่วัด [15]

-การกระจายแบบสามเหลี่ยม (Triangular distribution) ตัวอย่างได้แก่ การโยนลูกเต๋า 2 ลูก ซึ่งโอกาสที่แต้มที่จะเป็นไปได้อาจอยู่ระหว่าง 2 ถึง 12



ภาพที่14 การกระจายคล้ายสามเหลี่ยม [15]

-การกระจายแบบปกติ(normal distribution) หรือการกระจายแบบเกาส์(gaussian distribution) เป็นการกระจายตัวแบบปกติจะวัดในข้อมูลที่มีขนาดใหญ่โดยที่ค่าส่วนใหญ่จะกระจายอยู่ในช่วงค่าเฉลี่ยค่อนข้างมาก ดังนั้นลักษณะเป็นรูประฆังคว่ำดังภาพที่ 15



ภาพที่15 การกระจายลักษณะคล้ายระฆังคว่ำ [15]

ในการประมาณการค่าความไม่แน่นอน (estimate uncertainty)ว่ามีวิธีการ ดังนี้

1. ถ้าแหล่งของความไม่แน่นอนนั้นได้มาจากใบรับรองการสอบเทียบหรือได้มาจากการทำซ้ำๆ ของการทดลองจะถือว่าการกระจายตัวนั้นเป็นแบบปกติ

2. สำหรับ Type B ถ้าไม่ระบุว่าเป็นการกระจายแบบใดให้ถือว่าเป็นแบบการกระจายแบบสี่เหลี่ยม (rectangular distribution)

ขั้นที่ 4. คำนวณค่าความไม่แน่นอนรวม (calculate combined uncertainty)

- Type A การที่รายงานค่าที่ได้จากการทำซ้ำจะรายงานเป็นค่าส่วนเบี่ยงเบนมาตรฐาน (standard deviation of mean) หรือ  $S(\bar{q})$

$$S(\bar{q}) = \frac{s(q_j)}{\sqrt{n}} \quad (1)$$

โดยที่

$$S(q_j) = \sqrt{\frac{\sum_{i=1}^n (q_j - \bar{q})^2}{n-1}} \quad (2)$$

$S(\bar{q})$  = standard deviation of mean

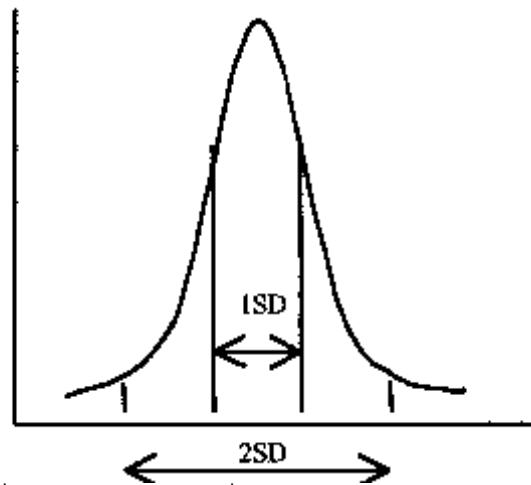
$S(q_j)$  = standard deviation of population estimated from sample

$n$  = จำนวนครั้งที่ทำการทดลอง

$q$  = ข้อมูลแต่ละชุด  $j = 1, 2, \dots, n$

$\bar{q}$  = ค่าเฉลี่ยของข้อมูล

-Type B นำค่าจากใบรับรองการสอบเทียบ (calibration certificate) มาใช้หรืออาจประมาณจากข้อมูล หรือประสบการณ์จากเครื่องมือ หรือการวิเคราะห์ เช่น ประมาณค่าความละเอียดของเครื่องชั่ง ทำการแปลงค่าที่ประมาณของ แต่ละปัจจัยให้อยู่ในช่วง  $1SD$  (one standard deviation) ซึ่งโดยปกติ  $1SD$  พื้นที่ใต้กราฟจะอยู่ในช่วง 68 %,  $\pm 2SD$  พื้นที่ใต้กราฟจะอยู่ในช่วง 95 %



ภาพที่16 การหาค่าส่วนเบี่ยงเบนมาตรฐาน (SD) [15]

ในการแปลงค่าให้นำค่าปัจจัยที่เกี่ยวข้องไปหารค่าที่ทำการประมาณค่าของแต่ละปัจจัยค่าที่ได้ใช้สัญลักษณ์  $U(x_i)$  โดยยึดหลักปัจจัยที่เกี่ยวข้องกรณีแหล่งข้อมูลเป็นการแจกแจงแบบปกติ Type A เท่ากับ 1 จากสอบเทียบเท่ากับ 2 กรณีแหล่งข้อมูลเป็นการแจกแจงแบบสี่เหลี่ยมเท่ากับ 3 กรณีแหล่งข้อมูลเป็นการแจกแจงแบบสามเหลี่ยมเท่ากับ 6 ทำการรวมค่าความไม่แน่นอนของแต่ละปัจจัยให้เป็นค่าเดียวโดยใช้สมการ ดังนี้

$$U_c(y) = \sqrt{\sum_{i=1}^n C_i^2 U^2(x_i)} = \sqrt{\sum_{i=1}^n U_i^2(y)} \quad (3)$$

ให้

$U_c(y)$  = combined uncertainty

$C_i$  = sensitivity coefficient ซึ่งมักได้มาจากการทดลอง แต่โดยทั่วไปใช้ค่า = 1

$U_i(y)$  = ค่า individual uncertainty จาก ขั้นที่ 2

$U_i(y)$  = individual uncertainty ที่คูณกับ sensitivity coefficient ซึ่ง =  $C_i U(x_i)$  ในที่นี้

$C_i = 1$

การขยายขอบเขตค่าความไม่แน่นอนของการวัดที่ทำการรวมเป็นค่าเดียวให้อยู่ในช่วงที่กว้างขึ้นคือให้มีระดับความเชื่อมั่นที่ 95 เปอร์เซ็นต์ (%) นั่นคือต้องคูณด้วย 8 ค่า coverage factor ( $k$ ) ด้วย "2" ซึ่งค่า  $k = 2$  จะใช้ในกรณีที่เป็นการทดสอบห้องปฏิบัติการโดยทั่วไปในกรณีที่ต้องการระดับความเชื่อมั่นที่ 99.9 % จะใช้ค่า  $k = 3$  expanded uncertainty =  $k U_c(y)$  (แหล่งที่มา: <http://www.tpa.or.th/xlsiam/>) [15]

### ประวัติผู้เขียนวิทยานิพนธ์

ชื่อ-สกุล	นางสาวกัลยา ธนาสินธ์
วัน เดือน ปี และสถานที่เกิด	30 กันยายน พ.ศ.2528 จังหวัดอุบลราชธานี
วุฒิการศึกษา	
ระดับมัธยมศึกษา	โรงเรียนนารีอนุกุล พ.ศ.2547
ระดับปริญญาตรี	วิทยาศาสตร์บัณฑิต สาขาฟิสิกส์ มหาวิทยาลัยราชภัฏบ้านสมเด็จเจ้าพระยา พ.ศ. 2551
ปัจจุบัน	ศึกษาระดับปริญญาโท สาขามาตรวิทยา จุฬาลงกรณ์มหาวิทยาลัย